



T.C.  
BAYINDIRLIK ve İSKÂN BAKANLIĞI  
AFET İŞLERİ GENEL MÜDÜRLÜĞÜ  
DEPREM ARAŞTIRMA DAİRESİ

**DEPREM  
ARAŞTIRMA  
"BÜLTENİ"**

**52**



## Deprem Araştırma Bülteni (DAB)

Bulletin of Earthquake Research  
( Bull. Earthq. Res. )



Ocak [January] / 1986  
Cilt [Volume]: 13

# Sayı [Issue]: 52

Bayındırlık ve İskân Bakanlığı [Ministry of Public Works and Settlement]  
Afet İşleri Genel Müdürlüğü [General Directorate of Disaster Affairs]  
Deprem Dairesi Başkanlığı [Directorate of Earthquake Research]

## İÇİNDEKİLER [INDEX]

Sayfa [Page]

---

### ARAŞTIRMA [RESEARCH]

Doğu Anadolu ve Kafkasya Bölgesinin Depremselliği ve Aktif Tektoniği  
[Seismicity and Active Tectonics of the Eastern Anatolia and Caucasus Region]

İlhan OSMANŞAHİN, Ferit EKŞİ, Ömer ALPTEKİN ..... 5-41

### ARAŞTIRMA [RESEARCH]

1975-1982 Yıllarına İlişkin Batı Anadolu Deprem Verilerinin İstatiksel  
çözümlemesi [Statistical Analysis of Earthquake Data of Western Anatolian for Years 1975-1982]

Hüseyin TATLIDİL, Hülya ÇINGİ ..... 42-60

### DİĞER [OTHER]

Deprem Hasarı Üzerine Yerel Zemin Koşullarının Etkisi [The Effect of Local Soil Conditions Upon Earthquake Damage]

Zeki HASGÜR ..... 61-125



YAYIN : 8

BAYINDIRLIK VE İSKAN BAKANLIĞI  
TEKNİK ARAŞTIRMA VE UYGULAMA  
GENEL MÜDÜRLÜĞÜ

**DEPREM  
ARAŞTIRMA  
BÜLTENİ**

**52**

BAYINDIRLIK VE İSKAN BAKANLIĞI  
TEKNİK ARAŞTIRMA VE UYGULAMA  
GENEL MÜDÜRLÜĞÜ



YAYIN : 8

# DEPREM ARASTIRMA BÜLTENİ

52

DEPREM ARAŞTIRMA  
BÜLTENİ



Üç Ayda Bir Yayınlanır  
Bilim ve Meslek Dergisi



Sahibi  
Bayındırılık ve İskan Bakanlığı Adına  
Oktay Ergünay  
Teknik Araştırma ve Uygulama Genel Müdürlüğü  
Deprem Araştırma Dairesi Başkanı



Yazı İşleri Müdürü  
Erol Aytac  
(Jeomorfolog)  
Teknik Araştırma ve Uygulama Genel Müdürlüğü  
Deprem Araştırma Dairesi Başkanlığı



Yazışma Adresi  
Teknik Araştırma ve Uygulama Genel Müdürlüğü  
Deprem Araştırma Dairesi Başkanlığı  
İrtibat Bürosu Yüksel Cad. No. 7/F



Yenişehir - ANKARA



Telefon : 17 69 55 - 23 72 65



Teknik Araştırma ve Uygulama  
Genel Müdürlüğü Matbaası

## DEPREM ARAŞTIRMA BÜLTENİ

YIL: 13

SAYI : 52

OCAK 1986

BU SAYIDA

Doğu Anadolu ve Kafkasya  
Bölgesinin Depremselligi  
ve Aktif Tektoniği ..... İlhan OSMANŞAHİN  
Ferit EKİŞİ  
Ömer ALPTEKİN

1975 - 1982 Yıllarına İlişkin  
Batı Anadolu Deprem Verileri-  
nin İstatistiksel Çözümlemesi ..... Hüseyin TATLIDİL  
Hülya ÇİNGİ

Deprem Hasarı Üzerine Yerel Zemin  
Koşullarının Etkisi ..... Yazan : Y.OHSAKİ  
Çeviri : Zeki HASGÜR

## DOĞU ANADOLU VE KAFKASYA BÖLGESİNİN DEPREMSELLİĞİ VE AKTİF TEKTONİĞİ

İlhan Osmanşahin<sup>1</sup>, Ferit Ekşi<sup>1</sup> ve Ömer Alptekin<sup>1</sup>

### ÖZET

Doğu Anadolu ve Kafkasya bölgesinde 1909-1977 yılları arasında olmuş,  $m_b \geq 4.0$  olan depremlerin yersel ve zaman dağılımları bölgenin sismik bakımından çok aktif olduğunu göstermektedir. Bölgedeki sıçradaklı depremlerden oluşan sismik faaliyet Kuzey Anadolu Fayı, Doğu Anadolu Fayı, Bitlis Bindirme Zonu ve Kafkasya bölgesindeki bindirmeler boyunca yoğunlaşmaktadır. Bu faaliyet özellikle Karlıova üçlü bitişme (triple junction)'sinin doğusunda yaygın (diffused) bir karakterdedir. Deprem epizanlarının dağılımı, Doğu Anadolu Fayı boyunca görülen sismik faaliyetin kuzeydoğuya, Kafkasya'ya doğru devam ettiğini belirtmektedir.

Odak mekanizması çözümleri Kuzey Anadolu Fayı ile Doğu Anadolu Fayı için sırasıyla sağ ve sol yönlü doğrultu atımlı, Bitlis Bindirme Zonu ve Kafkasya için ise ters faylanmalar göstermektedir. Yakın geçmişte meydana gelen yıkıcı depremlerin odak mekanizması çözümleri, Kuzey Anadolu Fay Zonu boyunca görülen sağ yönlü doğrultu atımlı hareketlerin Karlıova'nın doğusunda da devam ettiğini belirtmektedir.

Fay düzlemi çözümlerinde elde edilen asal gerilmelerin dağılımı, Bitlis Bindirme Zonu ile kuzeyinde ve Kafkasya bölgesinde KD-GB doğrultulu sıkışma kuvvetlerinin etkin olduğunu göstermekte olup bu sıkışmaların etkisiyle Doğu Anadolu ve Kafkasya bölgesi şiddetli bir deformasyon geçirmektedir. Avrasya ve Arap levhalarının bağıl hareketleri sonucu kita-kita çarşyasına tipik bir örnek oluşturan Doğu Anadolu'nun tektonik özelliklerinin daha iyi anlaşılabilmesi için kabuk yapısının iyi bilinmesine ve daha ayrıntılı modern sismolojik verilere ihtiyaç vardır.

<sup>1</sup> Karadeniz Üniversitesi, Mühendislik Mimarlık Fakültesi,  
Jeofizik Mühendisliği Bölümü, TRABZON

## ABSTRACT

Space and time distribution of earthquakes ( $m_b \geq 4.0$ ) that occurred in eastern Turkey and the Caucasus region between 1909 and 1977 indicate high seismic activity in these regions. Epicenters of shallow focus earthquakes are distributed densely along the North Anatolian Fault, the East Anatolian Fault, the Bitlis suture zone and the Caucasus thrust belt. Seismic activity shows a diffused character in the eastern part of the Karliova triple junction. Distribution of epicenters indicate that the seismic activity along the East Anatolian Fault is continued toward Caucasus.

Fault plane solutions show right-lateral and left-lateral strike slip motions along the North and the East Anatolian Faults respectively. Solutions for the most recent earthquakes (e.g. the Çaldıran earthquake of Nov. 24, 1976) indicate a continuation of right-lateral motions beyond the Karliova Junction in the east. Solutions in the Bitlis suture zone and in the Caucasus region indicate reverse faulting.

Distribution of principal stress as determined from fault plane solutions indicate nearly north-south compressions in eastern Turkey. Convergence of the Eurasian and the Arabian plates has resulted into a continental collision in eastern Turkey and the Caucasus region. The whole region is undergoing an intense deformation. Much detailed seismological studies are necessary to further explain the seismicity and tectonics in this region.

## G İ R İ §

Türkiye ve çevresi dünya üzerindeki önemli deprem kuşaklarından biri olan Alp-Himalaya deprem kuşağı üzerinde yer almaktadır. Yakın geçmişte oluşan büyük depremler nedeniyle, Türkiye ve çevresinin depremselliği ve tektoniği araştıracıların dikkatini çekmeye başlamıştır. Kafkaslar Bölgesi'nin Kuzey Anadolu Fayı'nın ve Bitlis Bindirme Zonunun aktif oldukları öteden beri bilinmektedir. Yakın zaman öncesine kadar durgun görünen Doğu Anadolu Fayı'nın da 1971

Bingöl depremi ile dikkatleri üzerine çekmesi sonucu, Doğu Anadolu'da depremELLİK çalışmalarının ne denli önemli olduğu açıkça ortadadır. Bu nedenle konu ile ilgili ayrıntılı çalışmalar'a ihtiyaç vardır.

Bu çalışmanın amacı, Doğu Anadolu ve Kafkaslar'ı içine alan,  $35-43^{\circ}$ K enlemleri ile  $35-47^{\circ}$ D boylamları arasındaki bölgenin depremELLİĞinin ve aktif tektoniğinin incelenmesidir. Bunun için, tanımlanan bölgede 1909-1977 yılları arasında oluşmuş depremLERin episantrlarının dağılımı ve bölgedeki fay zonlarıyla ilişkileri incelenmiş, depremLERin magnitüd-frekans ilişkileri saptanmış ve son yıllarda oluşmuş bazı büyük depremLERin odak mekanizmalarının çözüMLERi bulunarak, bu çözümLERin önerilen litosfer hareketleriyle ilişkileri araştırılmıştır.

Bu çalışmada elde edilen sonuçların bölgedeki deprem oluşumunun anlaşılmasına yardımcı olacağı umulmaktadır.

#### BÖLGENİN DEPREMSELLİĞİ

##### BÖLGEDEKİ BAŞLICA FAYLAR

Alp-Himalaya orojenik kuşağı Azor takım adalarından başlayıp, uzak doğuda Endonezya'ya kadar uzanmaktadır. İnceleme alanımız bu kuşağın Akdeniz'deki en hareketli kesimi üzerinde yer almaktır ve önemli tektonik birimleri kapsamaktadır. Bölgenin Şekil 1'de gösterilen fay haritası KetiN(1968), Nowroozi(1971,1972), Arpat ve Şaroğlu(1972), İlhan(1976) ve İmar İskan Bakanlığı Deprem Araştırma Dairesi Çaldıran Depremi(1976) raporundan yararlanılarak, hazırlanmıştır. Dünya üzerindeki en önemli doğrultu atımlı faylar dan biri olan Kuzey Anadolu Fayı'nın doğu kesimi ile onu  $40^{\circ}$  lik bir açıyla kesen Doğu Anadolu Fayı ve Bitlis Bindirme Zonu, ayrıca Kafkaslar'da işaretlenen bindirmeler inceleme alanındaki başlıca aktif kırık kuşakları oluştururlar.

Kuzey Anadolu Fayı Karlıova üçlü bitişmesinden batıya doğru 1200 km. uzunlukta olan sağ yönlü doğrultu atımlı bir faydır. Sismik bakımından çok aktif olan Kuzey Anadolu Fayı üzerinde çok sayıda tarihsel ve yeni yıkıcı depremLER meydana gelmiştir. Büyük depremLER

icin bulunan fay düzlemi çözümleri ve saha gözlemleri fayın  $31^{\circ}D$  ile  $41^{\circ}D$  boyamları arasındaki kısmında sağ yönlü doğrultu atımlı haraketleri açık bir şekilde göstermektedir.  $31^{\circ}D$  boylamının batısında fay iki hatta muhtemel olarak üç kola ayrıılır. Bu bölgede odak mekanizmaları normal ve sağ yönlü doğrultu atımlı faylanmalar göstermektedir(McKenzie, 1972). Kuzey Anadolu Fayı'nın doğu uzanımı batı uzanımından daha karmaşıktır. Yakın geçmişte meydana gelen yıkıcı depremlerin odak mekanizmaları ve saha gözlemleri(örneğin 24 Kasım 1976 Çaldıran depremi) sağ yönlü doğrultu atımlı hareketlerin Karlıova'nın doğusunda da devam ettiğini göstermektedir. Bu bölgedeki faylanmalar çok karmaşık olup tektonluğun iyi anlaşılabilmesi için ayrıntılı sismolojik çalışmalarra ihtiyaç duyulmaktadır.

Doğu Anadolu Fayı Karlıova'dan İskenderun körfezine kadar uzanan yaklaşık 550 km. uzunluğunda sol yönlü doğrultu atımlı bir faydır. Hernekadar günümüzde çok aktif görünmüyorsa da tarihsel veriler bu fayın son 2000 yılda sismik bakımından çok aktif olduğunu göstermektedir.

Pasinler(veya Erzurum-Pasinler) fayı Erzurum-Pasinler havzasından Kafkasya'ya doğru uzanan sol yönlü doğrultu atımlı bir faydır. Pasinler Fayı Doğu Anadolu Fayı'nın kuzeydoğuya doğru bir uzanımı gibi düşünülebilir(Nowroozi, 1972). Yakın geçmişte meydana gelen yıkıcı depremler fayın sismik bakımından aktif olduğunu kanıtlamaktadır(örneğin 30 Ekim 1983 depremi).

#### BÖLGEDEKİ EPİSANTRLARIN DAĞILIMI

1909-1977 yılları arasında bölgede oluşan depremlerin episantır dağılımları Şekil 2'deki haritada gösterilmiştir. Episantr haritasının hazırlanmasında NOAA(Amerika Ulusal Okyanus ve Atmosfer Araştırma Dairesi) deprem veri kütüğü ile Alsan ve dig.(1975)nin deprem kataloğundan yararlanılmıştır. Kullanılan magnitüdler cisim dalgası magnitüdleridir( $m_b$ ). Alsan ve dig.(1975) deprem katalogunda verilen yüzey dalgası magnitüdleri ( $M_s$ )

$$M_s = 1.46 m_b - 2.91$$

bağıntısından yararlanılarak cisim dalgası magnitüdlerine dönüs-  
türülmüştür.

Elde edilen depremsellik haritasında, episantların Şekil 1'de gösterilen faylar civarında kümelendikleri görülmektedir. Bu kümenleme özellikle, büyük depremlerin yeraldığı Kuzey Anadolu Fayı ve Doğu Anadolu Fayı boyunca belirgin olup, Bitlis Bindirme Zonu'nun kuzeyinde ve Kafkaslar'da yaygın bir şekildedir. En aktif görünen kısım Kuzey Anadolu Fayı'nın doğu uzanımı ile Bitlis Bindirme Zonu arasında kalan bölgedir. Episant haritası dikkatle incelenecek olursa, Doğu Anadolu Fayı boyunca yeralan depremlerin kuzeydoğuya doğru devam ettikleri izlenebilmektedir. Karadeniz'in doğu kesimi ile Bitlis Bindirme Zonu'nun güneyi ise sakin görünmektedir.

#### ODAK DERİNLİKLERİNİN DAĞILIMI

Depremsellik çalışmalarında odak derinliklerinin dağılımını saptamak, deprem zonunun derinlik derecesinin tanımlanması açısından oldukça önemlidir. Bölge için Şekil 3'de belirtilen profiller ve dilimler üzerinden derinlik kesitleri çıkarılmıştır. Ancak odak derinliklerindeki belirsizlikler nedeniyle buradaki sonuçların tartışılabilcegi açıklıkta.

Şekil 4-a'daki A-A' profilinden alınan derinlik kesitinde deprem odaklarının yoğun olduğu derinlik 10-33 km. arasıdır. Bu kesitte 60 km. ve 62 km. olmak üzere iki orta derinlikte depreme rastlanmıştır.

B-B' profiline ait kesitte(Şekil 4-b), deprem odaklarının yoğun olduğu derinlik 33-35 km. arasıdır. Bu kesitte 64 km.lik derinliğe sahip bir deprem vardır. Aynı bölge için 1 nolu dilimin kapsadığı alanda, Şekil 6'da görülen üç boyutlu kesit çıkarılmıştır.

C-C' profilindeki deprem odaklarının derinlige göre dağılımı Şekil 6'da verilmiştir. Deprem odakları bu kesitte genel olarak 10-60 km. arasında dağılım göstermektedirler. Herbiri 100 km. derinlige sahip iki orta derinlikte deprem vardır. Bu profilden bulundu-

ğu bölgede, daha geniş kapsamlı 2 nolu dilim için Şekil 7'de görülen üç boyutlu kesit çıkarılmıştır.

Şekil 8'de, inceleme alanında depremlerin en yoğun olduğu bölge üzerinde yer alan 3 nolu dilim için çıkarılan üç boyutlu derinlik kesiti görülmektedir. Bu dilimin sağında ve solundaki, Doğu Anadolu Fayı ve Bitlis Bindirme Zonu üzerinde bulunan D-D' ve E-E' kesitleri ise Şekil 9'da verilmiştir.

Derinlik kesitlerinde görüldüğü gibi Kafkaslar'daki birkaç depremin dışında bölgede oluşan depremler sıg odaklıdır. Dikkat edilecek olursa 33 km. derinlikte bir yığılma vardır. Bunun nedeni olarak veri kaynaklarında iyi hesaplanamamış odak derinliklerine, dünya ölçüsünde yaklaşık Moho derinliği olarak kabul edilen 33 km.nin verildiği düşünülmektedir. Özellikle büyük magnitüdü depremler oldukça sıg odaklılardır.

#### MAGNİTÜD-FREKANS İLİŞKİSİ VE DEPREMLERİN YILLARA GÖRE DAĞILIMI

Magnitüd-frekans bağıntıları deprem istatistiğinin temelini oluşturur. Magnitüdün fonksiyonu olarak depremlerin oluş frekansı incelendiğinde, genellikle doğrusal bir ilişki izlenir ve bu ilişki;

$$\text{Log} N = a + bM \quad (1)$$

şeklinde ifade edilir. Burada N birikimli(kümülatif) deprem sayısını, M magnitüdü göstermektedir. a ve b ise sabit parametrelerdir. a sabiti gözlem peryoduna, çalışılan alanın büyüklüğüne ve sismik aktivitenin seviyesine bağlı olarak değişir. b katsayısı ise daha kararlıdır ve bu katsayıının fiziksel anlamı ile istatistiksel kullanımı günümüzde de tartışılmaktadır(Karnik,1969; Alptekin,1978a). Gutenberg ve Richter (1954), dünya ölçüsünde istatistiksel sonuçlara dayanarak, sıg depremler için  $b=0.90\pm0.02$ , orta ve derin depremler için  $b=1.2\pm0.2$  bulmuşlardır.Türkiye için ise  $b=0.9\pm0.2$  değerini vermektedirler.Kayaçların deformasyonu ve dolayısıyla deprem oluşumunun fiziği ile ilgili,b değerinin bölgeye ve zamana göre değişimlerinin, sismologların ilgisini çekmesine neden olmuştur. b değerlerindeki değişimler, sismotektonik bölgelendirme ve depremlerin önceden haber alınması problemlerinde kullanılmaktadır. Karnik(1969), b de-

ğerlerinin bölgelere göre değiştigini örneklendirmiştir. Weeks ve dig.(1978), kayaçlar üzerinde yaptıkları deneyler sonucu, b değerlerinin depremlerden önce azaldığını göstermişlerdir.

a ve b değerleri istenen veri grubu için değişik yöntemlerle hesaplanabilir. Bu sabitler bölgeye ve zamana bağlı değişimlerinin yanısıra, hesaplama yöntemine ve kullanılan veri grubuna bağlı olarak da değişim gösterirler. Herbir yöntem birbirine yakın da olsa farklı sonuçlar verir(Alptekin,1978a). İnceleme alanımızda ki magnitüd-frekans ilişkisinin saptanması için, a ve b parametrelerinin hesaplanması en yaygın olan en küçük kareler yöntemi kullanılmıştır. Hesaplamlarda  $m_b \geq 4.0$  olan tüm depremler dikkate alınmıştır. Önce 0.1 birim magnitüd aralıkları ile sıralanan depremlerin oluş sayıları belirlenmiştir(Tablo 1). Sonra magnitüdler 0.5 birim aralık içeren sınıflara ayrılarak herbir aralığa karşılık gelen birikimli frekanslar hesaplanmıştır(Tablo 2).

Magnitüd-frekans ilişkisini belirleyen a ve b parametreleri, en küçük kareler yöntemine göre aşağıdaki bağıntılardan yararlanılarak elde edilir :

$$\Sigma \log N = a n + b \Sigma M \quad (2)$$

$$\Sigma M \cdot \log N = a \Sigma M + b \Sigma M^2$$

Burada n grup sayısıdır. Diğer parametreler (1) bağıntısında tanımlanmıştır. Tablo 2'deki değerler (2) bağıntılarda yerine koymalarak; a=6.18 ve b = -0.82 bulunur. Bu değerlere göre (1) bağıntısındaki magnitüd-frekans ilişkisi

$$\log N = 6.18 - 0.82 M \quad (3)$$

olur(Şekil 10). Küçük magnitüdlü depremlerin kayıt edilememeleri ve aletsel sorunlardan dolayı kayıtlarda eksiklikler olduğu bilinmektedir. Bu eksiklikler kullandığımız veri grubunda etkili olmuştur. Şekil 10'da işaretlenen magnitüd-frekans dağılımının küçük

magnitüdlerde doğrusallıktan sapmasının nedeni budur. Dolayısıyla (3) bağıntısı ile saptanan ilişkide doğrunun eğiminin, gerçek değerinden küçük olduğunu söyleyebiliriz. Bunun için  $m_b > 4.5$  olan depremler hesaba katılmazsızın yeni bir magnitüd-frekans bağıntısı hesaplanmıştır:

$$\text{Log}N = 6.62 - 0.89 M \quad (4)$$

Yukarıda açıklanan nedenle (4) ile verilen magnitüd-frekans bağıntısı bölgeminin depremselliğini daha iyi gösterebilecek niteliktedir.

Şekil 11'de inceleme peryodu içinde bölgede oluşmuş depremlerin yıllara göre dağılımları gösterilmiştir. Son yıllarda deprem sayısında izlenen artmalar aletsel gelişmelerden kaynaklanmaktadır. Türkiye ve civarında bölgelere göre önemli bir değişim ugramayan b-değerlerinin son yıllarda küçük artmalar göstermesinin nedeni budur(Alptekin, 1978a). Bu durum b-değerlerinin sismik aktivite ile doğru orantılı olduğunu göstermektedir.

#### ODAK MEKANİZMASI ÇÖZÜMLERİ

Bu bölümde; inceleme alanındaki aktif sismik kuşaklarda oluşmuş bazı büyük magnitüdü depremlerin odak mekanizması çözümleri ve bu çözümlerden elde edilen asal gerilmelerin yeryüzündeki izdüşümleri incelenmiştir. Odak mekanizması çözümleri, P dalgalarının çok sayıda sismograf istasyonunda kaydedilen ilk hareketlerinden yarırlanılarak bulunmuştur. Kullanılan P dalgası ilk hareket yönleri ISC(International Seismological Centre) bültenlerinden alınmıştır. Ne yazık ki bu veriler oldukça fazla gözlem hatası içermektedir. Bu hatalar çoğu hallerde mekanizmaların genel durumlarını etkilememekle beraber düğüm düzlemlerinin (fay düzlemi ve ona dik olan yardımcı düzlem) belirlenmesinde güclükler yaratmaktadır. Çözümlerde Wullf stereografik izdüşümü kullanılmıştır. Kayıt istasyonlarının diyagramlar üzerindeki konumlarını belirlemek için gerekli olan azimut açıları ISC bültenlerinden, bunlara karşılık gelen; işinin odağı terkedis açıları ( $i_h$ ) ise Ritsema(1958)'deki tablolardan alınmıştır.

İncelediğimiz sismik dönemde bölgede oluşmuş  $m_b > 5.0$  olan çok sayıda deprem vardır. Fakat P dalgası ilk hareket yönlerinin deprem odak mekanizması çözümlerinde kullanılması yakın zamanlarda başlamıştır. Aynı zamanda kayıt istasyonlarının yeterli sayıya ulaşması, özellikle WWSSN(World Wide Standart-Seismograph Stations) ağının kurulması 1960'lardan sonra olduğundan, ancak yakın yıllarda oluşmuş depremlere ait yeterli veri sağlanabilmistiştir. Bazı depremler için çözümler ise değişik kaynaklardan alınmıştır. Yirmi dört tanesi bu çalışmada yapılmış olmak üzere toplam otuz altı depreme ait odak mekanizması çözümü Şekil 12'de topluca gösterilmişdir. Bu depremlere ait odak parametreleri Tablo'3 de görüldüğü gibidir. Ayrıca bu çalışmada yapılan fay düzlemi çözümleri Şekil 13 de verilmiştir.

Elde edilen çözümler kuzey Anadolu Fayı ve Doğu Anadolu Fayı için doğrultu atımlı hareketleri, Bitlis Bindirme Zonu ve Kafkaslar'da ise ters fay çözümleri ile bindirmeleri doğrulamaktadır. Yine Şekil 14'de gösterilen asal geriimelerin yeryüzündeki izdüşümülerinden Doğu Anadolu'nun aktif tektonığında yaklaşık kuzey-güney doğrultulu sıkışmaların etkili olduğu anlaşılmaktadır.

#### BÖLGENİN AKTİF TEKTONİĞİ

İnceleme alanı, Avrasya, Arabistan ve Anadolu levhalarının birleştiği bir üçlü bitişme(a triple junction)ının yer aldığı hareketli ve karmaşık bir bölgedir. Bugüne kadar bölge ile ilgili çeşitli araştırmalar yapılmış ve bölgenin tektoniği hakkında farklı görüşler ileri sürülmüştür(Rotstein,1982). Burada McKenzie(1972), Alptekin(1973) ve (1978b), Ketin(1977)'den yararlanılarak belirlenen model benimsenmiştir. Şekil 15'de verilen bu modele göre başlıca levhalar; Avrasya, Afrika, Arabistan ve Anadolu levhalarıdır. Karadeniz Levhası McKenzie(1972) ve Nowroozi(1972) tarafından ayrı bir levha olarak düşünülmüş ise de, bu levhanın batı ve güney sınırları kesin olarak belirgin değildir. Ketin(1977) tarafından Van Levhası olarak adlandırılan bölgenin de doğuda İran Levhası ile olan sınırı iyice tanımlanabilmiş degildir. Biz bu bölgeyi, Van Levhası

yerine Van Deformasyon Bölgesi olarak tanımlayacağız(Gülen,1984).

Afrika Levhası kuzeye doğru hareket etmektedir. Bu hareketin sonucu olarak, okyanusal litosfer niteliğindeki, levhanın doğu Akdeniz kesimi, kıtasal litosfer özelliği gösteren Anadolu Levha'sının altına dalmaktadır(McKenzie,1972; Nowroozi,1972; Alptekin,1973 ve 1978b). Bu dalının geometrisi oldukça karmaşıktır. Dalın batıda ortalama  $30^{\circ}$ , doğuda ise ortalama  $45^{\circ}$  lik bir açı iledir(Alptekin, 1973). Arabistan Levha'sının hareketi ise kuzeydoğuya doğrudur.Bu harekete, fay düzlemi çözümleri ile de doğrulanmış olan Kızıldeniz'deki açılma neden olmaktadır(Ghabil ve Alsanawi,1974). Afrika Levhası ile Arabistan Levhası arasındaki nisbi hareket sonucu transform faylı bir levha sınırı özelligindeki Levant Kırık Sistemi oluşmuştur. İnceleme alanımızda, sol yönlü doğrultu atımı gösteren Levant Kırık Sistemi'nin bir uzantısı olarak Doğu Anadolu Fayı'nı izlemekteyiz. Arap Levhası'nın söz konusu hareketi Anadolu Levhası'ni batıya doğru kaymaya zorlar. Kuzey Anadolu Fayı, batıya doğru hareket eden Anadolu Levhası ile, Avrasya'nın bir parçası olan Karadeniz Levhası arasında belirgin bir sınırdır(Nowroozi,1972; McKenzie,1972;Alptekin,1973). Sağ yönlü doğrultu atımlı olan Kuzey Anadolu Fayı da Doğu Anadolu Fayı gibi bir transform fay netiliğindedir.

Arabistan Levhası ile yine Avrasya'nın bir parçası olan Van Bölgesi, Güneydoğu Anadolu'da Bitlis Bindirme Zonu ile sınırlanırlar. Bu sınır güneydoğuya doğru Zagros Bindirme Zonu ile devam eder. Bitlis-Zagros Bindirme ve Kırımlı Kuşağı'nı bir bütün olarak incelenen Eyidoğan(1983),bu kuşağın jeolojik, tektonik ve jeomorfolojik bir uyum gösterdiğini,fakat sismik aktivitenin Bitlis Bindirme Zonu'nda daha yüksek olduğunu ileri sürmektedir. Özellikle zonun kuzey kesiminde yani Van Bölgesi'nde aktivitenin arttığı görüür. Bunun nedeni Kuzey Anadolu Fayı boyunca görülen sağ yönlü doğrultu atımlı hareketlerin Karlıova Üçlü Bitişmesi'nin doğusunda da devam etmesidir. Nowroozi(1971), Kafkasya'da genel olarak KB-GD doğrultulu bölgesel deprem kuşağını yanal olarak kesen üç ayrı deprem kuşağı belirtmiştir. Ana deprem kuşağıının doğrultusundaki

bu değişimelerin bölgedeki genç tektonik olaylarla ilgiliceği düşünülmektedir.

Bölgemin depremselliği ile ilgili çalışmalarдан elde ettiğimiz sonuçlar, buraya kadar anlatılan aktif tektonizma ile uyumludur. Deprem odak mekanizmalarının çözümlerinden Kuzey Anadolu Fayı ve Doğu Anadolu Fayı boyunca oluşmuş depremler için doğrultu atımlı faylanmalar elde edilmiştir. Bitlis Bindirme Zonu ve Kafkaslar'da oluşan depremlerin odak mekanizması çözümleri ise buralarda ters faylanmalar olduğunu ve bir sıkışma tektonığının hüküm sürdüğünü göstermektedir (Şekil 13). Odak mekanizması çözümlerinden sağlanan asal gerilmelerin yersel dağılımlarının incelenmesinde Kuzey Anadolu Fayı'nın çalışma bölgesinde kalan doğu kesiminde ve Kafkaslar'da genel olarak KD-GB doğrultulu, Bitlis Bindirme Zonu'nda ise yaklaşık K-G doğrultulu sıkışmaların hakim olduğu gözlenmiştir (Şekil 14).

İnceleme alanında oluşmuş depremlerin odak dağılımlarına dikkat edilecek olursa Kuzey Anadolu Fayı ve Doğu Anadolu Fayı boyunca transform faylı levha sınırlarının genel özelliği olan sıç ve büyük depremlerin yer aldığı görülür. Bitlis Bindirme Zonu üzerinde alınan derinlik kesitleri kita-kita çarışma bölgelerini karakterize edecek şekilde sıç bir odak dağılımı gösterirler. Özellikle odak derinlikleri daha duyarlı olarak hesaplanabilen büyük magnitüdülu depremler sıç odaklılardır. Böylece bu zon içinde deprem odak derinliklerinin bir yitim zonunu kanıtlayacak dağılımlar göstermediği anlaşılmaktadır. Kafkaslar'da meydana gelen depremlerde sıç odaklılardır.

#### **SONUÇLAR**

Bu çalışmada Doğu Anadolu ve Kafkaslar Bölgesi'nin depremselliği ve yeterli veri sağlanan bazı büyük depremlerin odak mekanizmaları incelenerek elde edilen sonuçların bölgenin aktif tektoniği ile ilişkileri açıklanmaya çalışılmıştır.

Bölgdedeki başlıca fayların (Şekil 1) ve yaklaşık yetmiş yıllık bir dönemde oluşmuş depremlerin episantr dağılımlarının (Şekil 2) be-

lirtildiği haritalar bölgede sismik aktivitenin yüksek olduğunu göstermektedir. En aktif bölge Bitlis Bindirme Zonu ile kuzeyinde kalan bölge (Van Bölgesi)dir. Buradaki aktivite Kuzey Anadolu Fayı'nın doğu uzanımı ile ilgiliidir.

Elimizdeki bilgiler ve odak mekanizması saptanan depremler Kuzey Anadolu Fayı'nın sağ yönlü doğrultu atımlı, Doğu Anadolu Fayı'nın ise sol yönlü doğrultu atımlı birer fay olduklarını göstermektedir. Bitlis Bindirme Zonu ve kuzey kesimi ile Kafkaslar Bölgesi daha karmaşık bir yapıdadır. Buralara ait depremlerden elde edilen odak mekanizması çözümleri ters faylanmalar göstermektedir. Bu bölgelerde yitime işaret eden derin odaklı depremlere rastlanamamıştır.

Deprem episantrlarının bölgedeki dağılımı, Kuzey Anadolu Fayı ile Doğu Anadolu Fayı'nın kesiştiği yerin (Karlıova üçlü bitişimi) doğusunda, Doğu Anadolu Fayı'nın devamı görünümünde bir sıralanma göstermektedir. Bu gözlemler ilk kez Nowroozi (1971, 1972) tarafından önerilen ve güneyde Ölüdeniz Fay Sistemi ile birleşen Doğu Anadolu Fay Zonu'nda gözlenen sol yönlü doğrultu atımlı hareketlerin Kafkasya Bölgesi'ne doğru devam ettiği yolundaki görüşleri desteklemektedir.

Van Bölgesi ve Kafkaslar Bölgesi, odak mekanizması çözümlerinden ve bu çözümlerden elde edilen asal gerilmelerin konumlarından analaşıldığına göre yaklaşık K-G doğrultulu sıkışma kuvvetlerinin etkisi altında olup şiddetli bir deformasyon geçirmektedirler.

Bölgede ayrıntılı sismik araştırmaların yapılmış olmaması, dolayısıyla kabuk ve üst manto yapısı ile elastik dalga hızlarının iyi bilinmemesi, bu konuda yapılan çalışmalarda güçlükler yaratmaktadır. Ayrıca bölgede bulunan kayıt istasyonlarının sayısı çok azdır. Yerleri iyi seçilecek yeterli sayıda sismograf istasyonundan oluşan bir ağ kurulması, bölge hakkında daha güvenilir sismolojik bilgilerin elde edilebilmesi için zorunlu görülmektedir.

## TEŞEKKÜR

Bu çalışma, Karadeniz Üniversitesi, Mühendislik-Mimarlık Fakültesi, Jeofizik Mühendisliği Bölümü'nün Doğu Anadolu'nun Depremselliği konulu araştırma projesinin bir parçası olan Osmanşahin(1983) ve Ekşi(1983) den özetlenmiştir. Çalışmanın çeşitli sahalarında bilgi alışverişi yaptığımız Doç.Dr.Özer Kenar'a ve Araş.Gör.Yük. Müh.M.Fırat Özer'e teşekkür ederiz.

## KAYNAKLAR

- Alptekin,Ö.(1973). Focal mechanism of earthquakes in Western Turkey and their tectonic implications, Ph.D. Thesis New Mexico Inst. of Mining and Tech., Socorro, New Mexico.
- Alptekin,Ö.(1978 a). Türkiye ve Çevresindeki Depremlerde Magnitüd Frekans Bağıntıları ve Deformasyon Boşalımı, Doçentlik Tezi, K.T.Ü. Trabzon.
- Alptekin,Ö.(1978 b). Batı Anadolu Depremlerinin Odak Mekanizmaları ve Bunların Aktif Tektonik İle İlişkileri, 2. Odak Mekanizmaları ve Plaka Tektoniği Modeli, Jeofizik C.VII. s.3, 35-57.
- Alsan,E., L.Tejuçan and M.Bath(1975). An earthquake catalogue for Turkey the interval 1913-1970, Report No.7-15, Kandilli Rasathanesi, İstanbul.
- Arpat,E. ve F.Şaroğlu(1972). Doğu Anadolu Fayı İle İlgili Bazı Gözlemler ve Düşünceler, M.T.A., Ankara.
- Büyükaşikoğlu,S.(1979). Sismolojik Verilere Göre Güney Anadolu ve Doğu Akdeniz'de Avrasya-Afrika Levha Sınırının Özellikleri, Doçentlik Tezi, İ.T.Ü.Maden Fak., İstanbul.
- Canitez,N.(1969). Türkiye ve Civarında Deprem Odak Hareketleri ve Geriime Dağılımları, Doçentlik Tezi, İ.T.Ü.Maden Fakültesi, İstanbul.

Çaldırın Depremi Raporu(1977). İmar İskan Bakanlığı Deprem Araş-  
tırma Enstitüsü Başkanlığı, Ankara.

Ekşi,F.(1983). Kuzeydoğu Anadolu ve Kafkaslar Bölgesinin Deprem-  
selligi. Yük.Lisans Tezi. K.U.Fen Bilimleri Enstitüsü,  
Trabzon.

Eyidogan,H.(1983). Bitlis-Zağros Bindirme ve Kırımlı Kuşağıının  
Sismotektonik Özellikleri, Doktora Tezi, İ.T.Ü. Maden  
Fak.,İstanbul.

Ghalib,A.A. and S.A.Alsanawi(1974). Seismotectonics of the Arabian  
Peninsula a Global Tectonic approach,Bull.Coll.Sci.,15.

Gülen,L.(1984). Sr,Nd,Pb isotope and trace element geochemistry  
of calc-alkaline and alkaline volcanics, eastern Turkey,  
Ph.D.thesis, Massachusetts Institute of Tech.,U.S.A.

Gutenberg,B., C.F.Richter(1954). Seismicity of earth and related  
phenomena, 2 nd.ed.,Princeton University Press,Princeton,  
N.J.

ISC(1964-1977). International Seismological Centre, England.

İlhan,E.(1976). Türkiye Jeolojisi, ODTÜ Yayıncı, Ankara.

Karnik,V.(1966). Seismicity of the European area,Part 1,D.Reidel  
Publ., Dordrecht-Holland.

Ketin,İ.(1968). Türkiye'nin Genel Tektonik Durumu ile Başlıca  
Deprem Bölgeleri Arasındaki İlişkileri,M.T.A.Dergisi,71.

Ketin,İ.(1977). Genel Jeoloji,Cilt I,Yerbilimlerine Giriş,İ.T.Ü.  
Maden Fak.,İstanbul.

McKenzie,D.(1972). Active tectonics of the Maditerranian Region  
Geophys J.R. Astr. Soc.30, pp.109-185.

NOAA, National Organization of Atmospheric Administration.

- Nowroozi,A.A.(1971). Seismotectonics of the Persian Platean, eastern Turkey, Caucasus and Hindikush region,Bull. Seism. Soc. Amer.,61, 317-341.
- Nowroozi,A.A.(1972). Focal mechanism of earthquakes in Persia Turkey, West Pakistan and Afghanistan and Plate Tectonics of the Middle East,Bull.Seism.Soc.Am.62, 823-850.
- Osmanşahin,İ.(1983). Güneydoğu Anadolu'nun Depremselligi. Yük. Lisans Tezi. K.Ü.Fen Bilimleri Enstitüsü, Trabzon.
- Özer,M.F.(1983). Kuzey Anadolu Fayı'nın Doğu Kesiminin Deprem selliği,Yük.Lisans Tezi,K.Ü.Fen Bilimleri Enstitüsü,Trabzon.
- Ritsema,A.R.(1958), (i, )-curves for bodily seismic waves of any focal depth, Lembaga meteorologi dan Geofizik,Verhandelingen No 54, Djakarta.
- Riznichenko,Y.V.(1959). On quantative determination and mapping of seismic activity, Ann. Geofizik 12, 227-237.
- Rotstein,Y.(1982). Seismotectonics of the southern boundary of Anatolia, Eastern Mediterranean region: Subduction, collision, and are jumping, Jour.Geoph.Res.,Vol.87,No.B9, p.7694-7706.
- Weeks,J.,D.Lockner and J.Byerlee(1978). Change in b-values during movement on cut surfaces in granite,Bull.Seism. Soc. Am. 68, 333-341.

ŞEKİL AÇIKLAMALARI :

- Şekil 1 : Doğu Anadolu ve Kafkasya bölgesindeki başlıca faylar (açıklama için metne bakınız).
- Şekil 2 : Doğu Anadolu ve Kafkasya bölgesinde 1909-1977 yılları arasında oluşmuş depremlerin episantrlarının dağılımı.
- Şekil 3 : Deprem odaklarının düşey dağılımlarını gösteren profil ve dilimlerin yerlerini gösteren harita.
- Şekil 4 : Odak derinlik kesiti çıkarılan profiller(Şekil 3).  
a) A-A' profili ; b) B-B' profili.
- Şekil 5 : Deprem odaklarının üç boyutlu dağılımlarını gösteren blok diyagramı(Şekil 3'deki 1 nolu dilim için).
- Şekil 6 : C-C' profiline ait odak derinlik kesiti.
- Şekil 7 : Deprem odaklarının üç boyutlu dağılımlarını gösteren blok diyagram(Şekil 3'deki 2 nolu dilim için).
- Şekil 8 : Deprem odaklarının üç boyutlu dağılımlarını gösteren blok diyagram(Şekil 3'deki 3 nolu bölge için).
- Şekil 9 : Odak derinlik kesitleri çıkarılan profiller(Şekil 3).  
a) D-D' profili ; b) E-E' profili.
- Şekil 10 : Doğu Anadolu ve Kafkasya bölgesi için birikimli fre-kanslardan hesaplanan magnitüd-frekans bağıntıları.
- Şekil 11 : Doğu Anadolu ve Kafkasya bölgesinde 1909-1977 yılları arasında oluşmuş depremlerin yıllara göre dağılımları.
- Şekil 12 : Doğu Anadolu ve Kafkaslar'da 1964-1977 yılları arasında oluşmuş bazı depremlerin odak mekanizması çözümleri. Çözümler Wullf stereografik izdüşümü kullanılarak alt yarımküre için yapılmıştır. Siyah bölgeler sıkışma (kompresyon), beyaz bölgeler genleşme(dilatasyon) hâ-reketlerini belirler. Depremler NOAA'dan alınan episant koordinatlarına göre yerleştirilmiştir. Episantrlara verilen numaralar Tablo 3'deki deprem sıra numaralarına karşılık gelir.

Şekil 13 : Fay düzlemi çözümleri. Çözümlerin sol üst köşelerindeki numaralar Tablo 3'deki deprem sıra numaralarını göstermektedir. 23 nolu çözüm 22.5.1971 Bingöl depremine aittir. Yüzey faylanmalarına neden olan bu depremin odak mekanizması çözümünde arazi gözlemlerinde de olduğu gibi doğrultu atımlı bir faylanma görülmüştür. Atım sol yönlüdür. Doğrultusu K47D olan düzlem fay düzlemidir. 28 nolu çözüm, 6.9.1975 Lice depremine, 29 ve 30 nolu çözümler ise bunun aynı tarihli art sarsıntılarına ait olup ters faylanmalar göstermektedirler. Bu çözümler için gözlemsel verilerden yararlanılarak doğrultuları sırasıyla K75D, K76D ve K54D olan düzlemler fay düzlemi olarak seçilmiştir. 24.11.1976 Çaldıran depremi için 33 nolu çözüm elde edilmiştir. Bu çözüm doğrultu atımlı bir faylanma göstermektedir. Arazi gözlemlerine dayalı olarak atımın sağ yönlü ve K112B doğrultulu düzlemin fay düzlemi olduğu saptanmıştır. Diğer çözümlerde arazi bulguları olmadığından fay düzlemleri belirlenmemiştir.

Şekil 14 : Odak mekanizması çözümlerinden (Şekil 12) elde edilen asal gerilmeler.

Şekil 15 : Türkiye ve çevresinin levha tektoniği modeli (Ketin, 1977 den alınmıştır).

Tablo 1 : Bölgede 1909-1977 yılları arasında oluşmuş  $m_b \geq 4.0$  olan depremlerin 0.1 birim aralıklıkla magnitüdlere göre dağılımları.

Magnitüd	4.0	4.1	4.2	4.3	4.4	4.5	4.6	4.7	4.8	4.9
Frekans	30	8	16	14	23	34	35	41	34	19
	5.0	5.1	5.2	5.3	5.4	5.5	5.6	5.7	5.8	5.9
	26	21	15	9	7	8	6	5	1	4
	6.0	6.1	6.2	6.3	6.4	6.5	6.6	6.7	6.8	6.9
	2	4	-	-	1	-	-	1	1	-
	7.0	7.1	7.2	7.3	7.4					
	2	-	-	-	-					

Tablo 2 : Bölgede 1909-1923 yılları arasında oluşmuş depremlerin 0.5 birim magnitüd aralığı içeren sınıflara göre dağılımı. Ayrıca magnitüd frekans bağıntısını belirleyen  $a$  ve  $b$  sabitlerinin bulunması için gerekli değerler verilmiştir.

Magnitüd	Frekans	Birikimli Frekans( $N_i$ )	Log $N_i$	Aralık Ortası( $M_i$ )	$M_i^2$	$M_i \cdot \log N_i$
4.0-4.4	91	367	2.56466	4.2	17.64	10.77157
4.5-4.9	163	276	2.44090	4.7	22.09	11.47223
5.0-5.4	78	113	2.05308	5.2	27.04	10.67601
5.5-5.9	24	35	1.54407	5.7	32.49	8.80120
6.0-6.4	7	11	1.04139	6.2	38.44	6.45661
6.5-6.9	2	4	0.60206	6.7	44.89	4.03380
7.0-7.4	2	2	0.30103	7.2	51.84	2.16741
TOPLAM				39.9	234.43	54.37883

Tablo 3 : Odak Mekanizması Çözümleri İncelenen Depremler ve bu Depremlere Ait Parametreler

No	Tarih	Oluş Zamanı	Eşitantr Enlem °N Boylam °E	h (km)	MAC (M <sub>b</sub> )	P		T		B		X		Y		Kaynak
						AZ	PAL	AZ	DAL	AZ	DAL	AZ	DAL	AZ	DAL	
1	26.12.1939	23:57:21	39.800 39.510	25	7.4	158	17	61	22	280	61	110	28	25	3	(3)
2	07.07.1957	05:58:49	39.370 40.460	60	5.4	352	0	81	63	262	27	148	38	18	40	(3)
3	20.05.1959	19:49:13	41.800 41.900	30	5.7	66	22	183	32	330	-	-	-	-	-	(1,7)
4	14.06.1964	12:15:31.3	38.130 38.510	8	6.1	6	4	98	24	268	65	49	20	86	13	(2)
5	31.08.1965	07:29:45	39.300 40.800	10	5.1	251	8	160	36	353	53	11	20	212	30	(*)
6	02.03.1966	02:37:04.6	43.000 45.700	44	5.4	208	7	109	55	302	32	54	28	175	42	(*)
7	07.03.1966	01:16:09.7	39.100 41.600	38	5.3	356	11	80	21	241	67	125	10	30	20	(*)
8	27.04.1966	19:48:52	38.200 42.500	40	5.0	186	17	326	71	91	12	202	60	354	27	(*)
9	19.08.1966	12:22:10	39.200 41.700	26	6.1	151	13	240	0	326	76	-	-	-	-	(1,5)
10	19.08.1966	13:15:12.3	39.400 41.300	52	5.0	157	14	311	75	66	7	165	58	331	31	(*)
11	19.08.1966	13:54:24.7	39.000 41.800	29	5.3	199	15	106	13	340	70	243	2	150	20	(*)
12	20.08.1966	11:59:08.8	39.400 40.900	12	5.3	301	22	211	9	105	57	168	80	348	10	(*)
13	30.01.1967	01:20:27.7	41.038 44.335	6	5.1	187	50	283	5	16	39	249	36	135	30	(*)
14	26.07.1967	18:53:01.3	39.500 40.400	33	5.6	143	5	46	55	34	40	121	40	350	31	(*)
15	29.04.1968	17:01:57.6	39.200 44.300	34	5.3	200	38	310	23	62	43	262	46	165	10	(*)
16	01.09.1968	05:39:46.7	39.072 46.000	38	5.1	279	51	67	33	170	16	23	70	260	11	(*)
17	24.09.1968	04:19:54.5	39.223 40.158	14	5.1	22	61	297	12	200	29	318	40	87	37	(*)
18	30.10.1968	16:51:33.5	37.875 38.574	3	4.9	205	1	115	32	295	57	64	22	165	22	(2)
19	10.09.1969	12:14:00.4	39.188 41.430	50	5.2	208	23	322	44	100	37	0	12	253	51	(*)
20	03.01.1970	06:54:49.4	41.767 43.242	68	5.1	224	7	114	68	311	19	59	36	203	48	(*)
21	14.03.1970	01:51:44.4	38.597 44.707	23	5.3	261	45	23	28	131	33	333	55	227	10	(*)
22	25.10.1970	11:22:18.2	36.769 45.129	19	5.5	210	6	84	79	300	9	37	39	200	50	(*)
23	22.05.1971	16:43:58.7	38.829 40.521	3	6.0	184	21	93	6	347	69	230	10	137	19	(*)
24	29.06.1971	09:08:11.7	37.146 36.833	35	5.0	133	1	45	67	223	24	334	41	112	41	(*)
25	11.07.1971	20:12:54.8	37.174 36.796	9	5.2	64	9	164	49	326	42	102	40	213	24	(*)
26	04.08.1974	15:06:17.3	42.335 45.932	33	5.4	198	10	329	74	106	12	8	34	212	54	(*)
27	01.01.1975	00:29:56.8	36.581 36.463	15	4.8	166	49	58	14	319	36	211	21	94	36	(2)
28	06.09.1975	09:20:10.9	38.474 40.723	26	6.1	178	15	35	72	270	9	6	30	168	58	(*)
29	06.09.1975	10:13:08.5	38.539 40.589	33	5.1	2	9	92	76	272	14	15	43	167	45	(*)
30	06.09.1975	10:52:15	38.428 40.830	33	5.2	169	19	33	63	265	17	4	24	143	60	(*)
31	29.04.1976	22:18:09.1	40.888 42.855	44	5.0	216	13	121	23	332	63	78	6	171	26	(*)
32	05.09.1976	22:07:34.9	38.298 40.853	22	5.1	161	15	344	75	352	1	160	60	342	30	(*)
33	24.11.1976	12:22:18.8	39.121 44.029	36	6.1	304	46	73	30	179	28	274	10	22	59	(*)
34	24.11.1976	20:46:60	39.080 44.040	46	4.8	194	9	97	34	299	54	150	38	51	16	(6)
35	25.03.1977	02:39:58.2	38.562 40.024	21	5.2	70	67	202	17	298	16	182	56	36	29	(*)
36	26.05.1977	01:35:13.8	38.924 44.380	37	5.2	66	14	336	1	244	76	19	10	110	10	(*)

(1) Alptekin (1973)

(5) Nowroozi (1972)

(2) Büyükaşıkoglu (1979)

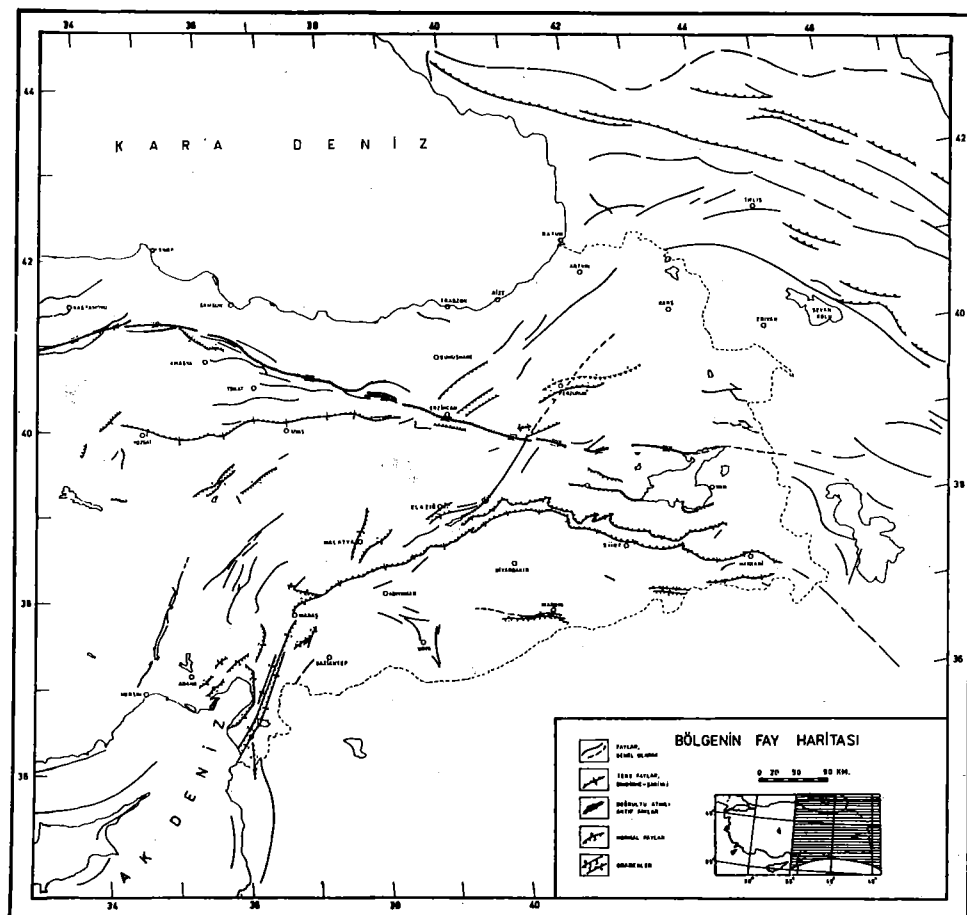
(6) Özer (1983)

(3) Canitez (1969)

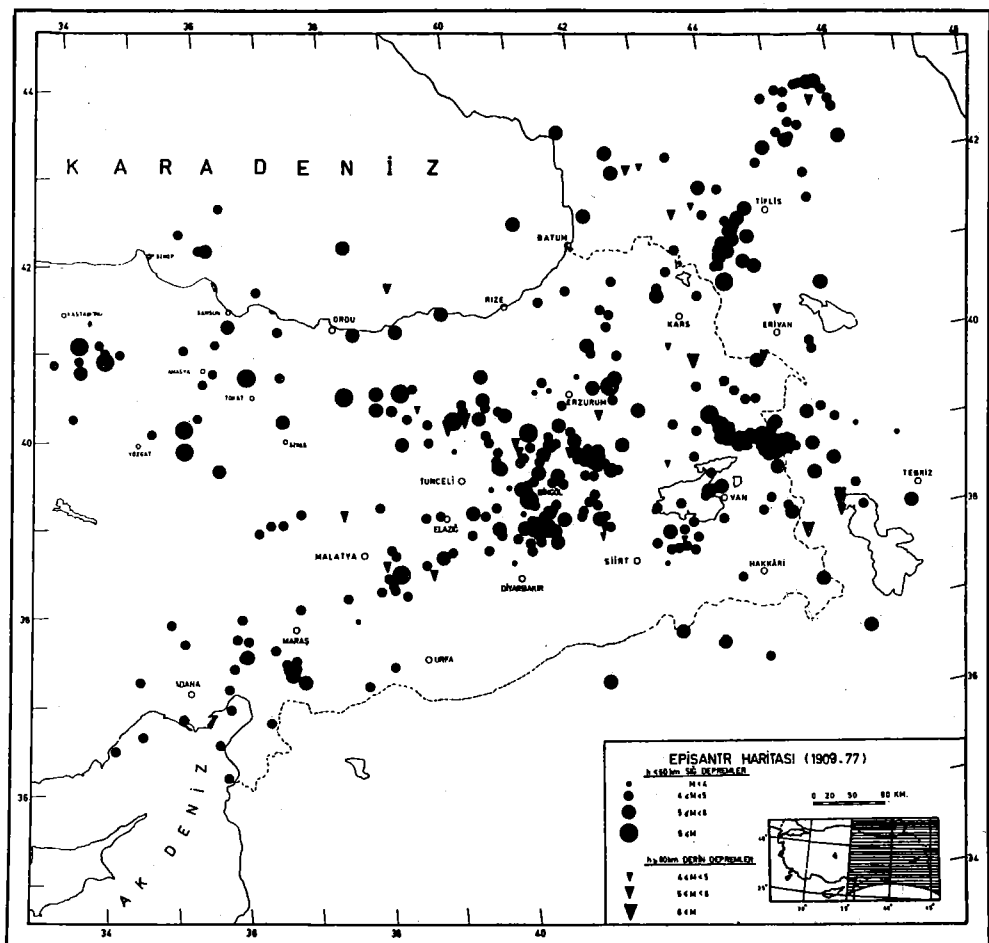
(7) Shirokova (1962)

(4) McKenzie(1972)

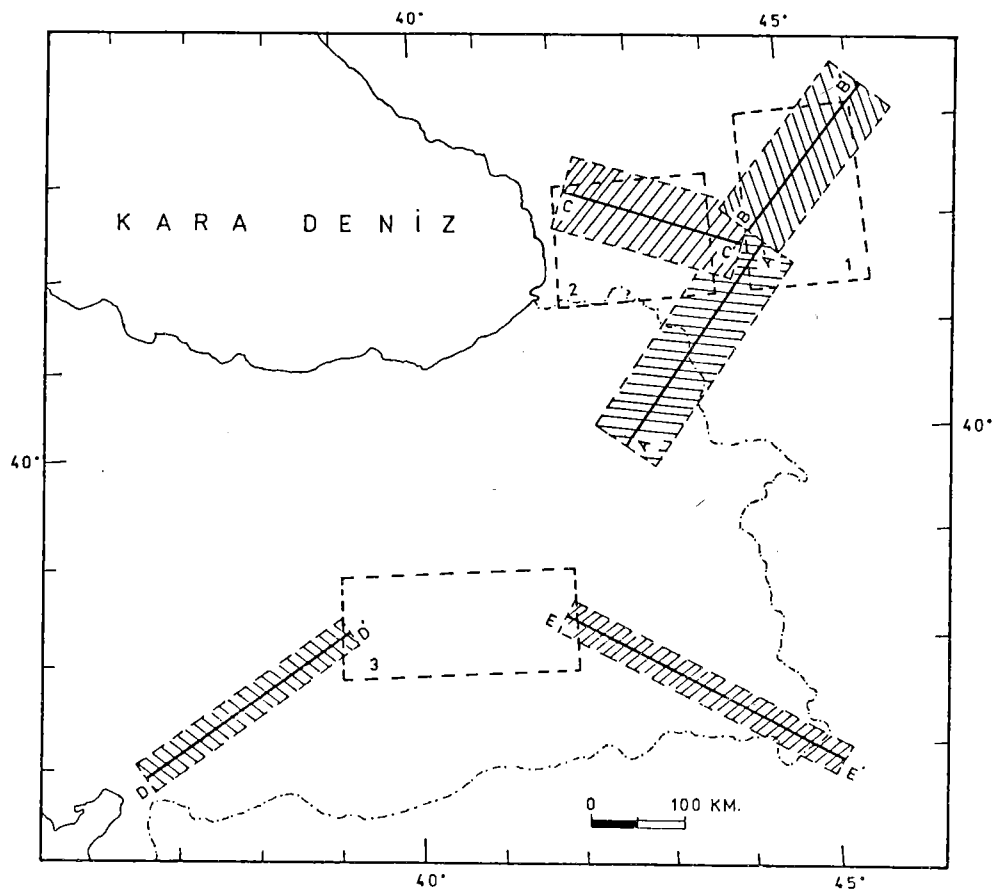
\* Bu çalışmada incelenmiştir.



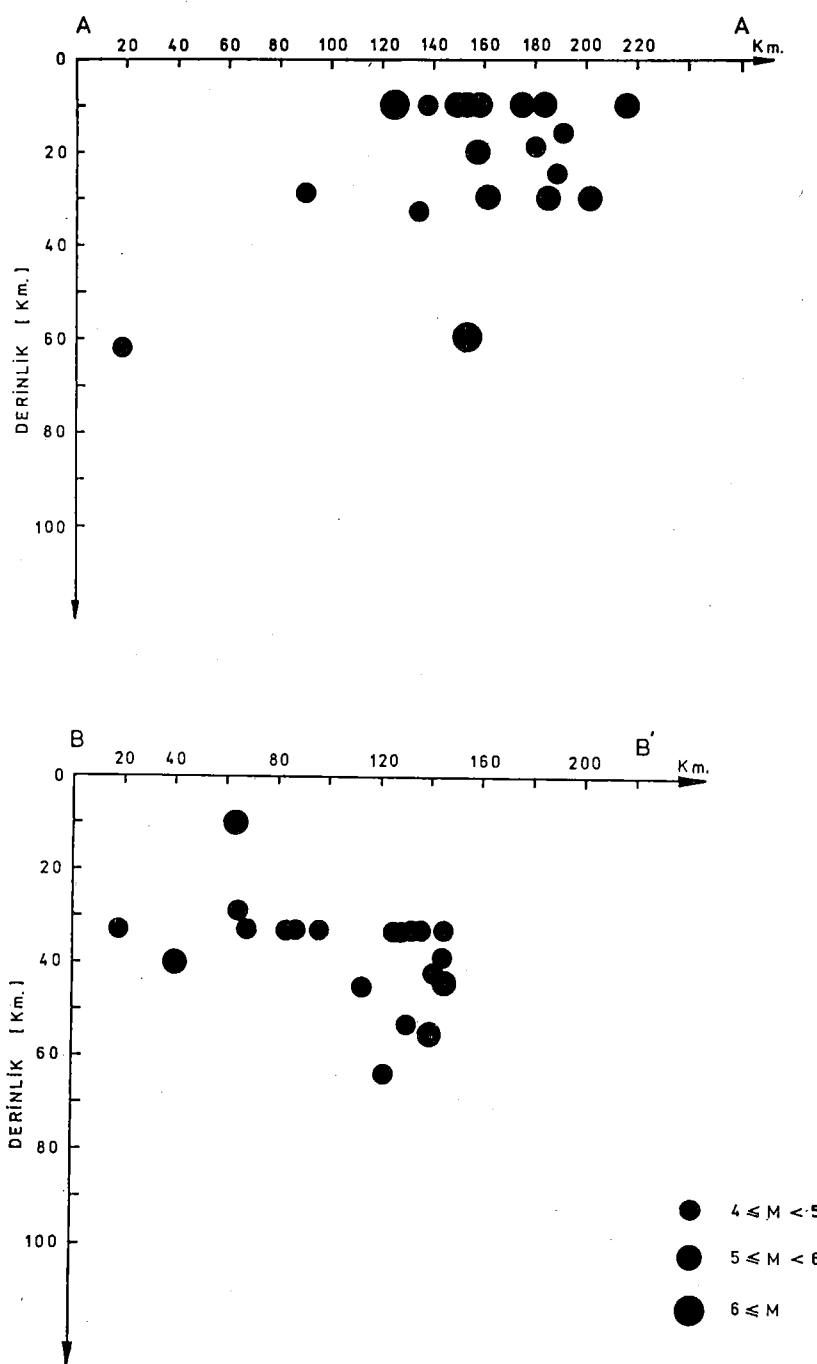
### Sekil-1



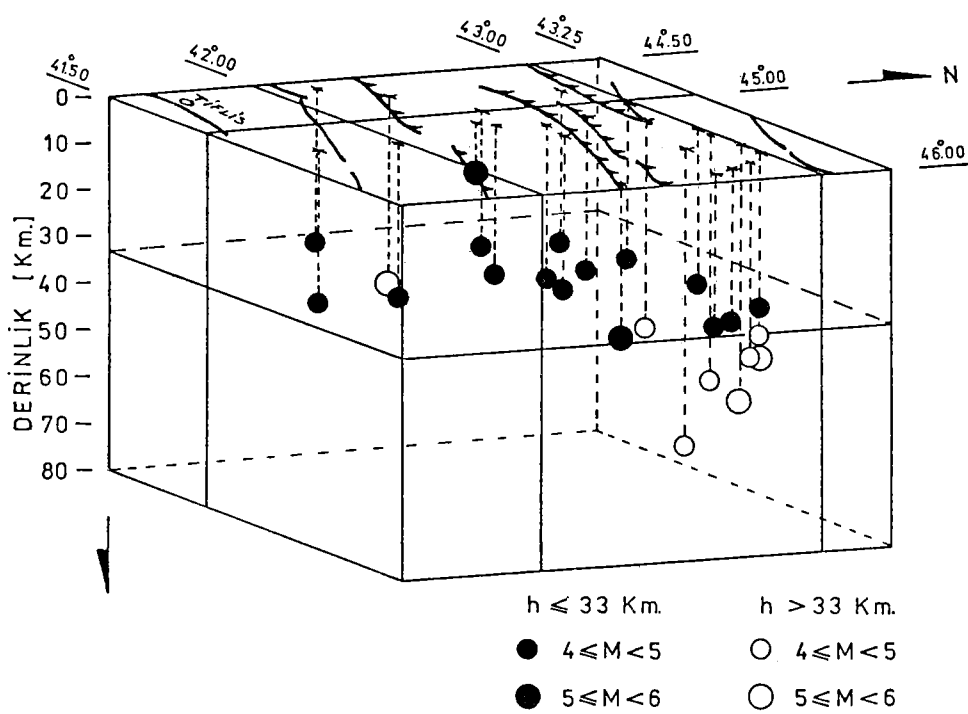
Şekil - 2



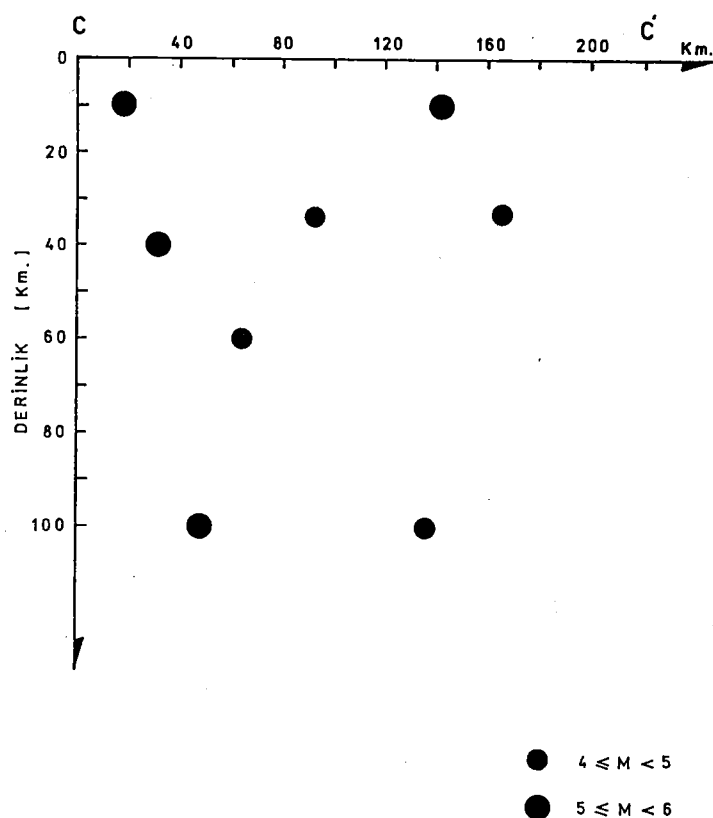
Sekil - 3



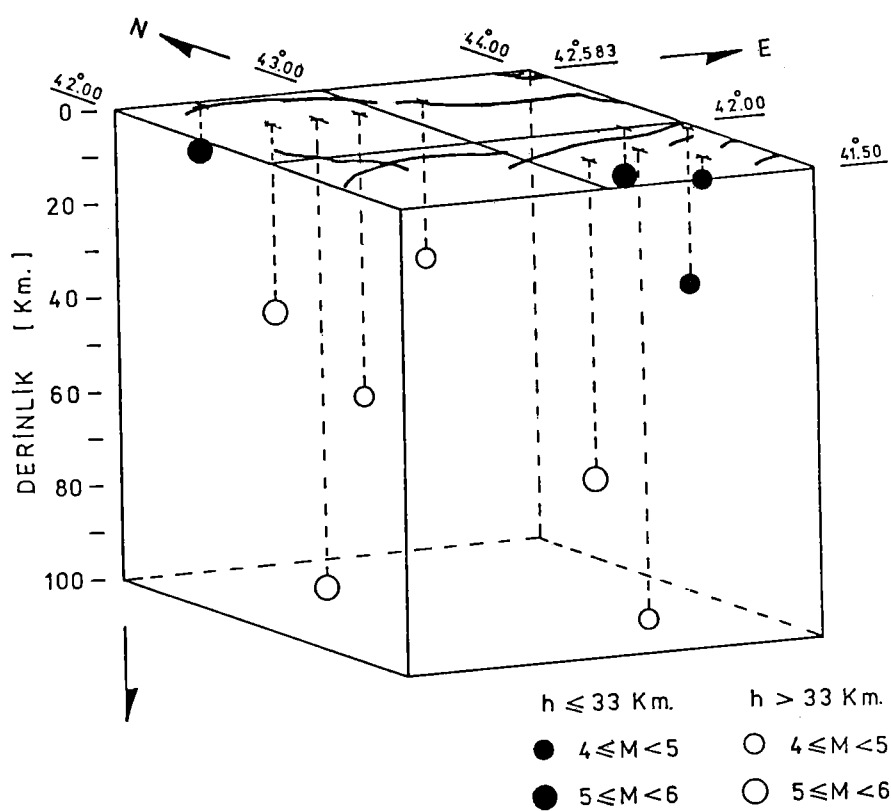
Şekil - 4



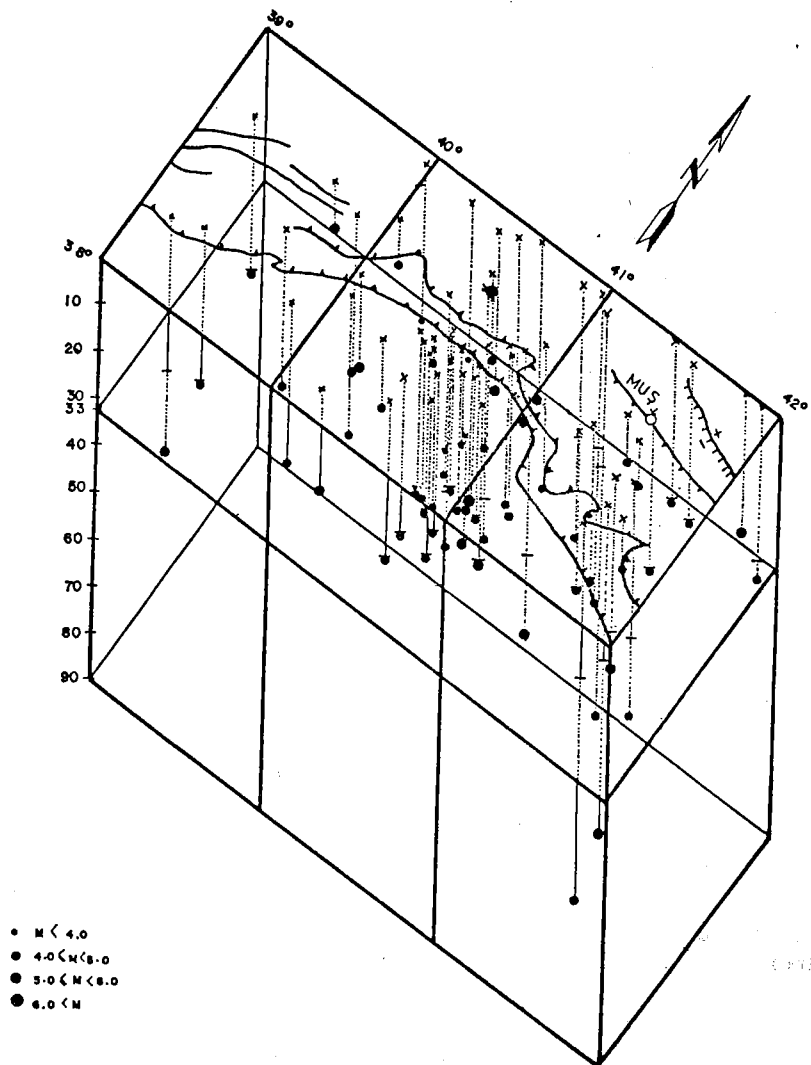
Şekil - 5



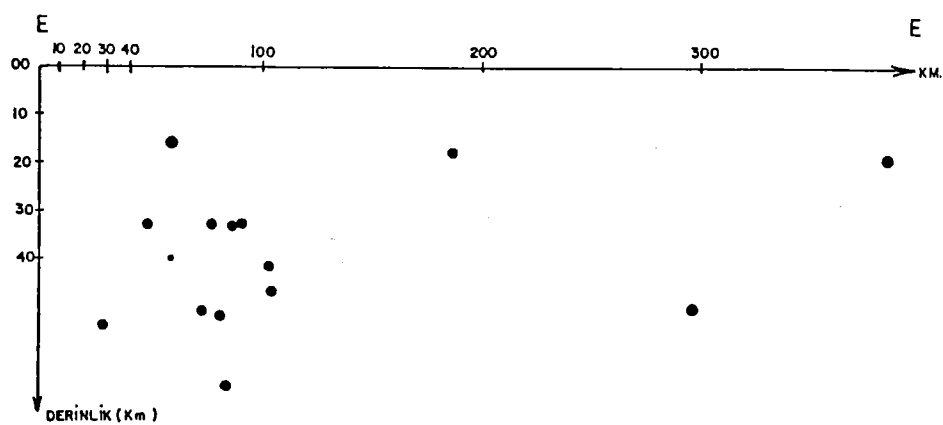
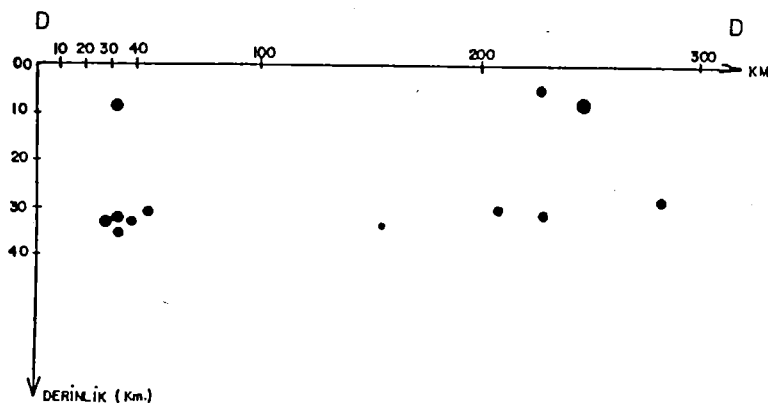
Şekil - 6



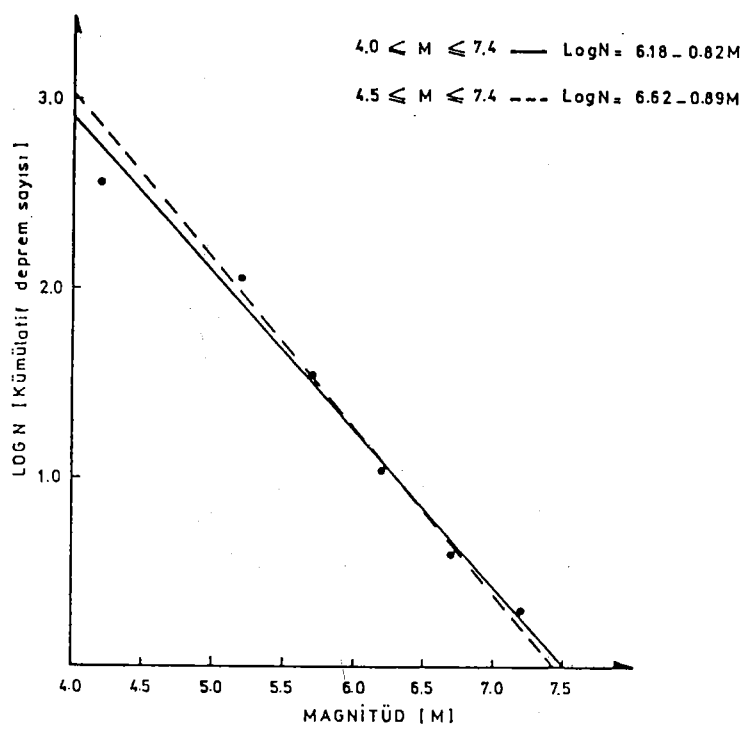
Şekil - 7



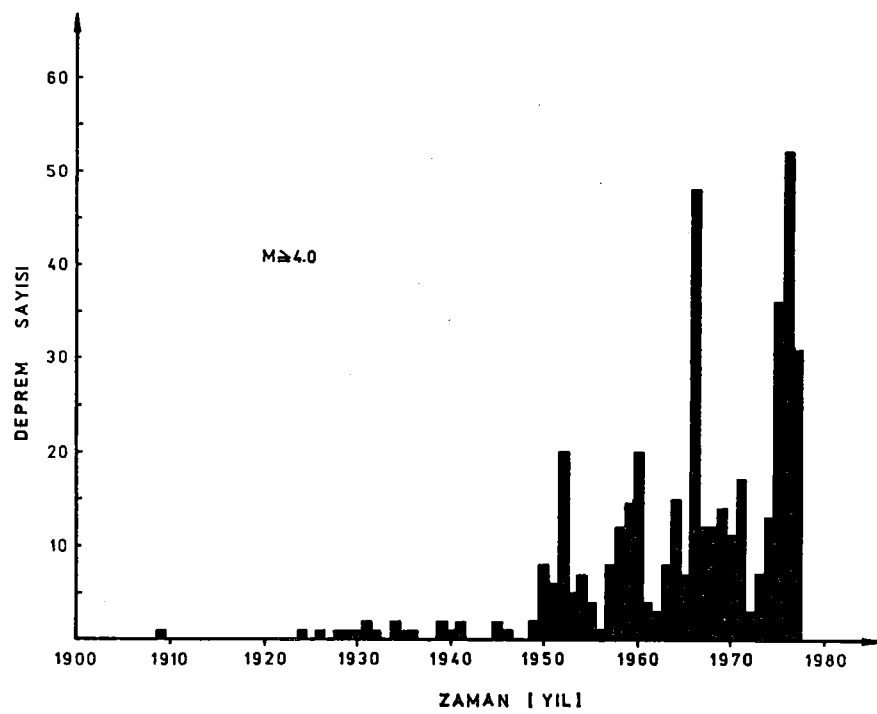
Sekil - 8



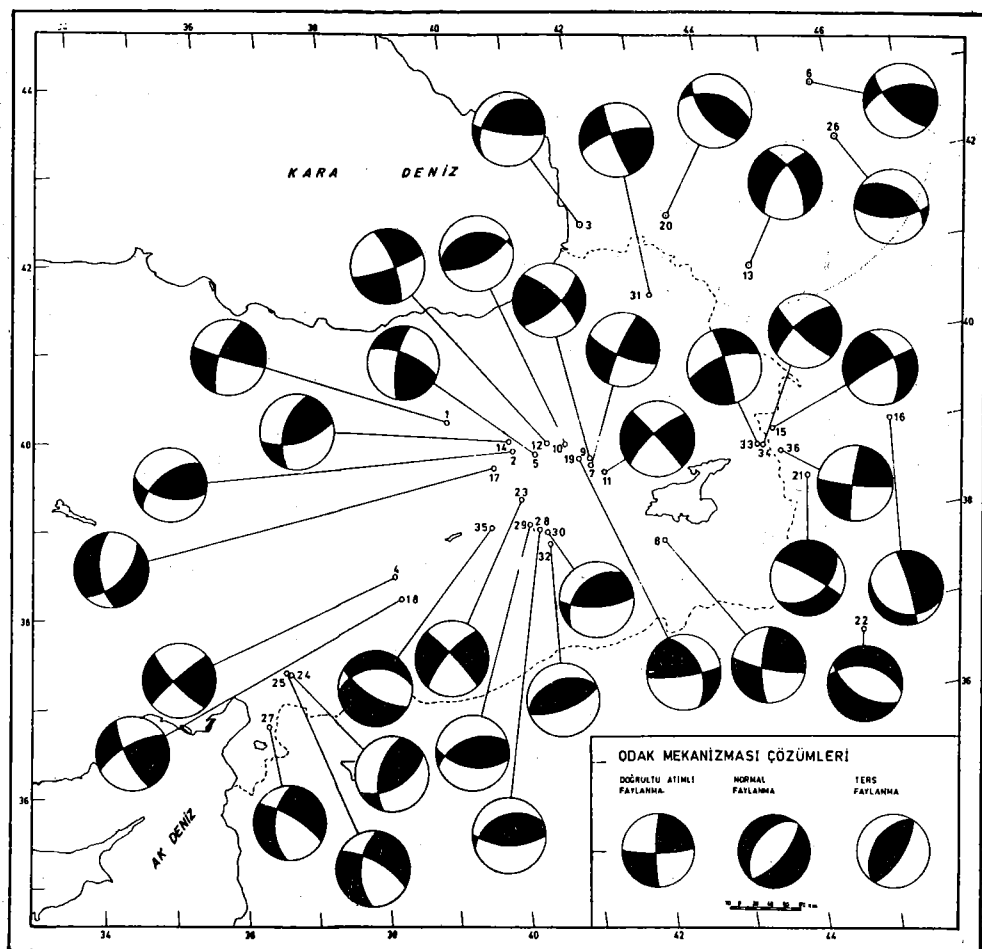
Sekil - 9



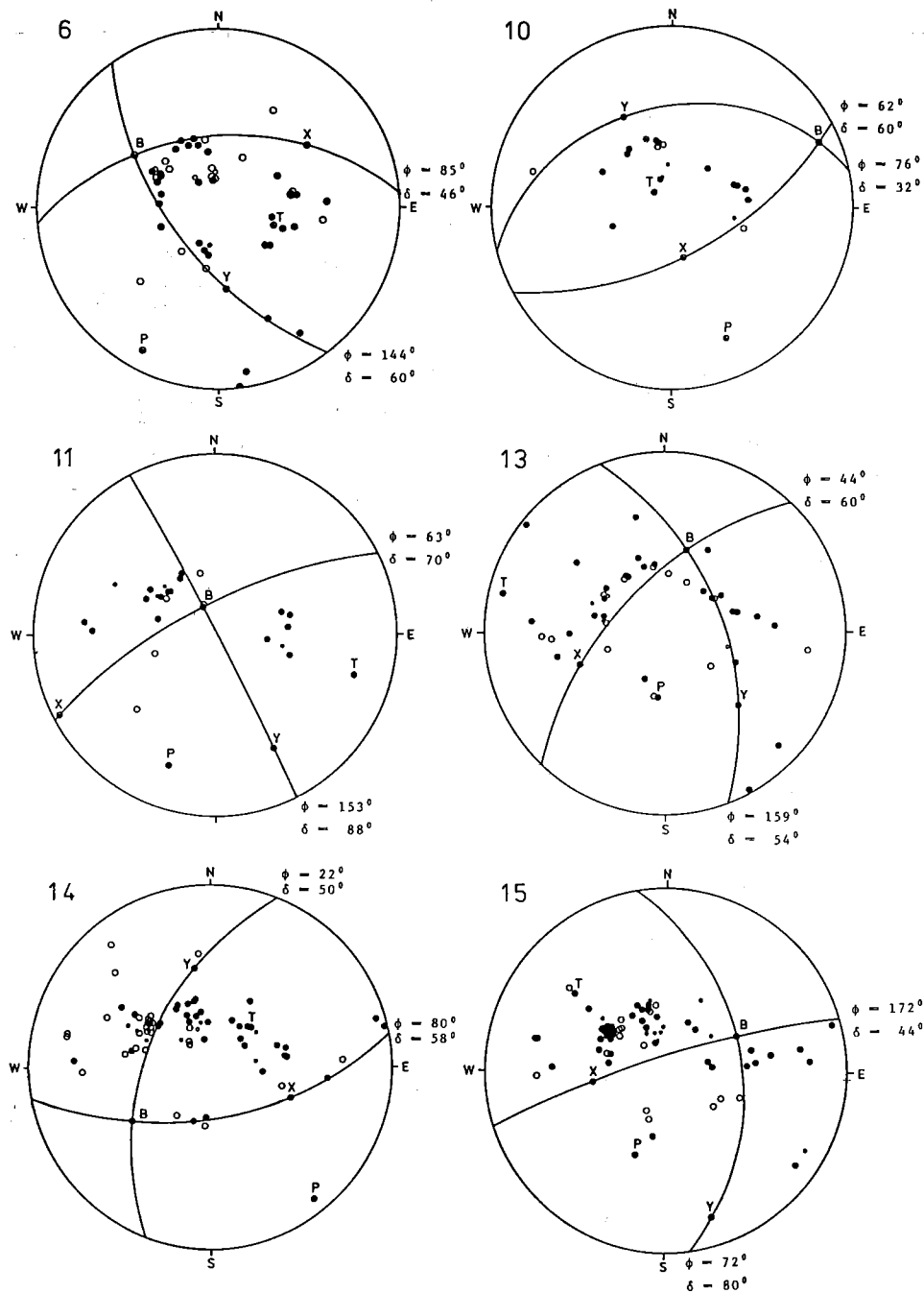
Şekil - 10



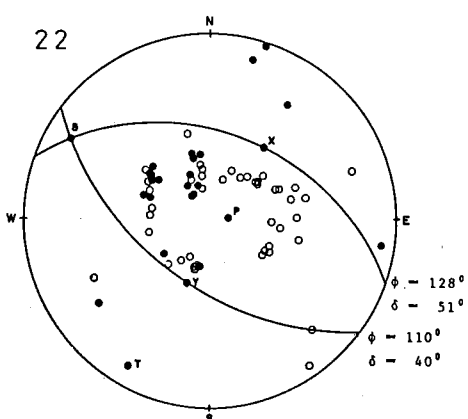
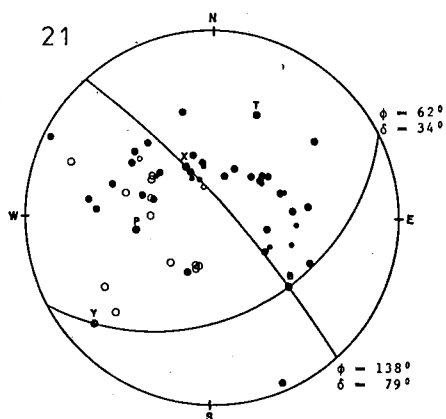
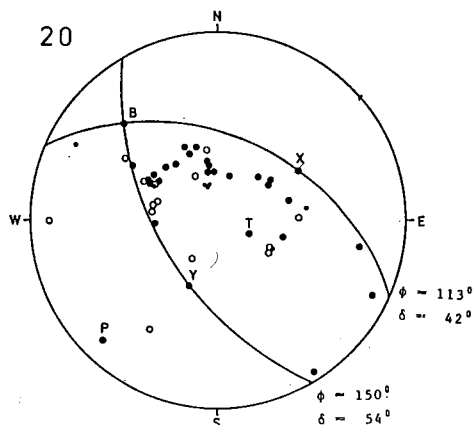
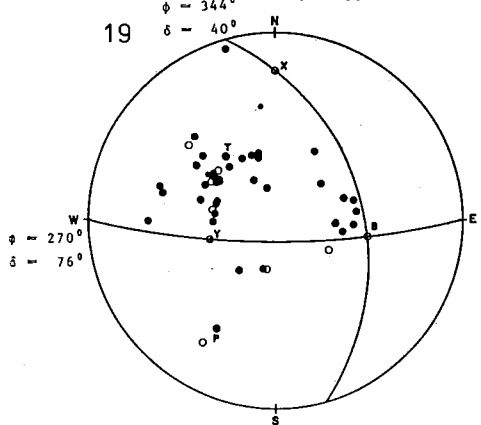
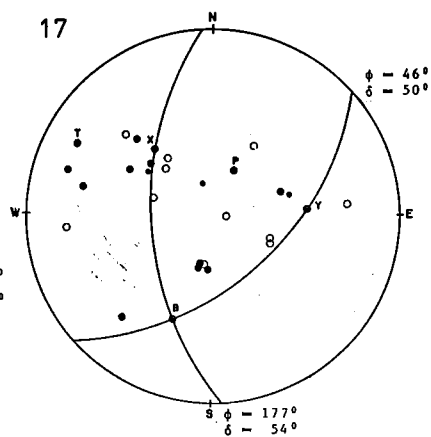
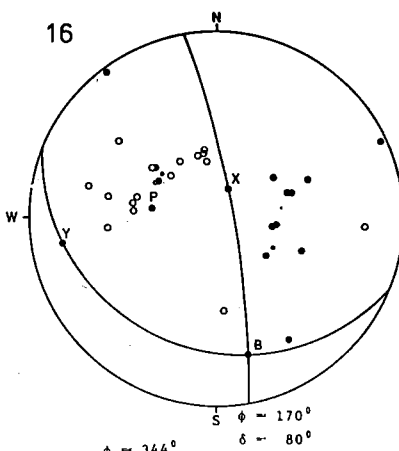
Sekil - 11

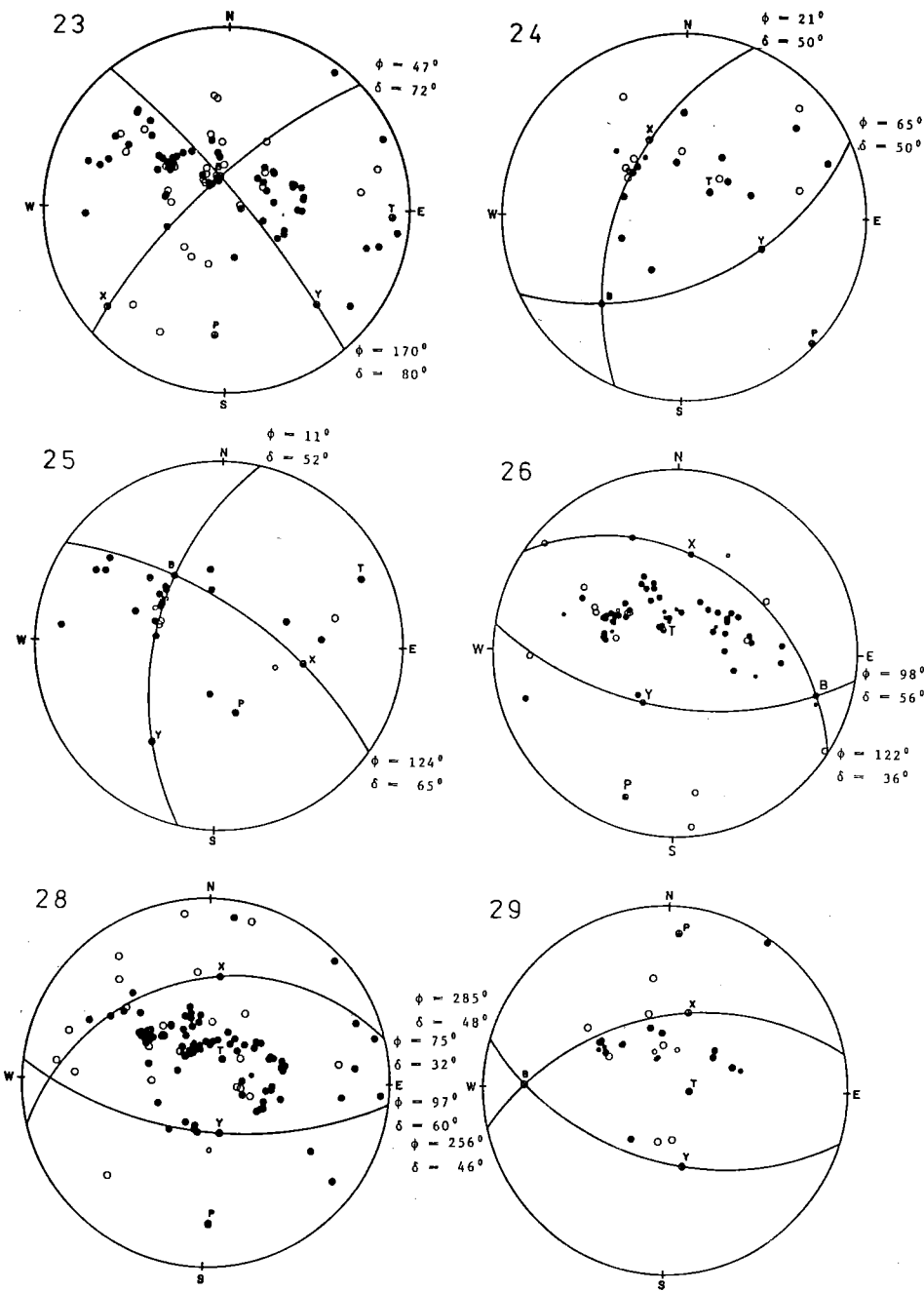


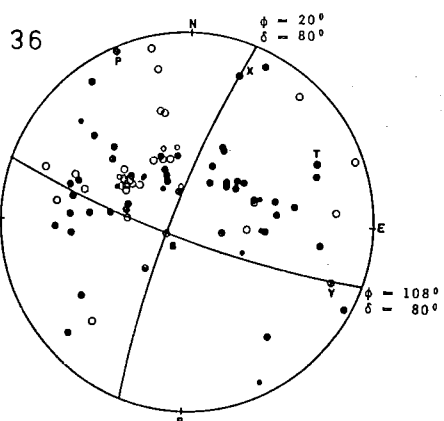
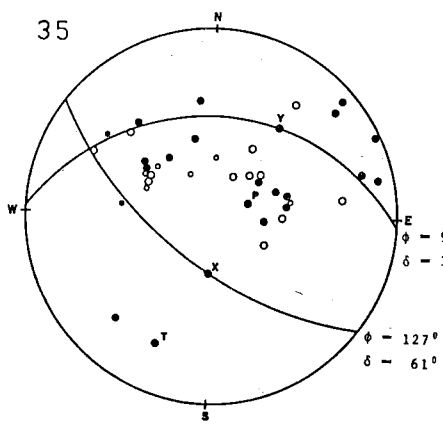
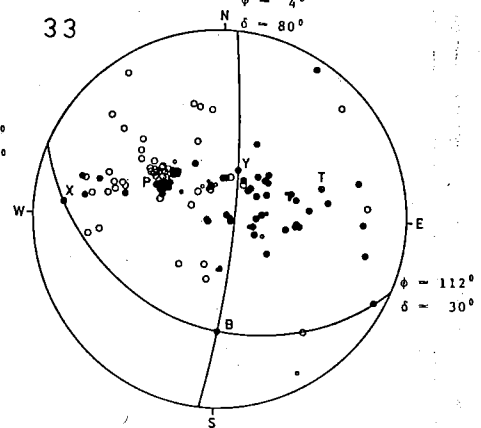
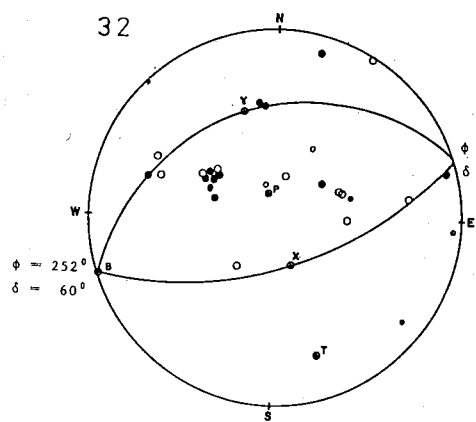
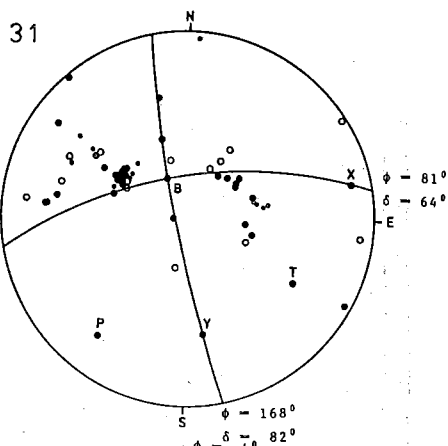
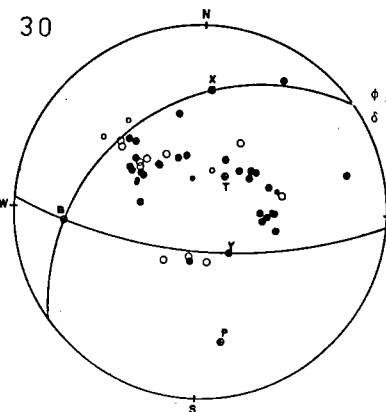
Şekil - 12

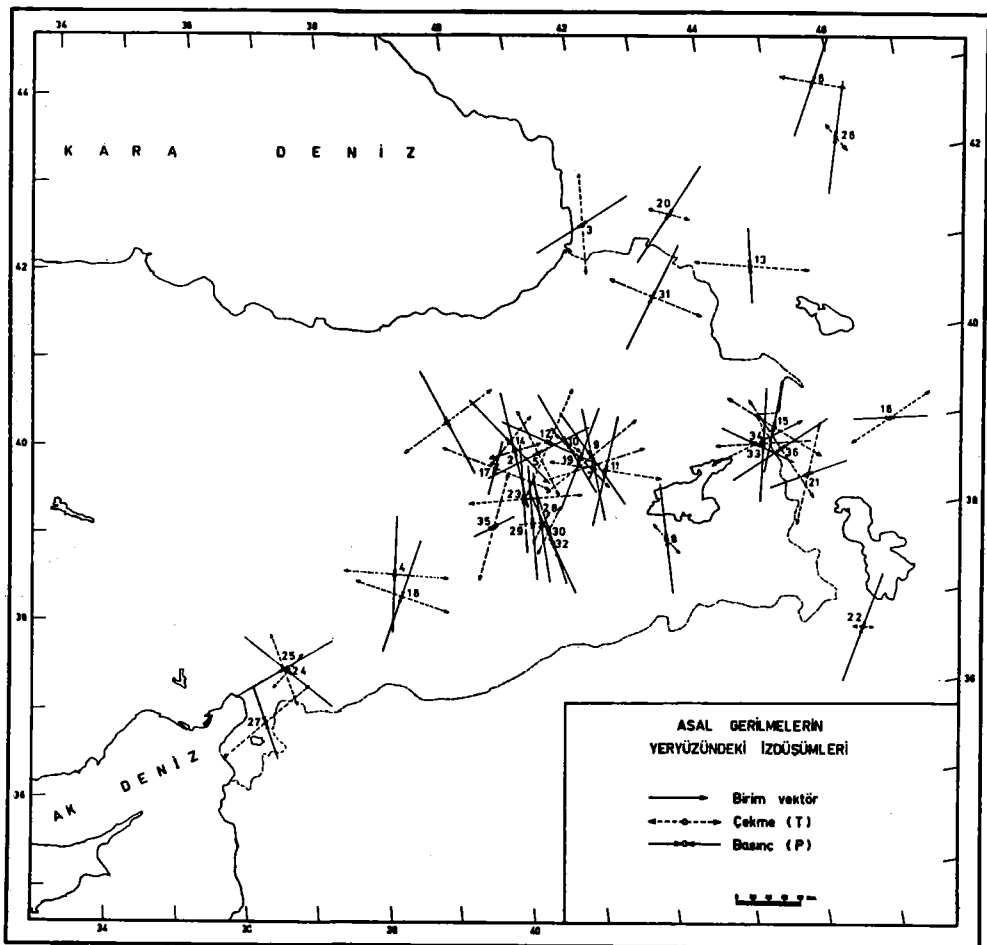


Şekil - 13:

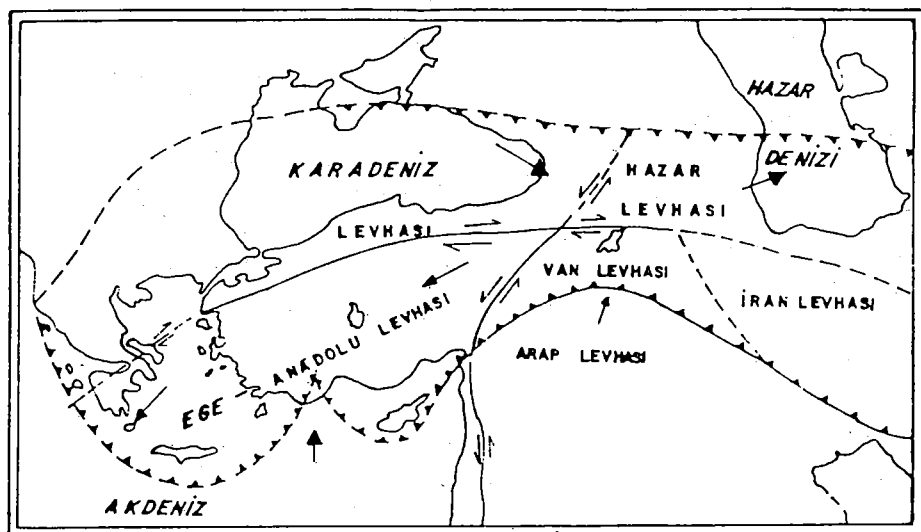








*Şekil - 14*



Şekil - 15

1975-1982 YILLARINA İLİŞKİN BATI ANADOLU DEPREM VERİLERİNİN  
İSTATİSTİKSEL ÇÖZÜMLEMESİ

STATISTICAL ANALYSIS OF EARTHQUAKE DATA OF WESTERN ANATOLIA  
FOR YEARS 1975-1982

Y.Doç.Dr.Hüseyin Tatlıdil\*

Doç.Dr. Hülya Çingi\*

SUMMARY

In this paper, 8129 earthquakes have been classified by computer according to their magnitudes and occurred times as year, season, month, day-night, time period. Then the effects of the occurred time on the earthquakes have been examined.

The relationship between magnitude and frequency of occurrences, the probability density function of magnitudes have been obtained. In this study, at last the largest earthquake of each period have been examined and the return periods of the earthquakes of various magnitudes have been estimated.

ÖZET

Bu çalışmada ilk olarak sekiz yılda gözlenen 8129 deprem verisi, magnitüdlerine ve (yıl, mevsim, ay, gece -gündüz, zaman dilimi gibi) oluş zamanlarına göre bilgisayar kullanılarak sınıflandırılmış, zamanın depremlerin magnitüdleri ile oluş sayıları üzerinde etkili olup olmadığı araştırılmıştır.

Daha sonra depremlerin oluş sıklıkları ile magnitüdleri arasındaki ilişki bulunmuştur. Ayrıca, magnitüd raslantı değişkeninin ve belli zaman dilimlerinde gözlenecek en şiddetli depremlerin olasılık yoğunluk fonksiyonları elde edilmiştir. Çalışmada son olarak, çeşitli magnitüdlerdeki depremlerin geri dönüş süreleri kestirilmiştir.

---

\*Hacettepe Üniversitesi Fen Fakültesi, İstatistik Bölümü Öğretim Üyesi.

## GİRİŞ

Doğal afetlerin en büyüklerinden biri olan depremin, önceden tahmin edilmesi ve zararlarının olabildiğince azaltılması için son yıllarda yoğun çalışmalar yapılmaktadır. Türkiye de dünyanın en etkin deprem kuşaklarından birinin üzerinde bulunmaktadır. Geçmiş yıllarda yurdumuzda birçok büyük deprem pek çok can ve mal kaybına neden olmuştur. Türkiye'de gözlenen depremlerin tümü yer kabuğunu oluşturan ve "levha" adı verilen kitlelerin hareketinden olan "tektonik" depremlerdir (Deprem, 1984).

Depremlerin Ölçümünde ve değerlendirilmesinde bir çok parametre kullanılmaktadır. Bunlardan biri şiddetdir (intensity). Herhangi bir derinlikte olan depremin yeryüzünde hissedildiği bir noktadaki etkisinin ölçüsü olarak tanımlanmaktadır. Bu tanıma göre, bir depremin şiddeti, onun yapılar, doğa ve insanlar üzerindeki etkisinin bir ölçüsü olmaktadır. Bu ölçü ise, öznel (subjektif) bir ölçütür. Bir diğer parametre ise, magnitüd (magnitude) dür. Magnitüd, deprem sırasında açığa çıkan enerjinin bir ölçüsü olarak tanımlanan nesnel (objektif) bir değerdir. Yaygın olarak A.B.D'li bilim adamı Prof. C. Richter tarafından geliştirilen Richter ölçüği ile ölçülmektedir (Yüceman, 1982). Magnitüd, aletsel ve gözlemsel magnitüd olmak üzere iki gruba ayrılır.

- Aletsel Magnitüd : Standart bir sismografla kaydedilen deprem hareketinin çeşitli fonksiyonlarının kullanılması ile yapılan hesaplamalar sonucunda elde edilmektedir. Bu değer hacim ve yüzey dalgalarından bulunmaktadır. Genellikle hacim dalgalarından hesaplanan magnitüdler,  $m$  ile, yüzey dalgalarından hesaplananlar ise,  $M$  ile gösterilmektedir. Her iki magnitüd değerleri birbirine dönüştürülebilmektedir.

- Gözlemsel Magnitüd : Bu değer, gözlem sonucu elde edilen dış merkez (episantr) şiddettinden hesaplanmaktadır. (Deprem, 1984).

Bu çalışmada, depremlerin magnitüdlerinin oluş zamanlarının önceden belirlenmesi çalışmalarına katkıda bulunmak amacıyla, Türkiye'de, Batı Anadolu'da son sekiz yılda kaydedilmiş olan depremlerin istatistiksel bir değerlendirilmesi yapılacaktır. Bu amaçla ilk olarak sırasıyla depremlerin oluş sayısı ve magnitüdlerinin,

- a) Yıllara göre,
- b) Mevsimlere göre,
- c) Aylara göre,
- d) Gece ve gündüze göre,
- e) Zaman dilimlerine göre,

farklılık gösterip göstermediği araştırılacaktır. Ayrıca, depremlerin oluş sayıları ve magnitüdleri kullanılarak, magnitüde bağlı deprem sayılarının belirlenmesinde kullanılan bir model kurulacaktır. Aynı biçimde, magnitüd raslantı değişkeni ile en şiddetli depremlerin olasılık yoğunluk ve dağılım fonksiyonları bulunacaktır. Son olarak çeşitli magnitüdlerdeki depremlerin geri dönüş süreleri (return periods) bulunup tablolâstırılacaktır.

## 2. GENEL BİLGİLER

Çalışmada,  $35^{\circ}$  ile  $42^{\circ}$  kuzey enlemleriyle  $25^{\circ}$  ile  $32^{\circ}$  doğu boylamları arasında kalan Batı Anadolu'da 1975-1982 tarihleri arasında kaydedilen tüm depremler ele alınmaktadır. Bu depremler, Kandilli Rasathanesinden bir grup tarafından derlenerek yayınlanmıştır. (Deprem Araştırması Bültenleri, 1977, 1979, 1980, 1982, 1983, 1984).

Araştırmada verilerin 1975 yılından başlatılmasının başlıca iki nedeni vardır.

1. Kandilli rasathanesi tarafından Batı Anadolu Bölgesinde 1971 yılından itibaren kurulmaya başlayan deprem istasyonlarının 1975 yılında yeterli sayıya ulaşması ile verilerin daha güvenilir duruma gelmesi,

2. Bu tarihten itibaren "International Seismological Center (ISC)" tarafından hazırlanan aylık deprem kataloglarının yayınlanmaya başlamasıdır. Genellikle iki yıl gecikme ile yayınlanan bu kataloglarda, Batı Anadolu'da en az ortalama 2,5 magnitüde kadar oluşan tüm depremler eksiksiz olarak yer almaktadır. Magnitüd değerleri, "United States Department of Interior Geological Survey" (N.S.G.S), tarafından verilen ve P yüzey dalgalarından bulunan M değerlerinin birçok deprem istasyonu tarafından elde edilen magnitüdler ortalaması olup,  $M_B$  ile gösterilmektedir (Üçer, S.B. ve arkadaşları, 1977).

### 3- İSTATİSTİKSEL ÇÖZÜMLEME

Önceki bölümde belirtilmiş olan kaynaklardan, 1975-1982 yıllarında kaydedilen 8129 depremin oluş zamanları ve magnitüdleri kullanılarak aşağıdaki tablo oluşturulmuştur.

TABLO 3.1. 1975-1982 Yıllarında Meydana Gelen Depremlerin Magnitüdlerine Göre Sıklık Dağılımı

<u>Sınıf No</u>	<u>Alt Sınır</u>	<u>Sınıf Değeri (M)</u>	<u>Üst Sınır</u>	<u>Sıklık</u>	
				<u>Sayı</u>	<u>%</u>
1	-	1,0	1,25	27	0,003
2	1.26	1.5	1.75	169	0.021
3	1.76	2.0	2.25	887	0.109
4	2.26	2.5	2.75	2402	0.296
5	2.76	3.0	3.25	2333	0.287
6	3.26	3.5	3.75	1550	0.191
7	3.76	4.0	4.25	594	0.073
8	4.26	4.5	4.75	140	0.017
9	4.76	5.0	5.25	20	
10	5.26	5.5	5.75	4	
11	5.76	6.0	6.25	2	
12	6.26	6.5	6.75	1	
<b>Toplam</b>				<b>8129</b>	<b>1.000</b>

Tablo 3.1'den ortalama magnitüd  $\bar{M}=2,9$  olarak bulunmaktadır. Depremlerden % 90.7'sinin magnitüdleri 3.5 yada daha küçük ( $M \leq 3.5$ ) olup tahlili olmayan türden hafif sallantılar olduğu görülmektedir. Ayrıca depremlerin % 9'unun magnitüdü 4.0 ile 4.5 arasında ( $4.0 \leq M \leq 4.5$ ) ve % 0.3'unun magnitüdü ise 5.0 ya da daha büyük ( $M > 5.0$ ) olup yıkıcı olarak nitelendirilen deprem türünden olduğu söylenilebilir. Tabloda ortalama 1.0, 1.5 ve 2.0 magnitüdli sınıflarda daha az veri bulunması, ISC katologlarının ortalama 2.5 magnitüd alt sınırını esas alması ile ya da küçük magnitüdli depremlerin kaydedilmesinin güç olması ile açıklanabilir.

#### 3.1. Deprem Sayılarının Yıllara Göre İncelenmesi:

Depremler, oluş yıllarına ve magnitüdlerine göre sınıflandırılarak Tablo 3.2 elde edilmiştir.

TABLO 3.2. Depremlerin Magnitüdleri Yönünden Yıllara Dağılımı

Yıllar	M : 1.0	1.5	2.0	2.5	3.0	3.5	4.0	4.5	5.0	5.5	6.0	6.5	Toplam
1975	25	105	117	144	126	166	83	30	4	3	2	1	806
1976	1	29	147	484	581	301	102	25	2	-	-	-	1672
1977	-	-	44	308	325	184	84	26	4	-	-	-	975
1978	1	6	113	288	291	168	68	16	-	-	-	-	951
1979	-	19	263	377	301	215	43	7	5	-	-	-	1230
1980	-	4	81	203	212	154	54	5	3	-	-	-	716
1981	-	5	73	269	228	157	53	16	2	1	-	-	831
1982	-	1	49	302	269	205	107	15	-	-	-	-	948
Toplam	27	167	887	2402	2333	1550	594	140	20	4	2	1	8129

Deprem oluş sayıları ve magnitüdlerinin yıllara göre farklılık gösterip göstermediği nitel veriler için kullanılan khi-kare ( $\chi^2$ ) testinden yararlanılarak araştırılmıştır.

Beşten az sıklıkları olan 1.0, 1.5 ve 2.0 magnitüdünlü sınıflar ile 4.5, 5.0, 5.5, 6.0 ve 6.5 magnitüdünlü sınıflar kendi aralarında birleştirildikten sonra, en farklı yılın 1975 yılı olduğu, daha sonra sırasıyla 1979, 1982, 1977 ve 1981 yılının da farklı olduğu; 1976, 1978 ve 1980 yılları arasında önemli bir farklılık olmadığı sonucuna ulaşılmıştır.

### 3.2. Deprem Sayılarının Mevsimlere Göre İncelenmesi:

Depremlerin meydana geldikleri mevsimler ve magnitüdlere göre sınıflandırılmasından Tablo 3.3 elde edilmiştir.

Depremlerin oluş sayıları ile magnitüdleri yönünden mevsimler arasında farklılık olup olmadığı khi-kare testi ile incelenmiştir. Yine yukarıda açıklanan nedenlerden dolayı, ilk iki ve son beş sütun birleştirilerek 4x7 boyutlu tabloya khi-kare testi uygulanmıştır. Test sonucu sırasıyla, en az deprem gözlemine sahip kişi mevsimi ile en çok deprem gözlemine sahip İlkbahar mevsiminin Yaz ve Sonbahar mevsimlerinden istatistiksel olarak farklı oldukları sonucuna ulaşılmıştır. Gerçekten de Tablo 3.3, incelendiğinde 6.0 ve 6.5 magnitüdünlü depremlerin tümünün İlkbahar mevsiminde olduğu görülmektedir.

### 3.3. Deprem Sayılarının Aylara Göre İncelenmesi:

Depremlerin meydana geldikleri aylar ve magnitüdlerine göre sınıflandırılmasından Tablo 3.4. elde edilmiştir.

Kesim 3.2'de deprem sayıları ile magnitüdlerinin mevsimlere göre farklılık gösterdiği bulunmuştur. Bu farklılığın hangi aylardan kaynaklandığının araştırılmasından da yukarıdaki sonucu doğrulayıcı bir sonuca ulaşılması beklenir. Nitekim Tablo 3.2'deki gibi sınıf birleştirmeleri yapıldıktan sonra 12x7 boyutlu tabloya uygulanan khi-kare testi sonuçlarına göre sırasıyla, Mart, Haziran, Ağustos, Nisan, Şubat, Aralık ve Kasım aylarının farklı olduğu, Ocak, Mayıs, Temmuz, Eylül ve Ekim ayları arasında önemli bir farklılık olmadığı sonucuna ulaşılmıştır.

TABLO 3.3. Depremlerin Magnitüdleri Yönünden Mevsimlere Dağılımı

Mevsimler M : 1.0	1.5	2.0	2.5	3.0	3.5	4.0	4.5	5.0	5.5	6.0	6.5	Toplam
İlkbahar	14	66	260	711	684	425	191	41	5	1	2	1 2401
Yaz	4	35	174	611	597	443	142	40	5	-	-	2051
Sonbahar	7	35	204	590	591	381	130	23	7	2	-	1970
<b>KıS</b>	<b>2</b>	<b>33</b>	<b>249</b>	<b>490</b>	<b>461</b>	<b>301</b>	<b>131</b>	<b>36</b>	<b>3</b>	<b>1</b>	<b>-</b>	<b>1707</b>
<b>Toplam</b>	<b>27</b>	<b>169</b>	<b>887</b>	<b>2402</b>	<b>2333</b>	<b>1550</b>	<b>594</b>	<b>140</b>	<b>20</b>	<b>4</b>	<b>2</b>	<b>1 8129</b>

TABLO 3.4. Depremlerin Magnitüdleri Yönünden Aylara Dağılımı

Aylar M : 1.0	1.5	2.0	2.5	3.0	3.5	4.0	4.5	5.0	5.5	6.0	6.5	Toplam
Ocak	2	14	6.9	155	149	93	39	13	2	-	-	536
Şubat	-	12	98	169	170	110	49	13	-	-	-	621
Mart	4	40	96	225	201	121	56	16	2	1	1	764
Nisan	2	14	67	184	149	138	61	9	1	-	-	626
Mayıs	8	12	97	302	334	166	74	16	2	-	-	1011
Haziran	1	13	56	225	232	194	58	22	4	-	-	805
Temmuz	2	18	81	222	193	116	41	8	1	-	-	682
Agustos	1	4	37	164	172	113	43	10	-	-	-	564
Eylül	2	9	64	220	217	129	46	5	1	1	-	694
Ekim	-	10	58	191	196	137	38	6	3	-	-	639
Kasım	5	16	82	179	178	115	46	12	3	1	-	637
Aralık	-	7	82	166	142	98	43	10	1	1	-	550
<b>Toplam</b>	<b>27</b>	<b>169</b>	<b>887</b>	<b>2402</b>	<b>2333</b>	<b>1550</b>	<b>594</b>	<b>140</b>	<b>20</b>	<b>4</b>	<b>2</b>	<b>1 8129</b>

### 3.4. Deprem Sayılarının Oluş Zamanına Göre İncelenmesi:

Depremlerin oluş zamanı (gece-gündüz) ve magnitüdlerine göre sınıflandırılması Tablo 3.5`de verilmektedir.

Deprem magnitüdleri ve oluş sayıları üzerinde oluş zamanının (gece-gündüz) etkili olup olmadığı khi-kare testi ile incelenmiştir. Gerekli birleştirmelerden sonra  $2 \times 9$  boyutlu tabloya uygulanan test sonucunda gece-gündüz ayrimının önemli olmadığı sonucuna ulaşılmıştır.

### 3.5. Deprem Sayılarının Zaman Dilimlerine Göre İncelenmesi:

Depremlerin oluş zamanları 0:01-6:00; 6:01-12:00; 12:01-18:00; 18:01-24:00 saatleri biçiminde gruplandırılarak, oluş sayıları ve magnitüdlerinden aşağıdaki Tablo 3.6 elde edilmiştir.

Depremlerin oluş sayıları ve magnitüdleri yönünden zaman dilimleri arasındaki farklılığın önemli olmadığı  $4 \times 8$  boyutlu tabloya khi-kare testi uygulanarak bulunmuştur. Ancak her ne kadar zaman dilimleri arasındaki farklılık istatistiksel olarak önemli bulunamamış ise de 6.0 magnitüdü iki ve 6.5 magnitüdü bir depremin tümünün 0:01-6:00 saatleri arasında gözlenmiş olması dikkat çekicidir.

## 4. MODEL KURMA ÇALIŞMALARI

Bu bölümde önce deprem (tekrar) sayıları ile magnitüdler arasındaki ilişki araştırılacak, daha sonra sırasıyla deprem raslantı değişkeninin ve en şiddetli depremlerin yoğunluk fonksiyonları bulunacaktır. Son olarak ise, çeşitli magnitüdlerdeki depremlerin tekrarlanma süreleri (return periods) kestirilecektir.

### 4.1. Deprem Sayıları ile Magnitüdler Arasındaki İlişki:

Deprem (tekrar) sayıları ile magnitüdler arasındaki ilişki Gutenberg ve Richter tarafından,

$$\log_{10} N = b_0 + b_1 M \quad (4-1)$$

biriminde verilmiştir. Burada  $N$  tekrar sayısını,  $M$  de magnitüd göstermektedir. Pek çok araştırmacı bu ilişkiden yararlanarak çeşitli ülkeler için bağıntılar bulmuşlardır. Örneğin Milne ve Davenport Batı Kanada'ya ilişkin 10 yıllık verilerden,

TABLO 3.5. Depremlerin Magnitüdleri Yönünden Gece ve Gündüze Dağılımı

Zaman	M : 1.0	1.5	2.0	2.5	3.0	3.5	4.0	4.5	5.0	5.5	6.0	6.5	Toplam
Gece	18	91	478	1232	1267	827	308	75	7	2	2	1	4308
Gündüz	9	78	409	1170	1066	723	286	65	13	2	-	-	3821
Toplam	27	169	887	2402	2333	1550	594	140	20	4	2	1	8129

TABLO 3.6. Depremlerin Magnitüdleri Yönünden Zaman Dilimlerine Dağılımı

Zaman Dilimleri	M : 1.0	1.5	2.0	2.5	3.0	3.5	4.0	4.5	5.0	5.5	6.0	6.5	Toplam
0:01-6:00	9	48	236	591	606	406	148	38	6	2	2	1	2093
6:01-12:00	5	36	205	597	519	353	135	33	7	1	-	-	1891
12:01-18:00	4	42	204	573	547	370	151	32	6	1	-	-	1930
18:01-24:00	9	43	242	641	661	421	160	37	1	-	-	-	2215
Toplam	27	169	887	2402	2333	1550	594	140	20	4	2	1	8129

$$\log_{10} N = 4.10 - 0.67M \quad (4-2)$$

bağıntısını elde etmiştir. Bulunan tüm bağıntılarda regresyon katsayısı (ya da eğim) olarak adlandırılan  $b_1$  katsayısının 0.65 ile 1.40 aralığında olduğu görülmüştür. (Ramachandran, 1980), Ayrıca Ayhan E. ve Sancaklı N yaptıkları çalışmada N, depremi kaydeden istasyon sayısı ve M, magnitüd değeri olmak üzere 1971-1975 yıllarındaki Batı Türkiye deprem verilerinden, bu değişkenler arasındaki ilişkiye,

$$M = 2.608 + 1.070 \text{ Log}N \quad (4-3)$$

biçiminde bulmuşlardır (Deprem Araştırma Bületeni, 42, 61 1983).

Bu kesimde, 1975-1982 yıllarına ilişkin veriler kullanılarak tekrar sayıları ile magnitüdler arasında (4-1) deki ilişkiye benzer bir model bulunacaktır. Bu amaçla ilkin, Tablo 3.1'deki sınıflandırılmış verilerden yararlanılarak tekrar sayısı Y ( $=\log_{10} N$ ) ile M magnitüd değişkenleri arasındaki ilişki modellenmeye çalışılmıştır.

Önce 12 sınıf için polinomial (2. derece), doğrusal ve logaritmik kalıplar denenmiş ancak kurulan modellerin tutarsız olduğu görülmüştür. Benzer biçimde, yine 12 sınıf için  $Y=N$  alınarak polinomial (5.derece), doğrusal, logaritmik, üstel, geometrik kalıplar denenmiş ancak yine tutarlı bir modele ulaşamamıştır (Tablo 4.1).

İkinci olarak, ISC katologlarının ortalama 2.5 magnitüd alt sınır değerini esas almış olması ve yararlandığımız verilerin asıl kaynağının da ISC katologları olması nedeniyle Tablo 3.1'deki 1.0, 1.5, 2.0 ortalama magnitüdü ilk üç sınıf işlem dışı bırakılarak, 9 sınıf için  $Y=\log_{10} N$  ve  $Y=N$  değişkenleri ile M değişkeni arasındaki ilişki yukarıdaki kalıplara denenmiştir. Bu modellerin yine tutarsız olduğu görülmüştür (Tablo 4.1).

Son olarak, dağılımin tepe noktası olan 2,5 ortalama magnitüdü sınıfda işlem dışı bırakılarak, önce 8 sınıf için  $Y=\log_{10} N$  ile M değişkenleri arasındaki ilişki doğrusal ve logaritmik kalıplara denenmiştir. Sonuç olarak bu iki modelinde tutarlı olduğu görülmüştür (Tablo 4.1). Daha sonra,  $Y=N$  alınarak polinomial (2.derece), doğrusal, logaritmik, üstel ve geometrik kalıplar denenmiştir. Bu modellerden, üstel modelin tutarlı, ötekilerin tutarsız olduğu görülmüştür.

TABLO 4.1. Y ve M Değişkenleri Arasında Denenen Çeşitli Modeller ve Tutarlılık Göstergeleri

S.Sayı	Y	Model	F.Değeri	R <sup>2</sup> .Değeri	AKT=Σ (Ŷ <sub>i</sub> -Y <sub>i</sub> ) <sup>2</sup>	Model ve Tutarlılığı
12	Log <sub>10</sub> N	2.Derece Polinom Ŷ=b <sub>0</sub> +b <sub>1</sub> X+b <sub>2</sub> X <sup>2</sup>	41.047	0.90	1.6	Ŷ=0.2982+1.8209X-0.3024X <sup>2</sup> TUTARSIZ
12	Log <sub>10</sub> N	Doğrusal Ŷ=b <sub>0</sub> +b <sub>1</sub> X	7.7372	0.44	9.3	Ŷ=3.65-0.447X TUTARSIZ
12	Log <sub>10</sub> N	Logaritmik Ŷ=b <sub>0</sub> +b <sub>1</sub> logX	2.66	0.21	13.0	Ŷ=3.106-0.96 logX TUTARSIZ
12	N	5.Derece Polinom Ŷ=b <sub>0</sub> +b <sub>1</sub> X+...+b <sub>5</sub> X <sup>5</sup>	20.13	0.94	522996.6	Ŷ=11022.8-25009X+19443.1X <sup>4</sup> + 6317.7X <sup>3</sup> +905.4X <sup>4</sup> -47.5X <sup>5</sup> TUTARSIZ
12	N	Doğrusal Ŷ=b <sub>0</sub> +b <sub>1</sub> X	1.6	0.14	7983233.9	Ŷ=1396.341-191.7X TUTARSIZ
12	N	Logaritmik Ŷ=b <sub>0</sub> +b <sub>1</sub> logX	0.41	0.04	8931023.8	Ŷ=1047.1-311.6 logX TUTARSIZ
12	N	Üstel Ŷ=b <sub>0</sub> e <sup>b<sub>1</sub>X</sup>	7.7	0.44	49.0	Ŷ=4471.9e <sup>1.03X</sup> TUTARSIZ
12	N	Geometrik Ŷ=b <sub>0</sub> X <sup>b<sub>1</sub></sup>	2.6564	0.21	68.7	Ŷ=1276.9X <sup>2.2</sup> TUTARSIZ

TABLO 4.1. (Devam) Y ve M Değişkenleri Arasında Denenen Çeşitli Modeller ve Tutarlılık Göstergeleri

S.sıv	Y	Model	F.Değeri	R <sup>2</sup> .Değeri	AKT= $\Sigma (\hat{Y}_i - Y_i)^2$	Model ve Tutarlılığı
9	$\log_{10} N$	Doğrusal $\hat{Y} = b_0 + b_1 X$	150.76	0.96	0.7	$\hat{Y} = 6.3 - 0.979X$ TUTARSIZ
9	$\log_{10} N$	Logaritmik $\hat{Y} = b_0 + b_1 \log X$	65.7	0.90	1.4	$\hat{Y} = 7.773 - 4.031 \log X$ TUTARSIZ
9	N	2.Derece Polinom 58 $\hat{Y} = b_0 + b_1 X + b_2 X^2$	58	0.95	416612.9	$\hat{Y} = 8484.98 - 2933.57X - 250.9X^2$ TUTARSIZ
9	N	Doğrusal $\hat{Y} = b_0 + b_1 X$	29.4	0.81	1628462.1	$\hat{Y} = 3822.4 - 675.4X$ TUTARSIZ
9	N	Logaritmik $\hat{Y} = b_0 + b_1 \log X$	51.16	0.88	1019549.3	$\hat{Y} = 5134.2 - 2981.3 \log X$ TUTARSIZ
9	N	Üstel $\hat{Y} = b_0 e^{b_1 X}$	150.9	0.96	3.5	$\hat{Y} = 2003132e^{-2.254X}$ TUTARSIZ
9	N	Geometrik $\hat{Y} = b_0 X^{b_1}$	65.7	0.90	7.7	$\hat{Y} = 5944664X^{-9.243}$ TUTARSIZ

TABLO 4.1. (Devam)  $Y$  ve  $M$  Değişkenleri Arasında Denenen Çeşitli Modeller ve Tutarlılık Göstergeleri

S.Say	Y	Model	F. Değeri	$R^2$ .Değeri	$AKT = \sum (\hat{Y}_i - Y_i)^2$	Model ve Tutarlılığı
8	$\log_{10} N$	Doğrusal $\hat{Y} = b_0 + b_1 X$	239.75	0.98	0.31	$\hat{Y} = 6.8427 - 1.081X$ <u>TUTARLI</u>
8	$\log_{10} N$	Logaritmik $\hat{Y} = b_0 + b_1 \log X$	137.1	0.96	0.53	$\hat{Y} = 9.158 - 4.876 \log X$ <u>TUTARLI</u>
8	N	2.Derece Polinom $\hat{Y} = b_0 + b_1 X + b_2 X^2$	112.4	0.98	120155.6	$\hat{Y} = 11254.8 - 4077.8X - 364.2X^2$ <u>TUTARSIZ</u>
8	N	Doğrusal $\hat{Y} = b_0 + b_1 X$	15.9	0.73	1512819.9	$\hat{Y} = 3515.8 - 617.9X$ <u>TUTARSIZ</u>
8	N	Logaritmik $\hat{Y} = b_0 + b_1 \log X$	26.5	0.81	1019548.9	$\hat{Y} = 5135.1 - 2981.8 \log X$ <u>TUTARSIZ</u>
8	N	Üstel $\hat{Y} = b_0 e^{b_1 X}$	239.74	0.98	1.63	$\hat{Y} = 6962971.097 e^{-2.488X}$ <u>TUTARLI</u>
8	N	Geometrik $\hat{Y} = b_0 X^b_1$	137	0.96	2.76	$\hat{Y} = 143765677.28 X^{-11.227}$ <u>TUTARSIZ</u>

Tutarlılık ölçütü olarak  $F$ ,  $R^2$ , AKT (ayrılış değerleri kareler toplamı) ve  $Y_i$  (beklenen değerler) gibi dört gösterge göz önüne alınmıştır. (Draper ve Smith, 1981).

Tablo 4.1'de tutarlı bulunan modeller ve çeşitli göstergeler dikkatle incelenecek olursa,  $R^2$ ,  $F$  ve AKT değerleri nedeniyle doğrusal model ya da üstel modelin seçilmesi gerektiği düşünülebilir. Ancak bu iki model birbirinin aynıdır çünkü üstel model logaritma kullanılarak doğrusal biçimde dönüştürülebilmektedir. Sonuç olarak bu verilerin kullanımından elde edilen en iyi model,

$$\log_{10} \hat{N} = 6.8427 - 1.081 M \quad (4-4)$$

biriminde doğrusal model olarak belirlenmiştir. Ancak,  $F$ ,  $R^2$  ve AKT gibi tutarlılık göstergelerinin çok uygun değerler bulunmasına karşın,  $\hat{Y}_i$ , beklenen sıkılık değerlerinin pek uygun değerler olmadığı görülmüştür. Bu durumun verilerin yapısından kaynaklandığı söylenebilir.

Burada elde edilen model, diğer ülkeler için bulunmuş modellere de oldukça yakındır. Ayrıca  $b_1$  değerleri 0.65 ile 1.40 sınırları arasındadır.

#### 4.2. Magnitüd Raslantı Değişkeninin ve En Şiddetli Depremlerin Dağılım Fonksiyonlarının Belirlenmesi:

Bilindiği gibi magnitüd,  $\theta$  alt sınırlı ve kuramsal olarak üst sınırı olmayan sürekli bir raslantı değişkeni olarak tanımlanmaktadır. Burada  $\theta$ , ölçülebilen en küçük deprem magnitüdüdür.  $M$ , çok sayıda deprem verisinden elde edilen ortalama magnitüd,  $\mu = (\bar{M} - \theta)^{-1}$  olmak üzere, magnitüd raslantı değişkeninin yoğunluk fonksiyonu,

$$f(M) = \mu e^{-\mu(M-\theta)} \quad \theta \leq M < \infty \quad (4-5)$$

biriminde bir üstel fonksiyondur (Ramachandran, 1980).

Gözlenen veriler kullanılarak (4-5) bağıntısını elde etmek için üçüncü bölümde olduğu gibi ilk dört sınıf işlem dışı bırakılmıştır. Bu durumda  $M=3.0$  olan sınıf magnitüdü en küçük sınıf olduğu için  $\theta = 3.0$  alınmış ve işleme katılan 4644

gözlem değerinden  $\bar{M} = 3,3528$  bulunmuştur. Bu değerler yardımıyla da  $\mu = 2,8345$  elde edilir. Bulunan parametrelerden ise, (4-5) bağıntısı,

$$f(M) = \mu e^{-\mu(M-\theta)} = 2,8345 e^{-2,8345(M-3,0)} \quad 3.0 \leq M \leq \infty \quad (4-6)$$

biçiminde bulunmuştur. Ayrıca yoğunluk fonksiyonu kullanarak  $M$  raslantı değişkeninin dağılım fonksiyonu da,

$$F(M) = \int_{R_M}^M \mu e^{-\mu(M-\theta)} dM = -e^{-\mu(M-\theta)} \quad (4-7)$$

olarak bulunur.

Aşağıdaki Tablo 4.2'de gözlenen 4644 verinin, gözlenen ve (4-7) bağıntısından elde edilen beklenen dağılımları bulunmaktadır.

Tablodaki beklenen birikimli olasılıklar (4-7) fonksiyonunun  $\theta = 3.0$  alt sınır değeri ile her sınıfın üst sınır değerleri arasında integralenmesinden elde edilmiştir.

Tablo 4.2 den magnitüdleri 3 ya da daha çok olan 4644 gözlem değerinin kuramsal üstel dağılıma uygunluğu açıkça görülmektedir. Bu uygunluk magnitüdü 5 ya da daha büyük olan ve yıkıcı olarak ifade edilen depremler için % 99.98 gibi çok büyük bir değerdir. Bu durumda örneğin, bir sonraki yıl olması beklenen (magnitüdü 3 ya da daha büyük) ortalama 580 depremden dört tane-sinin magnitüdünün 5 ya da daha büyük olacağı söylenebilir. Ayrıca, yine tablodan bir sonraki yıl magnitüdü 7 ya da daha büyük bir depremin olması olasılığının da sıfır yakını olduğu söylenebilir.

Aynı biçimde, her birinde ortalama  $n$  tane depremin gözlen-diği zaman dilimleri (yıl) düşünülecek olursa,  $M_{(1)}$  incelenen zaman diliminde gözlenen (ya da gözlenecek) en şiddeteli depremin magnitüdünü göstermek üzere,  $M_{(1)}$  raslantı değişkeninin olasılık yoğunluk ve dağılım fonksiyonlarını bulmak olasıdır (Ramaçhan'dan, 1980). Bulunacak fonksiyonlar yine üstel dağılım türüdür ve aşağıdaki gibi bulunur.

$$f(M_{(1)}) = e^{-M} (1)^{-e^{-M}(1)} \quad 0 < M_{(1)} < +\infty \quad (4-8)$$

$$F(M_{(1)}) = e^{-e^{-M}(1)} \quad (4-9)$$

Bulunan dağılıma "Gumbel'in Birinci Tür Asimptotik En Büyük Değer Dağılımı" adı verilir (Gumbel, 1958).

Yukarıdaki (4-8) nolu bağıntı kullanılarak, gelecek (yıl) zaman diliminde gözlenecek en şiddetli depremin magnitüdünün 5 den büyük olması olasılığının 0.0067, 6.5 dan büyük olması olasılığının ise 0.0015 olduğu söylenebilir.

#### 4.3. Çeşitli Magnitüdlerdeki Depremlerin Tekrarlanmış Sürelerinin Kestirimi:

Bu bölümde son olarak Tablo 4.2'nin değerlerinden yararlanılarak çeşitli magnitüdlerdeki depremlerin tekrarlanması ya da olası geri dönüş (return periods) süreleri bulunmuştur. Bunun için tablodaki beklenen birikimli olasılıklardan,  $M$  magnitüdü depremin meydana gelme olasılıkları, yıllık beklenen sayıları ve bunlara ilişkin tekrarlanma süreleri bulunarak aşağıdaki Tablo 4.3' de gösterilmiştir.

Aşağıdaki tabloda üçüncü sütun, çeşitli magnitüdlerdeki depremlerin meydana gelme olasılıklarıdır. Dördüncü sütun ise üçüncü sütundaki olasılık değerlerinin 580 (yıllık ortalama gözlenen 3 ya da daha büyük magnitüdü deprem sayısı) ile çarpılması ile bulunmuş yıllık beklenen deprem sayılarını göstermektedir. Son iki sütun ise çeşitli magnitüdlerdeki depremlerin yıl ve gün cinsinden tekrarlanma sürelerini göstermektedir. Tekrarlanma süreleri için 1980 yılında Ramachandran tarafından bir çalışma yapılmıştır. Bu çalışmada,  $n_0$  yıllık ortalama deprem sayısı,

$$n_M = e^{\mu(M-\theta)}, \quad \alpha(1) = \mu \text{ iken,}$$

$$\left( \frac{n_M}{n_0} \right) \left| 1 - e^{-\theta - \alpha(1)} \right|^{-1} = \left( \frac{n_M}{n_0} \right) \left| 1 - \Phi(M) \right|^{-1} \quad (4-10)$$

TABLO 4.2. Deneysel ve Kuramsal Dağılıma İlişkin Değerler

M	f	%	F( $M \leq x$ )	Birikimli Olasılıklar	Fark Değerleri
			Gözlenen	Beklenen	
3.0	2333	0.5024	0.5024	0.5077	0.0053
3.5	1550	0.3338	0.8362	0.8807	0.0445
4.0	594	0.1279	0.9641	0.9711	0.0070
4.5	140	0.0301	0.9942	0.9930	0.0012
5.0	20	0.0043	0.9985	0.9983	0.0002
5.5	4	0.0009	0.9994	0.9996	0.0002
6.0	2	0.0004	0.9998	0.9999	0.0001
6.5	1	0.0002	1.0000	1.0000	0.0000

TABLO 4.3. Çeşitli Magnitüdlerdeki Depremlere İlişkin Bilgiler

M	F( $M \leq x$ )	f( $M=x$ )	$f_i$ (Yıllık Beklenen Sıklık)	Tekrarlanma Yıl	Süresi Gün
3.0	0.5077	0.5077	294.466	0.0034	1.2395
3.5	0.8807	0.3730	216.340	0.0046	1.6872
4.0	0.9711	0.0904	52.432	0.0191	6.9614
4.5	0.9930	0.0219	12.702	0.0787	28.7356
5.0	0.9983	0.0053	3.074	0.3253	118.7378
5.5	0.9996	0.0013	0.754	1.3262	484.0849
6.0	0.9999	0.0003	0.174	5.7471	2097.7011
6.5	1.0000	0.0001	0.058	17.2414	6293.1034
		1.0000	580.000		

eşitliği kullanılarak Kanadanın çeşitli magnitudlerdeki depremlerin tekrarlanma süreleri bulunmuştur. Bu çalışmada kullanılan verilerle, aynı yoldan, çeşitli magnitudlerdeki depremelerin tekrarlanma süreleri araştırılmış ancak tutarlı sonuçlar elde edilememiştir.

Kurulan modelin uygun olup olmadığını ve dolayısıyla elde edilen sonuçların güvenilir olup olmadığını sınamak amacıyla yıllık ortalama 580 gözlem için deneysel dağılımin kuramsal üstel dağılıma uygunluğu Kolmogorov-Smirnov uyum iyiliği testi ile araştırılmıştır. Tablo 4.2'deki gözlenen ve beklenen birikimli olasılıklar arasındaki en büyük fark değeri 3.5 magnitudlu sınıfa karşılık gelen 0.0445 değeridir. Bu değer  $\alpha=0.05$  için

$$\frac{1.30}{(580)^{1/2}} = 0.056 \text{ ve } \alpha = 0.01 \text{ için } \frac{1.63}{(580)^{1/2}} = 0.068 \text{ ölçüt değer}$$

lerinin her ikisinden de küçük olduğu için deneysel dağılımin üstel dağılıma uyduğu biçimindeki hipotez kabul edilmiştir. (Conover, 1980).

## 5-SONUÇ

Bu çalışmada, Batı Anadolu Bölgesinde 1975-1982 yılında kaydedilmiş 8129 deprem verisinin çeşitli istatistiksel teknikler kullanılarak çözümlemesi yapılmıştır.

İlk olarak, deprem sayısı ve magnitudlerinin yıllara, mevsimlere aylara, gece-gündüz farkına ve zaman dilimlerine göre farklılık gösterip göstermediği araştırılmıştır. Sonuç olarak yıllara, mevsimlere, aylara göre farklılık gösterdiği bulunmuştur. Ancak bu farklılığın nedenleri ve kaynakları konusunda herhangi bir görüş ileri sürülmeyerek, yorumu konunun uzmanlarına bırakılmıştır.

Çalışmada daha sonra, deprem magnitudleri ile oluş sayıları arasındaki ilişki modellenmeye çalışılmış ve pek çok dene meden sonra  $M > 3.0$  için doğrusal modelin en uygun model olduğunu karar verilmiştir. Aynı biçimde magnitud raslantı değişkeninin de  $M > 3.0$  bölgesi için üstel dağılıma uyduğu, en şiddetli depremlerin de yine üstel dağılım ailesinden Gumbel ya da çift üstel dağılıma uyduğu bulunmuştur.

Çalışmada son olarak çeşitli magnitüdlerdeki depremlerin yıllık beklenen sıklıklarından, bu depremlerin tekrarlanma süreleri elde edilmiştir.

Genel olarak bu çalışmanın amacı, giriş bölümünde de belirtildiği gibi deprem verilerinin yorumunda istatistiksel tekniklerden yararlanmaktır. Burada yapılan çalışmalar deneme niteliğinde olup, sonuçların doğru ya da yanlışlığı büyük oranda verilerin güvenilir olup olmadığına bağlıdır.

#### KAYNAKLAR

- 1- Ayhan,E.ve N. Sancaklı (1983): 1971-1975 Yıllarında Batı Türkiye Deprem Etkinliği, Deprem Araştırma Enstitüsü Bülteni, Sayı 42, Ankara
- 2- Conover,W.J. (1980): Practical Nonparametric Statistics, John Wiley and Sons. Inc. New York.
- 3- Deprem (1984): Bayındırılık ve İskan Bakanlığı, Yapı Malzemesi ve Deprem Araştırma Genel Müdürlüğü Yayıni, Ankara.
- 4- Draper,N.R.ve H. Smith(1981): Applied Regression Analysis, John Wiley and Sons, Inc. New York.
- 5- Gumbel, E.J.(1958): Statistics of Extremes, Columbia University Press, New York.
- 6- Ramachandran, G.(1980): Transactions of the 21<sup>st</sup> International Congress of Actuaries, Switzerland, June 1980, Vol 1,337-353
- 7- Üçer, S.B. ve Arkadaşları (1977, 1979, 1980, 1982, 1983, 1984): Batı Türkiye`de Deprem Etkinliği, Deprem Araştırma Enstitüsü Bülteni. Sayılar: 19, 27, 29, 30, 31, 36, 41, 44. Ankara.
- 8- Yüceman, S.(1982): Sismik Risk Analizi, O.D.T.Ü, İdari İlimler Fakültesi Yayın No: 41, Ankara.

Deprem Hasarı Üzerine Yerel Zemin Koşullarının Etkisi  
 (The Effect of Local Soil Conditions Upon Earthquake Damage)  
 (Y.OHSAKI)

Çev. Zeki HASGOR  
 Y.Doç.Dr. (İ.T.O.)

Yazar ve Çeviri Konusunda

ÜNSÖZ

Yorihiko Ohsaki bugün emekli bir Profesör olarak, Japonyanın büyük inşaat şirketlerinden olan, aynı zamanda bünyesinde önemli araştırmaların yapıldığı Shimuzu Yapım Şirketinde çalışmaktadır.

Kendisi Tokyo Üniversitesi'nden mezun olduktan sonra A.B.D. ye Northwestern Üniversitesine lisans sonrası öğretim için gitti. Master öğrenimini adı geçen üniversitede yaptıkları sonra Japonya'ya döndü. 1958 de Tokyo Üniversitesinden mühendislik dalında Doktor ünvanı aldı.

Tokyo Üniversitesinde, Uluslararası Sismoloji Deprem Mühendisliği Enstitüsü'de (IISEE) yıllarca Zemin Dinamiği, Temel İnşaatı, Deprem Mühendisliği dalında dersler verdi. Japon hükümetinin kurduğu Bilim ve Teknoloji Ajansının Nükleer Reaktörlerde Güvenirlik Araştırması Komitesinde yer aldı.

Ohsaki, elimizdeki, çevirisi yapılan raporu hazırladığında Tokyo'daki Bina Araştırma Enstitüsünde Yapı Bölümü başkanı idi. Kendisi, "Yapı Yönetmelikleri" , "Yapı Standartları" , "Zemin Dinamiği" , "Temel Mühendisliği" , "Deprem Karşılık Spektrumları" , "Deprem Riski" ve "Benzetilmiş Deprem İvmeleri" alanlarında çok sayıda yayına sahiptir.

Zemin koşullarının deprem hasarı üzerinde etkilerini, Japonya'daki büyük bilgi birikimi, edinilen deneyimler ve son olarak teori ve pratiğin ışığında birlikte göz önüne alarak inceleyen, bu konuda günümüze kadar önemini ve değerini koruyan elinizdeki bilimsel tebliği Dr. Ohsaki Meksika'da 1969 daki Uluslararası Zemin Mekaniği ve Temel İnşaatı Konferansında sundu. Çeviri için izin, kendisinin de katıldığı 7. Dünya Deprem Koferansı sırasında, Eylül 1980 de alınmıştır. Öğrencisi olarak IISEE'de derslerini büyük bir zeykle izlediğim, Dr. Ohsaki'ye bu izni için teşekkür eder, gerek deprem mühendisliği ve zemin dinamiği alanlarında lisansüstü çalışması yapacaklara gerekse mezun mühendislerimize bu küçük çevirinin yararlı olmasını dilerim.

**Özet:**

Depremlerin zararları üzerine yerel zemin koşullarının etkilerine ait en son durumu değerlendiren bu makalede, konuya ilişkin deneyim ve kuramlar, kuramsal bakış açısından deneylerin açıklanması ve bazı tasarım önerileri özetlenmiş olmaktadır. Deprem zararlarına bağlı olarak çok büyük önemdeki çeşitli etmenler şöyle belirtilebilir:

- (1) Deprem hareketinin zemin tabakaları tarafından yükseltgenmesi
- (2) Zeminlerin ve yapıların rezonansı
- (3) Titreşim enerjisinin dağıtılması
- (4) Birbirini izleyen göçmeler
- (5) Farklı oturmalar

Zemin koşullarına göre bu etmenlerden bazıları yararlı yönde etkiler olarak işlerken bazıları da onun tersini yaparlar. Birleşik etkimeleri oldukça karmaşık bir durumu belirlemektedir. Böylesine karmaşık ve yaşamsal gereklikteki sorunun çözümü genis kapsamlı sonuca ulaşmak için uygun zemin ve yapı sisteminin oluşturulması ve çözülmesi gereklidir.

**I. Ünsöz**

Her yapının zemin üzerinde mesnetlenmiş oluşu ve deprem dalgalarının zeminden yapıya doğru dağılmasıyla yapılara, depremler tarafından verilen zararın zemin koşulları tarafından etkilenmesi oldukça doğaldır.

Japonya eski çağlardan başlayarak çok sık bir şekilde depremlerin saldırısına uğramış, keza bu ülkede yine eski çağlardan beri yerel zemin koşullarının deprem zararı üzerinde bağımlılığının bilincinde olan kişiler varolmuştur. Yazarın bilgisine göre ilk belgesel kayıt 18. yüzyılın başlarına rastlamaktadır. Deprem zararı ve zemin koşulları arasındaki ilişki bununla birlikte ilk kez Tokyo ve çevresini yıkan 1923 Kanto depremi sırasında modern yapı mühendisliği yönünden göze çarpmıştır.

Kanto depreminden sonra, yıkıcı depremler Japonya'ya etki etmeye devam ederken bir yanda yapılara zarar vermişler, diğer yanda çok değerli veriler sağlamışlardır. Bu makalede kuramsal ve uygulayım açısından deprem zararları üzerinde yerel

zemin koşullarının etkilerine ilişkin bilginin özetlenmesine girişilmiş olmaktadır. Tasarım uygulamasına ilişkin konulara ayrıca değinilecektir.

Son yirmibeş yıldaki önemli depremler Tablo 1.1 de listelenmiş ve bunlar bu makalede söz konusu edilmişlerdir.

Tablo. 1.1 1923-1968 yılları arası önemli depremlerin listesi

<u>Deprem</u>	<u>Oluşum yılı</u>	<u>Manyitüd (Richter)</u>	<u>Çöken bina sayısı</u>
Kanto	1923	7.9	128266
Sanriku-Oki	1933	8.5	17907
Tottori	1943	7.3	7485
Tonankai	1944	8.3	26130
Nankaido	1946	8.1	11591
Fukui	1948	7.2	35420
Niigata	1964	7.5	1960
Matsushiro	1966	5.1	-
Ebino	1968	6.1	398
Tokachi-Oki	1968	7.8	676
Higashi-	1968	6.4	-
Matsuyama			

## II. Deprem Zararında Yerel Fark

Geleneksel olarak bir yörede depremin şiddeti, insan duygularıyla ya da bina tipi yapıları da kapsayacak biçimde cisimler üzerindeki etkilerini gözleyerek ve adına şiddet ölçüği denen bir Ölçek yardımıyla değerlendirilir. Şu sıralarda kullanılmakta olan Rossi-Forel, Mercalli, Değiştirilmiş Mercalli, Medvedev-Sponheuer-Karnik ve Japon Meteoroloji Ajansı Şiddet Ölçeği gibi şiddet ölçekleri vardır. Hiç kuşkusuz, hem şokun duyulması hem de yapılara olan hasarın derecesinin kaynaklarından uzaklığın artışıyla küçülmesi sorunu vardır. Keza, çok doğaldır ki deprem manyitüd arttığında verilen kaynak uzaklığında şiddet de büyümeye başlar.

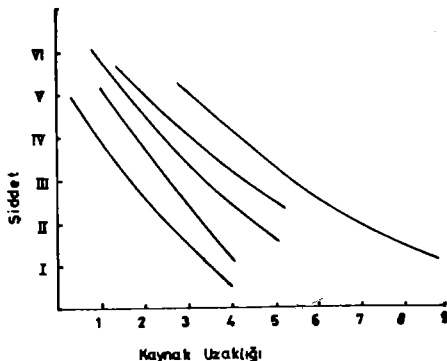
Geçmiş depremlerin deneylerine dayanarak, depremin manyitüdü kaynak uzaklığını ve şiddeti arasındaki bağıntıyı yaklaşık olarak ifade etmek üzere (Kawasumi, 1951) bir bağıntı önermiştir.

$$I = 2M - (0.00183R + 2\log_e R) - 0.307 \quad (2.1)$$

Burada: I= Japon Meteoroloji Ajansı Şiddet Ölçeği

M= Manyitüd

R= Km olarak kaynak uzaklığı



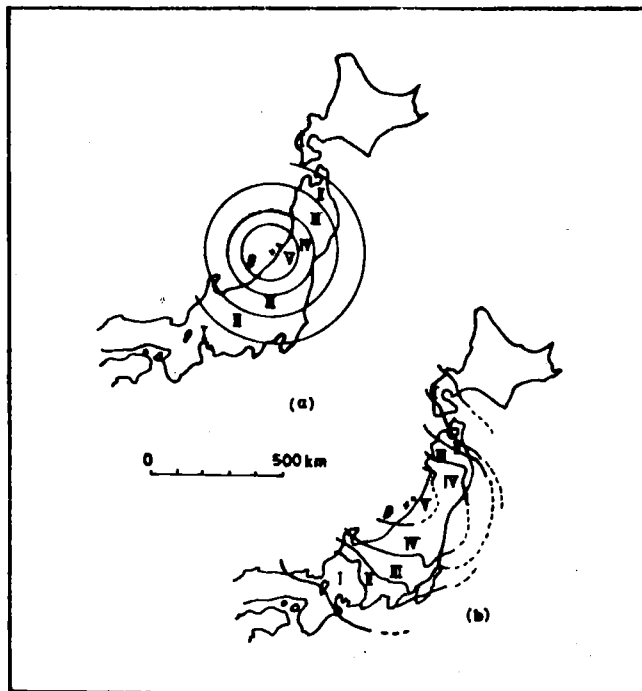
Şekil 2.1. Sismik Şiddet ve Kaynak Uzaklılığı

Şekil 2.1. Kaynak uzaklığı ve şiddet arasındaki bağıntıyı Japonyadaki son depremler için göstermektedir. Şimdi  $M=7.5$  olan 1964 deki Niigata depremini örnek olarak alıp Denk. 2.1. i uygulayalım. Böylelikle doğal olarak eşit şiddetdeki bölgeler, geometrik merkezi, depremin merkezi olan içiçe çemberlerden oluşan bir biçim sergiler.

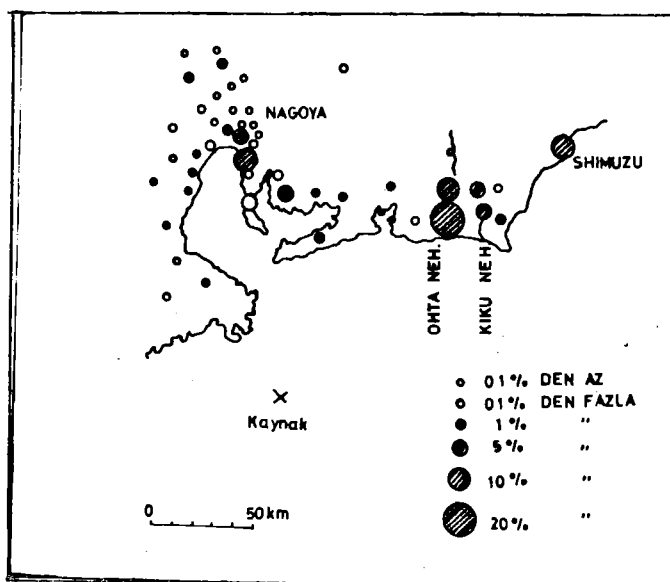
#### Şekil 2.2.(a)

Bununla birlikte gerçekte depremin gözlenen şiddet dağılımı, Şekil 2.2.(b) de gösterilmiştir. Şuna dikkat edilmelidir ki, şiddet çizgileri içiçe olan biçimden önemli bir şekilde sapmakta ve çeşitli yerlerde yerel uygunsuzluklar kendini göstermeye başlamaktadır. Gözlenen sismik şiddet biçimindeki belirsizlikler, dalgaların yolu boyunca karşılaşıkları tektonik anizotropiye ve kaynaktaki deprem mekanizmasına yolunmaktadır.

Diğer örnek, Şekil 2.2. deki duruma göre daha sınırlı alanda olmasına karşın, 1944 Tonankai depreminden ahşap yapıların uğradıkları zarar oranlarının dağılımını yererek, deprem zararlarının yerel farklılıklarını daha iyi vurgulamaktadır. Şekil 2.3. (Minakami, 1945) Kaynaktan uzaklıkla orantılı olarak zarar oranlarının gerektiği gibi azalmadığını belirtmek ilginç olacaktır. Tektonik anizotropi ve depremin merkezindeki sismik mekanizmanın buna neden olabileceği belirtilebilme birlikte, bu durumda zemin koşullarındaki yerel farklılıkların daha önemli rol oynaması düşünülebilir. Gerçekte birkaç dışında, zarar alüvial yığınlarla karşılaşılan bölgelerde yer almıştır.

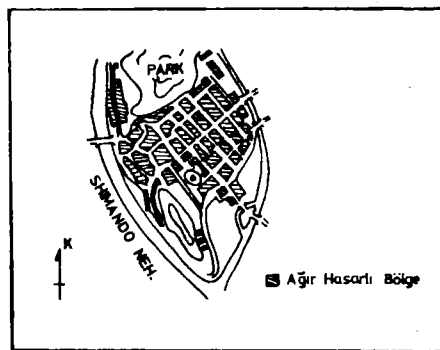


Şekil 2.2. (a) Hesaplanmış Şiddet  
(b) Gerçekte Gözlenen Şiddet

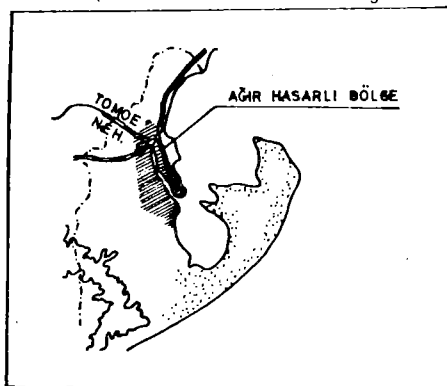


Şekil 2.3. 1944 Tonankai Depreminde Ahşap Yapılarda  
Hasar Dağılımı

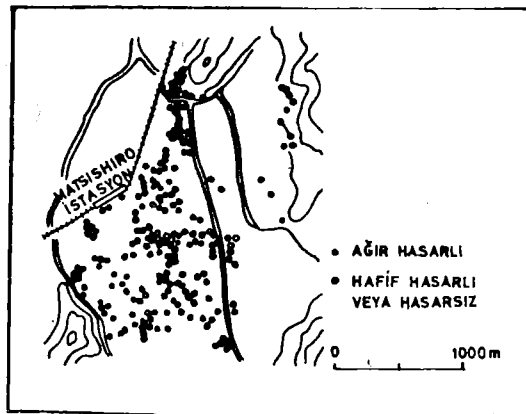
Belirtilen deprem zararları içindeki başkalıkların küçük bir alan içerisindeinde oldukça sık bir şekilde gözlendiği belgelenmiştir. Bu örneklerden de anlaşılacağı gibi kaynak uzaklığının oldukça sınırlı tutulduğu bu bölgelerde merkez üssünün ve depremin katettiği yolun önemi oldukça az gözükmemektedir. Şekil 2.4. Nankaido 1944 depremi sonrasında bir kasabanın ahşap yapılardaki hasarlarını, çok hafif ve ağır hasar bölgelerinin açık sınırlarını göstererek bunların dağılımını vermektedir. (Shimuru ve Suehuro 1947). Şekil 2.5. daha önce Şekil 2.3.de sözkonusu edilen Shimuzu kentindeki zarar dağılımını açıklamaktadır. Şekil 2.5. deki pek çok zarara uğramış yapının nehir ağzı çevresinde yoğunlaşmış olduğu görülür ki burada olasılıkla yumuşak zeminler derin bir yığın oluşturur. Keza Şekil 2.6. da ağır hasarın yoğunlaşması ve Godowlara zararın dağılımına dikkat edilebilir. (Bir godown yapısı Japon geleneksel yapılarından olup depo olarak kullanılır ve riyit ahşap iskeletle kalın çiç duvarları çamur harçtan oluşur.)



Şekil 2.4. Kochi Bölgesinde Nakamurada 1946 Nankaido Depremi Sırasında Hasar Dağılımı

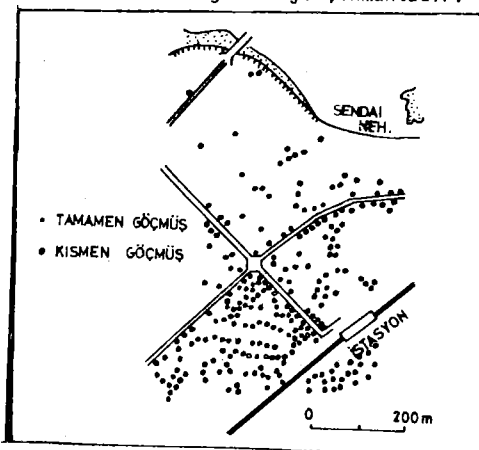


Şekil 2.5. 1944 Tonankai Depreminde Shimuzu Kentinde Hasar Dağılımı



Şekil 2.6. Matsushiro'daki Godownların 1966 Depremindeki Hasarları

Bu kasabada, yapılardaki böylesine zararın, geçmiş depremlerde yoğunlaşması o kadar açık bir şekilde gözlenmiştir ki, bu şimdilerde sık sık zarara uğrayan bölge yöre halkı tarafından "depremin yolu" denmektedir. En yakın zamanda oluşan örnek, Şekil 2.7. de verilmiş bulunan, 1968 Ebino depremi sırasında ahşap yapılardaki hasarın dağılımıdır. Göçen binaların dağılım biçiminin karmaşık olmasına karşın, bunun tamamen rastgele olduğu söylenemez, Yüzeydeki zemin koşullarındaki hassas farklılaşmanın belirli bir etkide bulunabileceği ortaya çıkmaktadır.



Şekil 2.7. Ebino 1968 Depreminde Ebino'da Hasar Dağılımı

Surası bir gerçektir ki, genelde bir yapının yerinden hareketi ve göçmesi yapının karekteristikleriyle ve zemin hareketi tarafından esaslı şekilde yönlendirilir. Ancak yukarıdaki örneklerde de belirdiği gibi, bu ayrıca büyük plânda (macroscopically) yer kabuğunun özellikleriyle daha küçük plânda (microscopically), zemin koşullarıyla deprem hasarında başkalıklar oluşturarak etkimektedir.

Bu ilişkiler aşağıdaki biçimdeki bir denklemle tanımlanabilir. (Otsuki ve Kanai 1961)

$$f_s(t) = F_s(E(t), G_1(t), G_2(t), S(t)) \quad (2.2)$$

Burada

$f_s(t)$  : Deprem sırasında yapının yerdeğiştirmesi

$F_s$  : Fonksiyon

$E(t)$  : Zeminin hareketini belirten fonksiyon

$G_1(t)$  : Yer kabuğunun özelliklerini belirten fonksiyon

$G_2(t)$  : Zemin koşullarını belirten fonksiyon

$S(t)$  : Yapının karekteristiklerini belirten fonksiyon

Bu denklemde  $E(t)$ ,  $G_1(t)$ ,  $G_2(t)$  ve  $S(t)$  bağımsız değildir ve birbirlerini etkilerler. Bu makalede  $G_2(t)$  fonksyonunun özellikleri üstünde öncelikle durulacaktır; buna ek olarak  $G_2(t)$  ve  $S(t)$  arasındaki etkileşime değinilecektir.

### III. Zemin Koşulları ve Deprem Zararı

Geçmişteki yıkıcı depremler sırasında ahşap yapılardaki hasarların ortaya çıkışında, zemin koşullarının etkisi, yumuşak zeminli alanlarda, sert zeminli alanlardan çok fazla hasar oluşuya açık şekilde belirlenmiş olmaktadır. Gerçekte şimdî Japonya'da hemen hemen herkes bu oluşuma yabancı değildir.

Engin deneye karşın bununla birlikte, bu konuya deðin nicekisel bilgi yeterli olmaktan uzaktır. Daha ötesi, geleneksel ahşap yapıların dışındaki yapılar, örneğin betonarme yapı hasarlarına ait bilgi son derece eksiktir. Bu duruma bakmaksızın elden geldiğince zemin koşulları ile deprem zararı arasındaki ilişkiyi ilgilendiren verileri toplamaya, verilerin bir kısmı daha basitleştirilmiş biçimde başka yerde yayınlanmış olsalar bile bu bölümde açıklanması amaçlanmıştır. (Duke, 1958)

Ne yazık ki, deprem zararının derecesini istatistiksel olarak ifade edecek parametre henüz kurulmamıştır. Bununla birlikte bu makalede aşağıdaki tanımlar uygunluk yüzünden hasar derecesini ifade etmek üzere kullanılmıştır.

$$\begin{aligned}
 \text{Göçme oranı} & : \frac{D}{M} \times 100 (\%) \\
 \text{Yıkılma oranı} & : \frac{D-H}{M} \times 100 (\%) \\
 \text{Düzenli yıkılma oranı} & : \frac{D-H/2}{M} \times 100 (\%) \\
 \text{Zarar oranı} & : \frac{D-H-S}{M} \times 100 (\%)
 \end{aligned}$$

Burada,

D : Göçmiş yapıların sayısı

H : Yarı göçmiş yada kısmen göçmiş yapıların sayısı

S : Hafif zarar görmüş yapıların sayısı

M : İlgili bölgedeki yapıların toplam sayısı

Göçme oranı,  $y$  ile sismik K katsayısı (yani, maksimum yatay deprem ivmesinin yer ivmesine oranı) arasında bir denklem,

$$y = \frac{100}{\sqrt{2\pi}\sigma} \int_{-\infty}^K \exp\left[-\frac{(K-K_0)^2}{2\sigma^2}\right] dK \quad (3.1)$$

İstatistik kuramına dayanılarak türetiliblir ve amprik olarak ahşap yapılar için  $K_0$  ve  $\sigma$  aşağıdaki değerleri alırlar (Kawasumi, 1952):

$$K_0=0.4, \quad \sigma=0.071$$

Bazen "savunma zorluğu oranı" (vulnerability ratio) terimi zemin koşullarının etkisini belirtmekte kaynak uzaklığının etkisini eleyerek kullanılmıştır. (Omote-1951) Örneğin, y zarar oranları yüzdesi, Fukui 1948 depremi sırasında Fukui ovasının etrafındaki köylerinin hepsi için R km olarak kaynak uzaklığuna karşı zemin koşullarına bakmaksızın işaretlenmiş ve Şekil 3.T de elde edilmiştir. (Ohsaki-1951) Eğer, şu denklemi

$$Y = \alpha R^{-\beta} \quad (3.2)$$

$y$  ile R arasındaki bağıntıyı ifade etmek üzere varsayırsak  $\alpha, \beta$  en küçük kareler farkı yöntemiyle saptanırsa, öyleyse

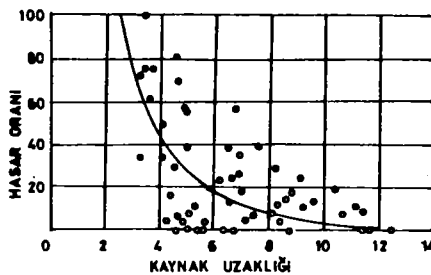
$$y_c = 1800 R^{-2.26} \quad (3.3)$$

elde edilecek ve Şekil 3.1 deki eğri ile temsil edilecektir. Bu eğri veya  $y_c$  denk. 3.3. verilen kaynak uzaklığında ortalama zarar oranı temsil etmek üzere açıklanabilir. Bundan dolayı eğer gerçek zarar oranı  $y$  ise, bunun  $y_c$  ortalama zarar

oranına bölümlü,

$$S = \frac{y}{y_c}$$

hesaplanabilir. Bu oran kaynak uzaklığından bağımsız, köydeki zemin koşullarının yalnızca etkisini temsil eder. Bu zeminin savunma zorluğu oranı olarak tanımlanabilir.

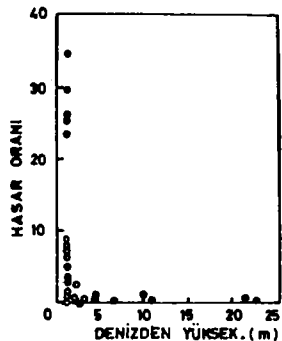


Şekil 3.1. Hasar Oranı ve Episantr Uzaklığı  
Fukui Depremi 1948 (Ohsaki 1951)

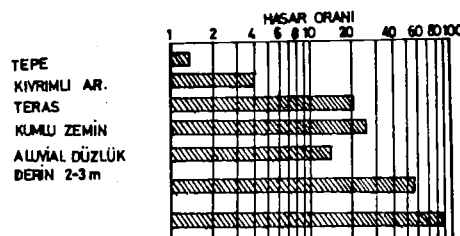
### 1. Topografik ve Jeolojik Konular

Nagoya kentinin kuzeydoğu kısmı diluvial yayla üzerine yerleşmekte birlikte onun güneyi ve batısı alüvyonlu, alçak düzüktür. Her şiddetli deprem oluşusunda çok fazla yapı aşağı kısımda yıkılmış yada zarar görmüşdür. Şekil 3.2. Nagoya kentinin değişik yerlerinde ahşap yapıların Tonankai depremi sırasında 1944 de yıkılma oranlarını göstermektedir. Grafik, ortalama denizden yüksekliğine karşı yıkılma oranını olarak işaretlenmiştir. (Omote ve Miyamura, 1951) Göçme oranlarındaki fark çok sezkindir. Bununla birlikte, eğer yaylanın sıkı diluvial zeminlerden alçak bölgelerin ise yumuşak aluvial birimlerinden oluşturduğu gerçeği hesaba katılırsa, sorunun topografik olmaktan çok jeolojik olduğuna inanılır.

Daha önce Şekil 2.3. de gösterildiği gibi Tonankai 1944 depremiyle Kiku nehir tabanı kötü bir şekilde zarara uğramıştır. Bu zarar görmüş alan içerisinde, topografik sınıflandırma zemin için yapılmış ve her topografik sınıf zeminde ahşap yapılardaki zarar oranları saptanmıştır. (Tada, Oba ve Otani 1951). Şekil 3.3. deki sonuç, daha aşağılara inen aluvial tabakalarda zararın oldukça yüksek olduğunu göstermektedir. Eğer kumlu zemin sınıfı topografik plan açısından daha küçük sınıflara bölünecek olursa; taban kayası üzerinde kum tepeceği, alüvyonlu tabaka üzerinde kum tepeceği ve kumlu çakılı tabaka, biçiminde göçme oranlarının da bu sıraya uygun olarak artacağı doğrulanmıştır.



Şekil 3.2. 1944 Tonankai Depremi Sırasında Nagoya'daki Ahşap Yapıların Hasarı ile Denizden Yük. İlişkisi



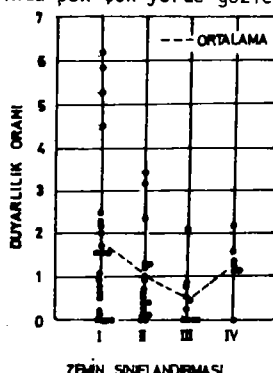
Şekil 3.3. 1944 Tonankai Depreminde Kiku Nehri Boyunca Ahşap Yapılardaki Hasar Oranı ve Mirotopoğrafya (Tada, Oba, Otani, 1951)

1948 Fukui depreminin zararının istatistiklerine dayanarak ve Denk. 3.1 uygulayarak, sismik katsayılar Tablo 3.1. de zeminin jeolojisine göre değerlendirilmiştir. (Takashi, 1951)

Keza yine 1948 Fukui depremi için Fukui ovasında ve çeviren dağlık bölgelerde köylerde zeminler dört grup içinde sınıflandırılmıştır.

- I. Tüm olarak alüyon oya üzerinde
- II. Ovaya yaklaşan hem alüyon, hem kayayla örtülü
- III. Tam olarak kaya üzerinde
- IV. Kum tepecikleri üzerinde

Ayrıca zemin savunamazlık oranı, her köy için saptanmış ve Şekil 3.4. de işaretlenmiştir. Bu şunu göstermektedir ki ahşap yapılar alüvyon ovalar üzerinde kayalık zeminlerde onlardan daha fazla deprem hasarına karşı korunmasızdır (vulnerable). Ohsaki (1951), ikinci gruptaki, kaya ve alüvyon üzerine yerleşen köylerde, bu oran, I ve III. grubun ortalamasıdır. Bununla birlikte geçmişteki depremlerin deneyimleri, hemen hemen alüvyonlu düzükte ya da vadide yapıların hasara uğramaya eğilimli olduğunu çok belirgin şekilde göstermiş bulunmaktadır. Böyle yerlerde deprem dalgalarının yükselgenmesi, bu dalgaların karışması yüzünden bunun oluşması, olasıdır. Dalgaların yükselgenmesi eğimin en yukarısında bile yer almaktadır (Idriss ve Seed 1967) ve bu etki Tōkachi-Oki depremi sırasında pek çok yerde gözlenmiştir.



Şekil 3.4. 1948 Fukui Depremi Sırasında Duyarlılık Oranı  
ve Zemin Sınıflandırması (Ohsaki, 1951)

Tablo 3.1. Jeoloji ve Deprem Katsayıları  
(Takahashi, 1951)

	Bataklık	Alüvyon	Tortul	Üçüncü Z.Kayaç
Deprem				
Katsayısı Oranı	1.5	1.0	0.7	0.4

Kanto depremi sırasında ahşap yapıların göçme oranları Tokyonun yukarı ve aşağı kısımları için gösterilmiştir. Tablo 3.2. Derin alüvyon üzerindeki aşağı kısım, dilüvyon üzerindeki yukarı kısma göre, oldukça fazla zarar göstermiştir. (Ohsaki 1962).

Tablo 3.2. 1923 Kanto Depreminde Tokyo'da Ahşap Yapılardaki Hasar Oranı (Ohsaki, 1962)

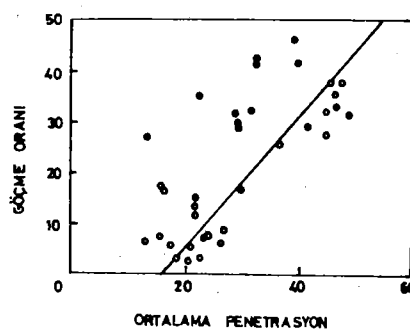
	Yukarı Kısım	Aşağı Kısım
Göçme Oranı (%)	2.0	11.0

## 2. Zeminlerin Sağlamlıkları

Bundan önceki paragrafta jeolojik problemin topografik problemden daha fazla önemde olabileceği açıklanmış olmaktadır. Bununla birlikte kayalık ve dilüvyonlu zeminlerin alüyon yığışımından daha fazla sağlam olduğu genelde söylemeye gerek olmaksızın, deprem hasarına ilişkin tartışmada zeminlerin sağlamlığı, esas nokta olacaktır.

1923 Kanto depreminden hemen sonra beşyüzden fazla çakma sondajı gerçekleşti- rildi. Ve seksen sondaj deliğinde düşüm sayısı (number of falls of the churning bit) kaydedildi.

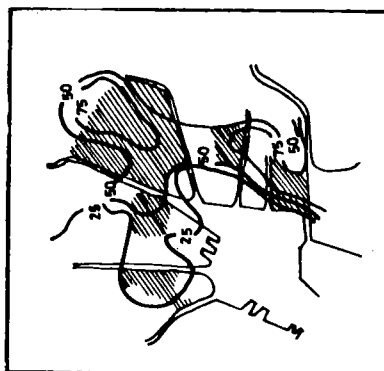
Bu kayıtlara dayanarak her düşüm için 30 m derinliğe kadar ortalama penetrasyon ölçüldü. Bundan sonra bu deliklerin her birinin etrafındaki belirli alanda ahşap yapıların göçme oranına göre ilişkileri araştırıldı. (Kitazawa 1950) Sonuç Şekil 3.5. de gösterildiği gibi oldukça iyi bir ilişki (correlation) gösterdi.



Şekil 3.5. 1923 Kanto Depreminde Tokyo'daki Zeminlerin Sağlamlığı ve Göçme Oranı (Kitazawa, 1950)

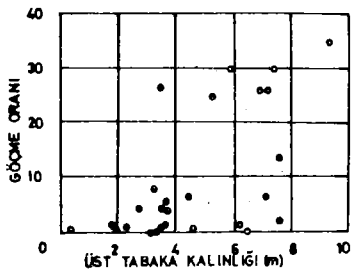
Şekil 3.6. daki içiçe olan çizgiler (Yokoo 1965) üstteki 10m ye kadar yüzde olarak ne kadar yumuşak zeminlerin bulunduğu göstermektedir. ( $N < 2$  için yapışık (cohesive) ve  $N < 4$  için kohezyonlu malzeme olup N standart penetrasyon testinde bir ayak için darbe sayısı olmaktadır.) Taranmış alanlar, şekilde, 1944 Tonankai depremi

için Nagoya kentinin güneyinde %20 hasar oranını aşmış bölgeleri göstermektedir. Eğrilerin biçimini ile gerçek hasarın birbiriyle ne kadar iyi uyuştuğu açıkça gözükmektedir.

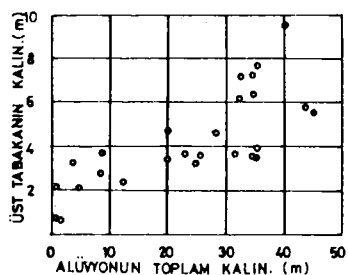


Şekil 3.6. 1944 Tonankai Depreminde, Nagoya Güneyinde  
Yumuşak Üst Zemin Tabakası ye Hasar Oranları  
(Yokoo v.d. 1965)

Diğer parametre, zeminlerin sağlamlığını tanımlamak üzere dalga yayılma hızı olmaktadır. Bu da sismik araştırma yoluyla ölçülebilir. Nagoya kentinde gerçekleştirilen geniş sismik araştırmalara göre, kentin alüvyonlu ovasını tamamen örten birkaç metre kalınlıktaki alüvyonlu tabakada boyuna dalga hızı 500m/sn den daha düşüktür. Şekil 3.7. de bu üst tabakanın kalınlığı ile ahşap yapıların yıkılma oranı yer yer 1944 Tonankai depremi için verilmiştir. (Omote ve Miyamura, 1951) Yıkılma oranı artarken düşük hızlı yumuşak tabakanın derinliği de arttığı dikkati çeker. Bununla birlikte bu tabakanın kalınlığı Şekil 3.8. de gösterildiği gibi alüyon birikimin toplam kalınlığıyla doğrusal ilişkiliidir. Bundan dolayı yıkılma oranına öncelikle üst tabakaların mı hakim olduğu yoksa tüm alüyon tabakaların mı buna hakim olduğu sorusu ortaya çıkmaktadır.



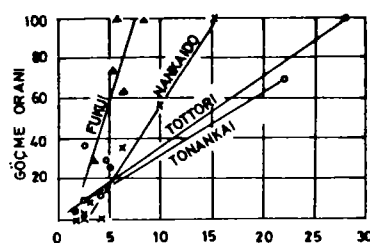
Şekil 3.7. 1944 Tonankai Depreminde Nagoyada Ahşap Yapılardaki Hasar ve Üst Tabakaların kalınlığı (Omote ve Miyamura 1951)



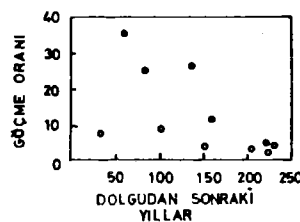
Şekil 3.8. Nogoyada Alüyyonlu Birikimlerin Toplam Kalınlığı ve Üst Tabaka Kalınlığı (Omote, Miyamura 1951)

Şekil 3.9. da (Tanabashi ve Ishizaki, 1953) ,de 1500 m/sn den daha az boyuna dalga hızına sahip yumuşak zemin derinliğini  $H_1$  simgesiyle ve  $V_L$  ile yüzey dalgasının ölçüm hızını yatay eksende göstererek  $H_1/V_L$  oranına karşılık çeşitli büyük depremler için ahşap yapılardaki göçme oranları işaretlenmiştir. Büyük kesinlikle, her deprem için doğrusal bir bağıntı gözle见过 olmasına karşın, her deprem için doğruların eğimleri farklıdır. Burada dalga hızlarından çok diğer etmenlerdeki farklılıkların neden olma olasılığı vardır. Daha sonraları bu durumun zemin yüzeyi çevresinde yüzey dalgalarının yükseltgenmesinin  $H_1/V_L$  arasındaki ilişkide olduğu aynı yazarlar tarafından belirtilmiştir.

Şu bir gerçekdir ki yapay olarak doldurulup yılların geçmesi ile doğal konsolidasyon ve kompaksiyonla sağlamlaştırılan bu zeminler üstündeki ahşap yapıların (Şekil 3.10 da) dolgudan yıllar sonrasında hasar oranında azalma eğiliminde olduğu gözüktür. (Omote ve Miyamura 1951)



Şekil 3.9. Ahşap Yapılardaki Hasar ve  $H_1/V_L$  Oranı  
(Tanabashi, Ishizaki, 1953)



Şekil 3.10, Nagoya'da Dolgudan Sonraki Yıllar ve Ahşap Yapılardaki Hasar Tonankai Depremi, 1944  
(Omote ve Miyamura, 1951)

### 3. Alüyon Birikimlerin Kalınlığı

Ahşap yapılara depremin zararlarıyla ilgilenilmesi sırasında yumuşak veya gevşek zeminlerin sıkı ve yoğun zeminlere göre üstünlüklerinin daha az olduğu görülmektedir. Jeolojik olarak alüyon birikimler ağır deprem hasarlarının baş sorumlusu olmuşlardır. Bunun ötesinde alüyon birikimlerin derinliğinin zararın derecesi üzerinde önemli etkisinin olduğu çok sık denenmiştir.

Şekil 3.11. (Kavasumi, 1952), Şekil 3.12. (Ohsaki 1962) Şekil 3.13. (Omote, 1949) ve Şekil 3.14. (Omote ve Miyamura, 1951) ahşap yapılara hasarın oranları ile Tokyo, Yokahama ve Nagoya kentlerinde 1923 Kanto ve 1944 Tonankai depremleri sırasında alüyon birikimlerinin derinlikleri arasında çok yakın ilişki olduğunu, kalınlığının artışıyla hasar eğiliminde artışı kesin bir şekilde belirtmişlerdir.

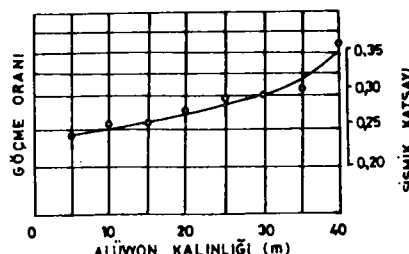
Keza Şekil 3.11.de, Denklem. 3.1. ile değerlendirilen sismik katsayılar gösterilmiş bulunmaktadır. Şekil 3.12, 1923 Kanto depremi için noktaların %95 inin düştükleri aralıkta ve ortalama için denklemi

$$y = 0.982 (1.086)^z - 0.26$$

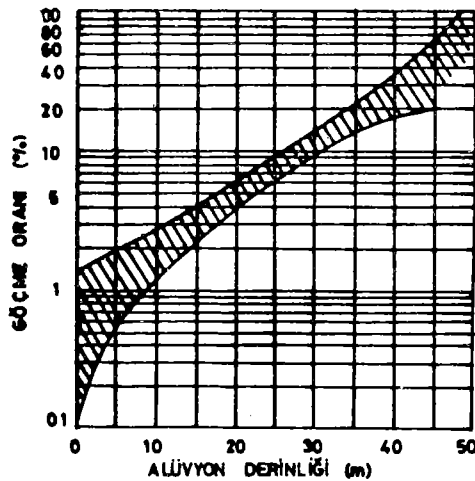
analetik olarak yakın ilişkiye ifade etmek üzere türetilmiştir.

Burada,  $y = \%$  de olarak ahşap yapıların yıkılma oranı

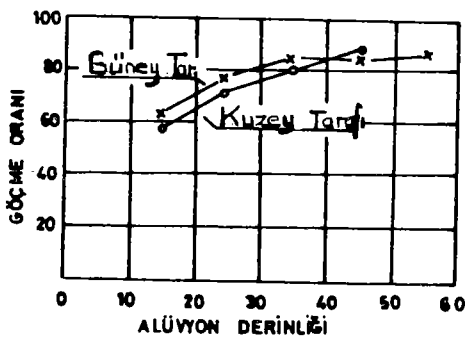
$z =$  aluvial yığışımın metre olarak kalınlığı olmaktadır.



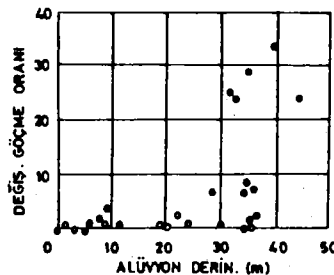
Şekil 3.11. 1923 Kanto Depremi Sırasında Tokyo'da Deprem Katsayıları ve Ahşap Yapılardaki Hasar ile Alüyonlu Birikimlerin Derinliği



Şekil 3.12. 1923 Kanto Depreminde Tokyo'da Ahşap Binalardaki Hasar ve Alüyyonlu Birikimlerin Derinliği (Ohsaki, 1962)



Şekil 3.13. 1923 Kanto Depreminde Yokohama'da Ahşap Binalardaki Hasar ve Alüyyonlu Birikimlerin Derinliği (Omote, 1949)

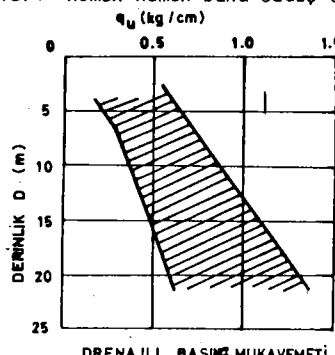


Şekil 3.14. 1944 Tonankai Depreminde Nagoya'da Ahşap Binalardaki Hasar ve Alüvyonlu Birikimlerin Derinliği (Omote, Miyamura, 1951)

Japonyada'ki alüvyon depozitlerin karakteristikleri üzerine bilgi sunmak için killi ve siltli malzemenin tek eksenli basınç mukavemetini (unconfined strength) aşağı Tokyoda verilmiş ve Şekil 3.15. de gösterilmiştir. Ve  $q_u$  basınç direnimi ile D derinliği arasında ortalama bağıntı

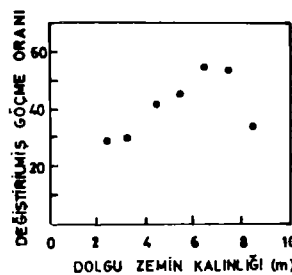
$$q_u = 0.2 + 0.04D$$

ile ifade edilebilir.  $q$   $\text{kg}/\text{cm}^2$ , D m boyutudur. Diğer yerlerdeki alüvyon yığışım- ların mukavemet karakteristikleri hemen hemen buna özdeş olacağrı düşünülebilir.



Şekil 3.15. Tokyo'daki Alüvyonlu Birikimlerin Etkin Basınç Mukavemetleri

Doldurulmuş zeminlerde, ahşap yapılara hasar Şekil 3.16 açıkladığı şekilde doldurulmuş zeminlerin artan derinliği ile birlikte artma eğiliminde olduğu 1923 Kanto depremi için gösterilmiştir, (Omote, 1949)



Şekil 3.16. 1923 Kanto Depreminde Yokohama'da Ahşap Binalardaki Hasar ve Dolgu Zeminlerin Kalınlıkları (Omote, 1949)

#### 4. Zeminin Baskın Periyodu

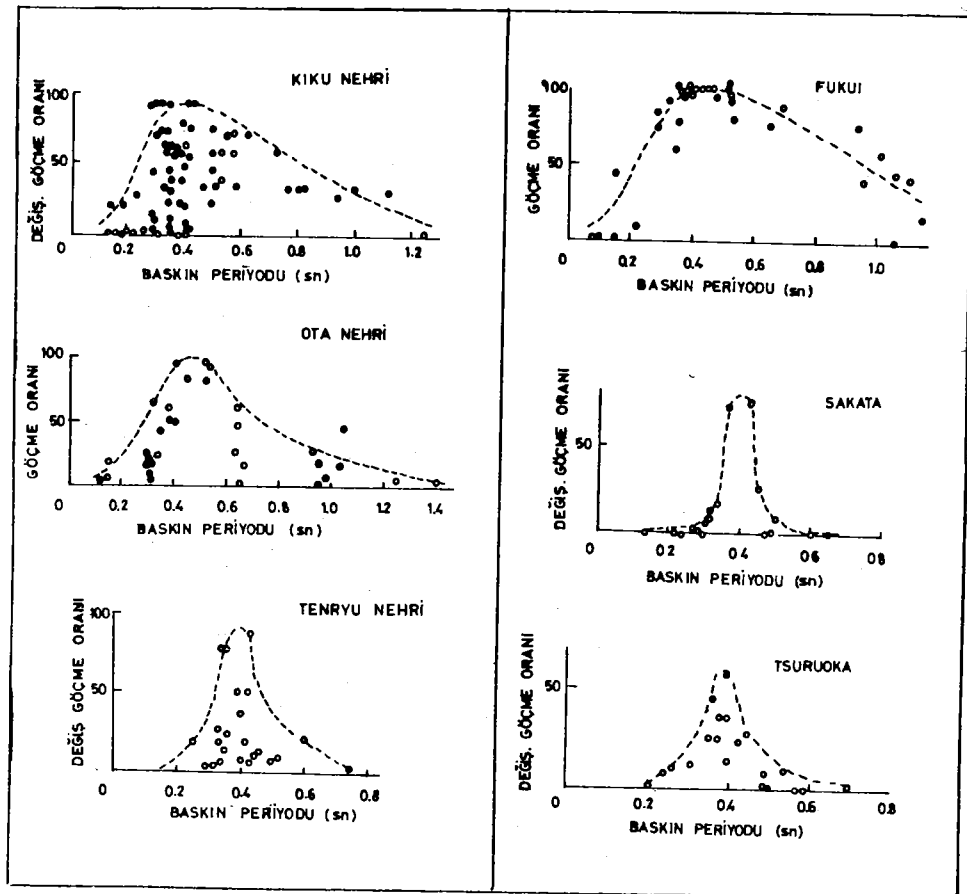
Zeminin dinamik karakteristiklerini iyi bir şekilde temsil eden ve deprem hasarına ilişkin olarak yararlı bilgi sağlayan parametre zeminin baskın periyodusudur.

Şekil 3.17. Şekil 3.18, de baskın periyodu ile ahşap yapılara depremin hasarı arasındaki ilişkiyi Kiku Nehri, Ota Nehri ve Tenrya nehri boyunca olan bölgeleri 1944 Tonankai depremi için; Fukui kenti etrafındaki bölgeleri 1948 Fukui depremi ve Sakata ye Tsuruoka kentleri Niigata 1964 depremi için verilmiştir. (Kanai, 1968). Sonuç olarak baskın periyodunun 0.4. sn'ye yaklaştığı değerlerde yıkılma oranı en yüksek olduğuna dikkat edilmelidir. Bu gerçek, yapıların ve zeminlerin rezonansa varmalarının ahşap yapıların doğal periyotlarının 0.4 sn'ye civarında bulunduğuunu düşündürsek hasarın en büyük nedeni olabileceğini ortaya koyar. (Suzuki, 1961)

Zeminin baskın periyotları genellikle gerçek kayıtlara, küçük depremlere ve mikrotremorlara dayanılarak saptanır.

#### 5. Yapısal Rijitliğin Etkileri

İzlenen paragraflarda çok esnek olan ahşap yapılara deprem hasarı tartışılmış bulunuyor. Modern betonarme yapılar ahşap yapılardan çok daha fazla yüksek rijitlik sahiptirler ve godownlar ahşap yapılarla betonarme yapılar arasında ortalama bir rijitliktedir. Betonarme yapılar ile tuğla yapılar arasındaki rijitlik farkları, kolaylıkla saptanamaz. Genellikle bununla birlikte tuğla yapıların rijitliği godownlarından yüksek ve ahşap yapılarından ise çok daha yüksektir. Bu bölümde değişik rijitlikteki yapıların tiplerine göre zemin koşulları tartışılacaktır.



Şekil 3.17. Ahşap Binalardaki Hasar ve  
Zeminin Baskın Periyodu -1  
(Kanai, 1968)

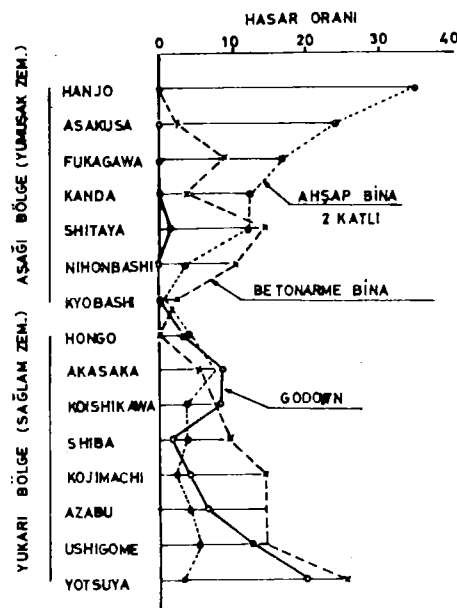
Şekil 3.18. Ahşap Binalardaki Hasar ve  
Zeminin Baskın Periyodu -2  
(Kanai, 1968)

### a- Godownlar ve Tuğla yapılar

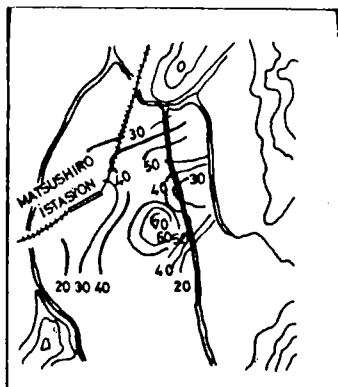
Daha önce belirtildiği gibi Japon godown yapıları rijit ahşap çerçeveli, dış duvarları oldukça kalın çamur harçlı olup daha çok iki katlı ve geleneksel ahşap evlere göre çok yüksek rijitlikte yapılardır.

Şekil 3.19 da 1923 Kanto depreminden godownların Tokyo kentinin her bir kısmındaki zarar oranları hesaplanmış ve iki katlı ahşap yapılarla karşılaştırılmışlardır. (Saita 1935) O zamanki 14 yerleşim merkezli Tokyo, yumuşak zeminleri içeren şehir merkezi ile, sağlam zeminleri içeren banliyöler olarak iki kısımda toplanmıştır. Tam anlamıyla ters bir eğilimi belirtmek oldukça ilginç olacaktır ki godownlar sağlam zeminlerde daha fazla ve yumuşak zeminlerde daha az olmak üzere ahşap yapılara göre hasara uğramışlardır.

Bununla birlikte, son olarak, bu kayram 1967 Matsushiro depremi deneyimi ile alt üst olmuş bulunmaktadır. (Kishida v.d. 1967). Daha önce Şekil 2.6. da, Matsushiro'daki godownlarda hasarın dağılımı gösterilmiştir. Şekil 3.20. de de içiçe çizgiler yumuşak aluvyon zemin kalınlığını göstermektedir. Şekil 2.6. ile Şekil 3.20. nin bu karşılaştırması godownların, sert zeminlerde daha çok zarara uğradıkları ve aynı durumda ahşap yapılarda da olduğu sonucuna varılmıştır. Bu eğilim Şekil 3.19. daki sonuca göre bir uyumsuzluktur,



Şekil 3.19. 1923 Kanto Depreminde İki Katlı Ahşap Binalarda  
Godownlarda ve Betonarme Binalardaki Hasar  
(Saita, 1935, Ohsaki, Kuniyasu, 1968)



Şekil 3.20. Matsushira Kasabasında Alüvyonlu Birikimlerin Derinliği (Kishida v.d., 1967)

Kanto 1923 depreminde, Tokyo'da 773 tuğla yapı vardı ki en yüksek üç katlıydı. (Kanai 1949)

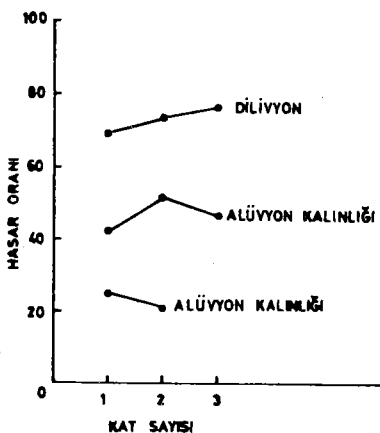
Üç ayrı zemin koşuluna göre katlarla hasar oranı arasındaki ilişki Şekil 3.21. de sunulmuştur. (Kanai ve Yashizawa, 1951). Burada bina yüksekliğinin tuğla yapılar üstünde az hasara neden olduğu, zemin koşullarının etkisinin ise çok ağır bastığı görülmektedir. Şekilde daha çok yapı sert zemin üstünde hasara uğrarken, daha az yapı yumuşak zemin üzerinde hasar görmüştür.

#### b- Betonarme yapılar

Betonarme yapılara zemin koşullarının etkisine gelince; yalnızca örnek, istatiksel olarak uğraşılan 1923 Kanto depreminin hasarı olabilmiştir. Son zamanlara gelinceye kadar analizlerin iki, birbirine zıt sonucu, aynı kayıtlara dayanılarak sunulmuş bulunmaktadır.

1- Alüvyon yığımının kalınlığı arttıkça tuğla yapılara uygun olacak hasar azalmaktadır. (Kanai, 1949)

2- Zeminin yumuşaklıği arttıkça hasar artmaktadır. (Kitazava, 1950)



Şekil 3.21. 1923 Kanto Depreminde Tokyodaki Tuğla Binalarda Hasar Oranı (Kanai, Yoshizawd, 1951)

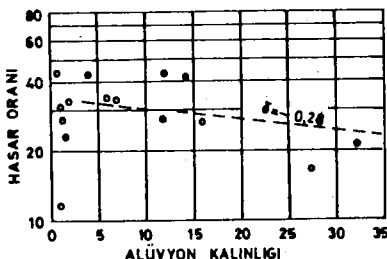
Öldükça yakın zamanlarda Kanto depreminin verileri ve Tokyo kentindeki zemin koşulları yeniden çok daha ayrıntıyla incelenmiş bulunmaktadır. Sonuç bulgular olarak:

(1) Yukarıdaki birinci koşul çok daha büyük doğrulukla kanıtlanmıştır. (Ohsaki ve Kuniyasu, 1968) Şöyle ki, toplam olarak Tokyodaki 691 Betonarme binada hasar ve düzeltilmiş yıkıntı oranları Tablo 3.3 de gösterilmiştir ki bunlarda hiç bir önemli fark görülmemektedir. Bu Tablo ahşap yapılarla olan hasar tablosu Tablo 3.2 ile karşılaştırıldığında zit bir eğilim gözükür. Şekil 3.22 deki şekil ile korelasyon katsayısının eksi işaretli olduğu hasar oranıyla alüyyon yığımların derinliği arasındaki ilişki gösterilmiştir. Şekil 3.19 da kentin her bölgesi için hasar oranları işaretlenmiştir ki; bunlar daha önce yer almış, açıkça gözüken olayın gidişi, ahşap yapılardan çok godownlara benzemektedir. Şekil 3.23, Betonarme yapılardaki kat adetleri hasar oranları arasındaki ilişkisi vermektedir.

Hasar oranları, kat adetinin artışıyla genel olarak artmaktadır. Bununla birlikte tek katlı yapılardaki hasar oranı iki ve üç katlı yapılardaki hasardan daha fazladır ve kentin aşağı ve yukarı kısımlarında hiç bir fark yoktur.

**Tablo 3.3. Tokyo'daki Betonarme Binada Oluşan Hasar,  
Kanto Depremi 1923  
(Ohsaki ve Kuniyasu, 1968)**

	<u>Yukarı Kısımlı</u>	<u>Aşağı Kısımlı</u>
Hasar Oranı (%)	32.8	32.4
Düzeltilmiş Hasar Oranı	6.8	3.0

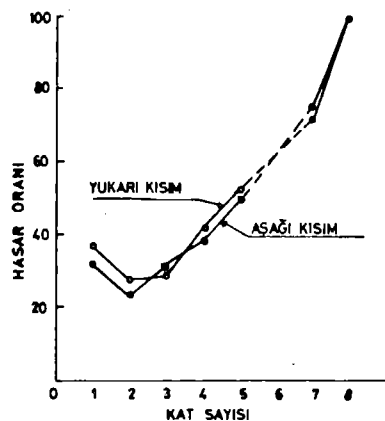


**Şekil 3.22. 1923 Kanto Depreminde Tokyodaki Betonarme  
Binalarda Hasar Oranı ve Alüvyonlu Birikimlerin  
Derinliği (Ohsaki, Kuniyasu, 1968)**

Şimdi de yüksek yapılara olan deprem hasarını düşünelim. 1957 de, Mexico kenti, maksimum zemin ivmesi 50-100 gal arasında olan bir deprem tarafından sarsıldı. Mexico kentine 1000 m kalınlıkta değişen kum ve kıl tabakaları kapsayan alüvyon lacustrin yığını temel oluşturmuştur. Hakim periyot 2.5 sn dolayında yaklaşık olarak tahmin edilmiştir. Tablo 3.4. de hasar gören yüksek yapılar katlarına göre sınıflandırılmışlardır. (Thornley and Albin, 1957)

Tablo 3.4 den görülebileceği üzere genelde hasar derecesi 13-16 katlı yüksek yapılar için nisbeten yüksektir.

Mexico kentindeki zemin koşullarının tersine, Osküp (Yugoslavya) kentinin zemini aşırı derecede (sağlam) sert zemindir. Bu zemin, ana kaya üzerinde 10 m kalınlıktan daha fazla kumlu çakıllı zeminden oluşmaktadır. 1963 deki deprem sırasında maksimum iyme 200 gal den daha büyüktü; dört kattan daha az pekçok tuğla yapı ciddi olarak zarar görmüşlerdir. Buna karşılık 13 ve 14 katlı ve betonarme apartman ve resmi yapılar, küçük yapısal hasarların dışında ayakta kalmışlardır.



Şekil 3.23. 1923 Kanto Depreminde, Tokyo'daki Betonarme Binaların Kat Sayısı ve Hasar Oranı (Ohsaki, Kuniyasu 1968)

Tablo 3.4. 1957 de Mexico Kentinde'ki Yüksek Yapılar Oluşan Hasar (Thornley ve Albin, 1957)

Kat Sayısı	Bina Sayısı		
	Zarar görmemiş	Zarar görmüş	Toplam
9	3	2	5
10	2	2	4
11	0	3	3
12	1	3	4
13	0	5	5
14	0	2	2
15	0	1	1
16	0	2	2
18	1	1	2
23	1	0	1
43	1	0	1

#### IV. İlişik Kuramları ve Gözlemler

##### 1. Yapının basit modeli

Bir yapının çok basitçe dinamik davranışını benzetmek üzere Şekil 4.1 de,  $m$  tek yoğunlaşmış kütleyi,  $k$  yay katsayısını, viskos sönümlü tanımlamak üzere sünlük kuvvetinin göreceli hızla orantısının  $C$  sabiti olduğu bir mekanik sistem gösterilmiştir. Keza hareketin yalnız yatay doğrultuda olduğu bu yüzden de tek serbestlik derecesine sahip sistemin kütlesinin zemine göre yerdeğisimi ile zeminin mutlak yerdeğisimi sırasıyla  $x$  ve  $y$  ile gösterilecektir. O halde bu sistemin hareket denklemi

$$m\ddot{x} + c\dot{x} + kx = -m\ddot{y} \quad (4.1)$$

olar. Ya da sistemin sünlüğünü  $h$  kritik sünlük yüzdesi cinsinden tanımlar ve sistemin sünlüsüz doğal periyodunu  $T$  ile belirtirsek, yukarıdaki denklem

$$m\ddot{x} + 2h\left(\frac{2\pi}{T}\right) \dot{x} + \left(\frac{2\pi}{T}\right)^2 x = -m\ddot{y} \quad (4.2)$$

şeklini alır. Burada,

$$T = 2\pi\sqrt{\frac{m}{k}}, \quad h = \frac{c}{2\sqrt{km}}$$

##### 2. Basit harmonik hareketli zorlanmış titreşim

Denk. 4.2. ye basit bir çözüm elde etmek için varsayıın ki sistem basit harmonik zemin ivmesiyle şu şekilde titremektedir:

$$y = a \exp\left(\frac{2\pi i}{T_G} t\right) \quad (4.3a), \quad \ddot{y} = a e^{i\omega_G t} \quad (4.3b)$$

ki burada  $T_G$ , zeminin hakim periyodu olarak açıklanabilir. Öyleyse Denk. 4.2. şu biçimde yazılabılır.

$$m\ddot{x} + 2h\left(\frac{2\pi}{T}\right) \dot{x} + \left(\frac{2\pi}{T}\right)^2 x = -a \exp\left(\frac{2\pi i}{T_G} t\right) \quad (4.4)$$

ve matematik olarak bu diferansiyel denklemde karşılık olan özel çözüm sistemi zorlanmış titreşimini temsil eder.

Özel çözüm,  $x$ 'in şu biçimde alacağı varsayılarak elde edilebilir.

$$x = A \exp\left(\frac{2\pi i}{T_G} t\right) \quad (4.5)$$

(4.5) ifadesini denk, 4.4. de yerine koyarak ve sonuçta denklemi çözerek A bilinmeyen sabiti elde edilir.

Öyleyse,

$$A = -\frac{a}{(\frac{2\pi}{T})^2} \cdot \frac{1}{1 - (\frac{T}{T_G})^2 + 2h(\frac{T}{T_G})i}$$

ya da kompleks ifadede bağıntıyı düşünerek

$$\frac{1}{p+iq} = \frac{1}{\sqrt{p^2+q^2}} e^{-i\phi}$$

$$\phi = \tan^{-1}\left(\frac{q}{p}\right),$$

$$A = \frac{-a}{(\frac{2\pi}{T})^2} \cdot \frac{1}{\sqrt{|1 - (\frac{T}{T_G})^2|^2 + 4h^2(\frac{T}{T_G})^2}} e^{-i\phi}$$

$$\phi = \tanh^{-1} \frac{2h \cdot \left(\frac{T}{T_G}\right)}{1 - \left(\frac{T}{T_G}\right)^2}$$

Buradan çözüm

$$x = \frac{q}{(\frac{2\pi}{T})^2} \cdot \frac{1}{\sqrt{|1 - (\frac{T}{T_G})^2|^2 + 4h^2(\frac{T}{T_G})^2}} \cdot e^{-i(\omega_G t - \phi)} \quad (4.6)$$

elde edilir.

Denk. 4.2 den mutlak ivme şöyle yazılabilir.

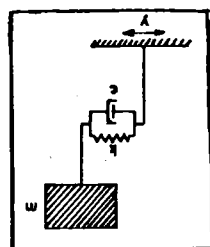
$$x + y = -2h \left(\frac{2\pi}{T}\right) \dot{x} - \left(\frac{2\pi}{T}\right)^2 x$$

ve eğer Denk. 4.6. dakiler, bu denklemde yerine konursa, şu ifade elde edilebilir:

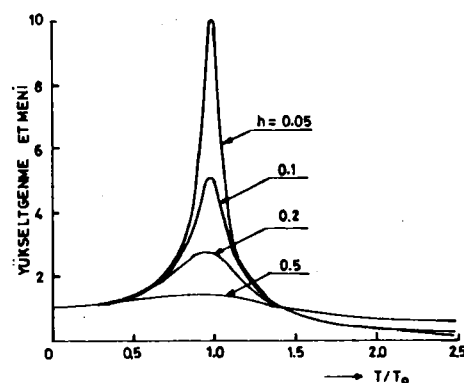
$$\left| \frac{x+y}{x} \right| = \sqrt{\frac{1+4h^2\left(\frac{T}{T_G}\right)^2}{\left[1-\left(\frac{T}{T_G}\right)^2\right]^2 + 4h^2\left(\frac{T}{T_G}\right)^2}} \quad (4.7)$$

ki, bu ivmenin yükseltgenmesini temsil eden bir tanımlama olmaktadır.

Şekil 4.2. de yükseltgenme etmeni  $h$  sonolumüyle birlikte sunulmuştur. Şekil 4.2. den görüldüğü gibi kütlenin ivmesi, sistemin periyodunun zemin periyoduna yaklaşmasıyla ve  $T=T_G$  de enbüyükde erişir. Çok tanınmış olduğu gibi, bu olay rezonans olarak ele alınır.



Şekil 4.1. Yapının Basit Modeli



Şekil 4.2. Zemin ivmesinin yükseltgenmesi

### 3. Karşılık Spektrumu Kayramı - Deprem ivmesi ile Titreşim

Daha genel olarak Denk. 2 deki  $\ddot{y}(t)$  fonksiyonu keyfi bir fonksiyon olmasına göre tam çözümünü tartışalım. 4.2 denklemine karşı gelen homojen denklem:

$$\lambda^2 + 2h\left(\frac{2\pi}{T}\right)\lambda + \left(\frac{2\pi}{T}\right)^2 = 0 \quad (4.8)$$

ve karakteristik denklemin iki kökü

$$\lambda_1^2 + 2h\left(\frac{2\pi}{T}\right)\lambda + \left(\frac{2\pi}{T}\right)^2 = 0$$

$$\begin{array}{l|l} \lambda_1 & = \frac{2\pi}{T} (-h + i\sqrt{1-h^2}) \\ \lambda_2 & \end{array}$$

Bundan dolayı, aslında homojen olmayan Denk. 4.2 ye karşılık çözüm şu biçimde yazılabilir:

$$x = C_1(t) e^{\lambda_1 t} + C_2(t) e^{\lambda_2 t}$$

$C_1(t)$  ve  $C_2(t)$  nin Denk. 4.2. yi sağlaması için, bunların,

$$C_1(t) = -\frac{1}{\lambda_1 - \lambda_2} \int_0^t y(\tau) e^{\lambda_1 \tau} d\tau$$

$$C_2(t) = \frac{1}{\lambda_1 - \lambda_2} \int_0^t y(\tau) e^{-\lambda_2 \tau} d\tau$$

Buradan, göreli yerdeğiştirme, göreli hız ve mutlak ivme, m kütlesi için aşağıdaki biçimlerde ifade edilebilir:

$$x = \frac{1}{2\pi} \int_0^t y(\tau) e^{-wh(t-\tau)} \cdot \sin \omega (t-\tau) d\tau$$

$$\dot{x} = \int_0^t y(\tau) e^{-wh(t-\tau)} \cdot \sin \omega (t-\tau) d\tau \quad (4.9)$$

$$x+y = \frac{2\pi}{T} \int_0^t y(\tau) e^{-\omega h(t-\tau)} \cdot \sin \omega (t-\tau) d\tau \quad (4.9)$$

Bu  $\tau$  zaman parametresidir ki integral alındığında bu ortadan kalkar, ayrıca  $\sqrt{1-h^2} \approx 1$ , 1 in yanında küçük değer olarak varsayılmıştır.

Denk.4.9 da  $x$ ,  $y$  ve  $x+y$ ,  $t, h$  ve  $T$  nin fonksiyonlarıdır. Eğer  $h$  sönümlü etmeniyse  $T$  doğal periyodu verilirse, bunların değerleri  $t$  zamanıyla değişecektir. Bununla birlikte mühendislik amaçları için, bunların maksimum değerleri genellikle daha çok ilgi çekiciliğtedir. Aynı integral ifadesinin üstteki her bağıntıda oluşturduğu gözönüne alarak, maksimum değerler söyle ifade edilebilir.

$$\begin{aligned} x_{\max} &= \frac{T}{2\pi} S_v \\ x_{\max} &= S_v \end{aligned} \quad (4.10)$$

$$(x+y)_{\max} = \frac{2\pi}{T} S_v$$

ki burada

$$S_v = \left[ \int_0^t y(\tau) e^{-\omega h(t-\tau)} \cdot \sin \omega (t-\tau) d\tau \right]_{\max} \quad (4.11)$$

$S_v$  büyüklüğü,  $T$  ve  $h$  min fonksiyonu olup, fizikal hız boyutunu taşımaktadır.

Bir yapıdaki deprem hasarını tartışmada, yapıya etkiyen kuvvetleri yada yapıda oluşan gerilmeler çok kere doğrudan bizi ilgilendirmektedir. Eğer yapı üzerine etkiyen kuvvetlerin maksimum değeri  $Q_{\max}$  ile gösterilirse, bunu şu şekilde yazabiliyoruz.

$$Q_{\max} = k \cdot x_{\max} = m \left( \frac{2\pi}{T} \right) \cdot x_{\max} \quad (4.12)$$

Diğer taraftan aynı kütlede, oldukça rijit bir cisim etkiyecek maximum kuvvet,  $m y_{\max}$  olur. Şimdi  $\bar{q}$  boyutsuz simgesi  $Q_{\max}/m y_{\max}$  oranını saptamak üzere kullanılırsa,

$$\bar{q}(t, h) = \left( \frac{2\pi}{T} \right)^2 \cdot \frac{x_{\max}}{y_{\max}} \quad (4.13)$$

$\bar{q}(T, h)$  büyüklüğü  $T$  periyodu ve  $h$  sönümlünün bir fonksiyondur. Ve  $\bar{q}(0, h) = 1$  olduğu kuşkusuzdur. Daha ötesi, diğer ifade  $\bar{q} = \frac{(x+y)_{\max}}{y_{\max}}$  (4.14)

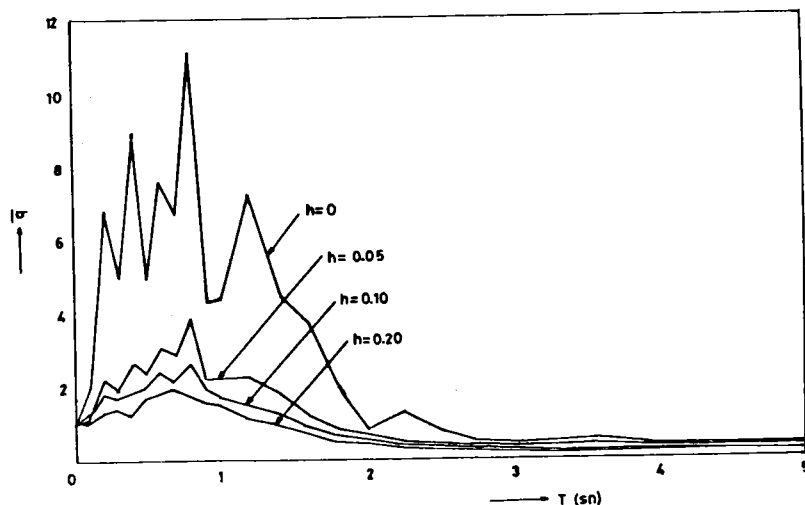
(4.10) dan türetilicektir.

Eğer  $\bar{q}, T$  doğal periyoduna karşı  $h$  sönümlünün çeşitli değerleri için işaretlenecek olursa Şekil 4.3 teki eğri ailesi elde edilecektir. Şekil 4.4 ten anlaşıla-çağı gibi Denk. 4.14 esas olarak sisteme etkiyen mutlak ivmenin bir ifadesidir.

Bundan dolayı Şekil 4.3. deki eğri takımı sistemin normalize edilmiş maksimum ivme karşılık spektrumu yada kısaca normalize ivme spektrum olarak ele alınacaktır. Normalizasyon işleminde en büyük mutlak ivme, zemin ivmesine bölünür ve Şekil 4.3. de görüleceği gibi bütün spektrum eğrileri birden başlarlar

Karşılık spektrumunun hız ve yerdeğiştirme terimlerinde ifade edilebildiği diğer pekçok tanımlarının da varolabileceği açıkları. Hangi tanımlama kullanılırsa kullanılsın, yalnız başına bir depremin özgün ivme-izine bakarak çıkarılması olanaksız sonuçları, bu depremin spektrum eğrisinin biçimine bakarak depremin karakteristikleri ve yapılar üzerindeki etkileri hakkında genel bazı bilgileri çıkarmada bizlere olanaklar tanımı, bir karşılık spektrumunun kullanılmasının çok büyük yararları olduğunu gösterir.

İvme-izinin kendi sisteme etkiyen giriş dalgası olarak verildiğinde karşılık spektrumunu saptamada pekçok yollar vardır. Esas olarak bunlar, Denk. 4.9. un integralinin hesaplanmasında  $T$  ve  $h$  parametre değerlerini de içerir. Son yıllarda bunun hesaplanması çoğu kez sayısal hesaplayıcılar aracılığıyla gerçekleştirilmektedir.



Şekil 4.3. Normalize Edilmiş İvme Spektrumu

#### 4. Değişik Zemin Koşulları İçin Karşılık Spektrumu

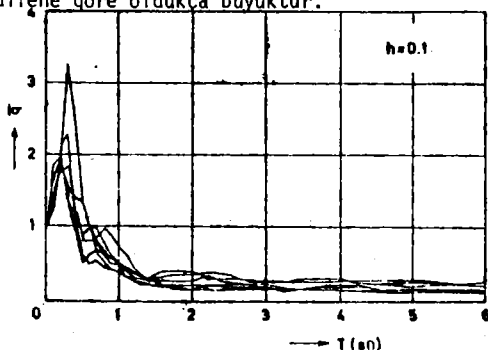
Izlenen kısımda karşılık spektrumu kavramı özetlenmiş bulunmaktadır. Bu bölümde karşılık spektrumunun nasıl değiştiği, başka bir deyişle, değişik zemin koşullarında deprem dalgalarının nasıl değiştiği, tartışılacaktır. (Hisada, 1965)

Japonya'da 300 kuvvetli hareket ivme-izi ölçüleri ülkede, bir uçtan diğer uca yerleştirilmiş olup ayrıca önemli sayıda ivme-izi elde edilmiş bulunmaktadır. Bunların içerisinde iki yıkıcı deprem, Niigata 1964 ve Tokachi-Oki 1968 depremleri bulunmaktadır.

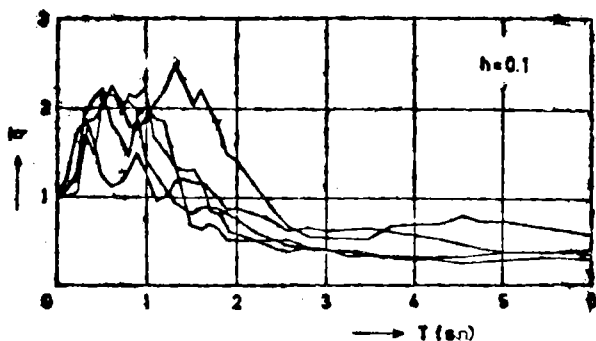
Bu ivme-izlerinden, ki onlar kaya ve diğer sert zeminler üzerindeki yüzeysel temeller üzerinde kaydedilmiş olarak seçilmektedirler; bunların normalize edilmiş spektrumları Şekil 4.4. de bir blok olarak sunulmuş bulunmaktadır. Şekil 4.4. de görülebildiği gibi spektrumlar 0.2-0.3 sn arasında büyük değerlere sahip olup  $\bar{q}$  değerleri periyodun artışıyla keskin bir şekilde azalmaktadır.  $T_{cr}$ , kritik periyodu,  $\bar{q}$  nin birim değerini almasının berisinde ve bütün bu spektrumlar için 1 sn den azdır.

Diğer taraftan genel radye temeller üzerinde kaydedilen karşılık spektrumları bu temellerin çok tabaklı zeminlerin bulunması durumunda Şekil 4.5. de gösterilmiştir. Genelde bu spektrum 0.3 sn.-1.3 sn. ye kadar geniş bir aralıkta birkaç tane tepe noktasını kapsar, bazıları 2.5 sn. ye kadar uzayabilir. Bu gerçek, depremin yapı üstünde etkittiği büyük kuvvetin, periyot aralığının çok geniş kısmını içerdigini göstermektedir.

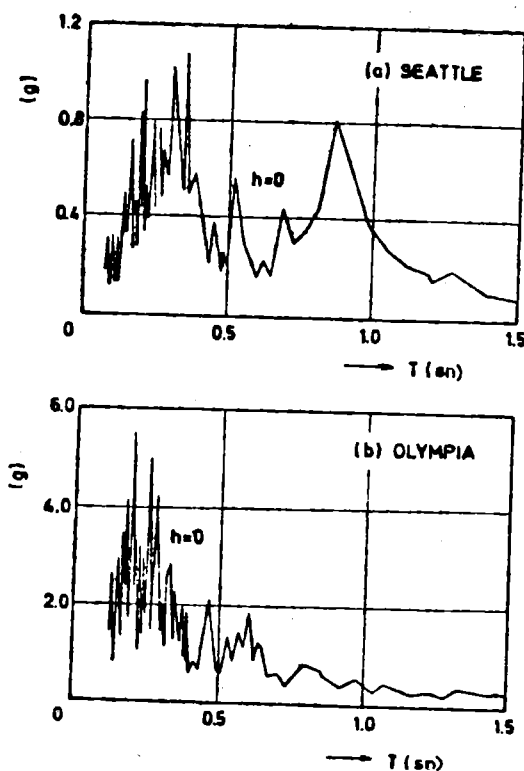
Benzer olarak Japonya dışında karşılaşılan örnek, Şekil 4.6'da gösterilmiştir. (Aford v.d., 1951, Duke, 1958) Şekil 4.6 Şekil 4.6(a) ve (b) aynı deprem için 1949 da fakat Seattle ve Olimpia'da gözlenmiş karşılık spektrumlarıdır. Kaynak uzaklığının her ikisi için hemen aynı olmasına karşın spektrumun şekilleri birbirinden açıkça ayrılır. Ayrıca deprem kuvvetinin büyülüklüğü bakımından Olimpia'da sağlam zemin üzerinde elde edilen sonra da doldurulan üzerine yerleşmiş Seattle'da elde edilene göre oldukça büyktür.



Şekil 4.4. Kayalık ve Sert Zeminlerde Normalize Edilmiş İvme Spektrumu



Şekil 4.5. Çok Tabakalı Yumuşak Zeminler İçin Normalize Edilmiş İvme Spektrumu

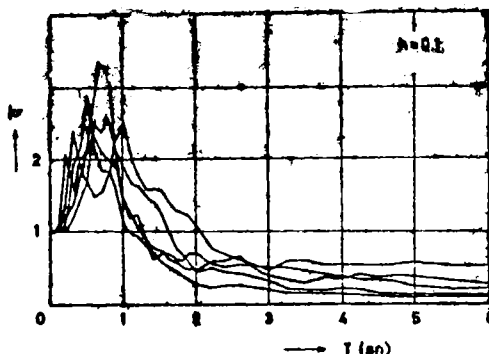


Şekil 4.6. Aynı Depremin Değişik Zemin Koşullarında İvme Karşılık Spektrumu (Alford v.d., 1951, Duke, 1958)

### 5. Değişik tipte temeller için karşılık spektrumu

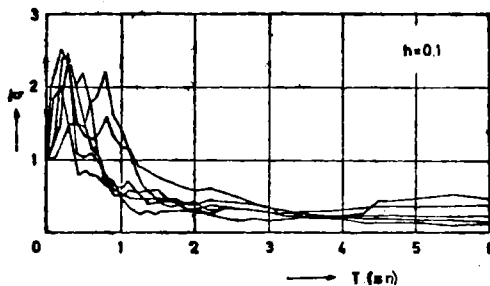
Bazı kuvvetli ivme-izi ölçerler yumuşak, derin alüvyon yığışımları içine çakılmış kazıklar üstündeki yapılara yerleştirilmişlerdir. Kazıklar betonarme olup 35-50 cm ye kadar aralıkta çanlara sahiptirler.

Bu temellerin, yatay deprem kuvvetleri ve zemin basınçları altında çok rıjıt oldukları düşünülemez. Bu tip ivme izleri (Hisada v.d. 1965) Şekil 4.7. de gösterilmiştir. Tepelerin pekçoğu 1 sn. den daha küçük periyotlarda gözük-mektedirler ve kritik periyotları 2 sn içerisindeindedir. Fakat bir kural olarak özelliklerinin, Şek.4.5 deki yüzeysel temellerden çok açık şekilde ayrılabilirliği düşünülebilir.



Şekil 4.7. Yumuşak Zeminlerde Kazıklı Temeller İçin  
Normalize Edilmiş Ivme Spektrumu

Diğer taraftan derin temeller için karşılık spektrumları da elimizde vardır ve bunlar Şekil 4.8. de gösterilmiştir. Kesonlar yüksek yatay rıjitlikte sahiptirler ve narin kazıklara göre 1.4-3.2 m ye kadar geniş çapları vardır. Bunlar yumuşak alüvyon yığınlarının içinden alttaki sert tabanın üstüne yerlesirler. Fakat Şekil 4.8. de görüldüğü gibi bunların karşılık spektrumları Şekil 4.4. deki sıkı zeminlerde elde edilene benzemektedir.



Şekil 4.8. Yumuşak Zeminlerde Keson Temeller İçin Normalize Edilmiş İvme Spektrumu

#### 6. Deprem Dalgalarının Yayılması

Şekil. 4.9. da kayma dalgaların tek boyutlu olarak aşağı doğru, z ekse- ni doğrultusunda homojen kütleli zemin içinde hareket ettiği basit durumu varsayılmı. Eğer sonsuz küçük, birim enkesitli alan elemanı Şekil 4.9.b de gözönüne alınırsa, eleman denklemi

$$\rho \frac{\partial^2 u}{\partial t^2} = - \frac{\partial \tau}{\partial z} \quad (4.15)$$

ki burada,

$\rho$  = yoğunluk

$u$  = enine yerdeğiştirme

$\tau$  = kayma gerilmesi olur

Kayma gerilmesi  $\tau$  ile  $u$  yerdeğiştirmesi arasındaki bağıntı

$$\tau = G \frac{\partial u}{\partial z}$$

Denk. 4.15 şöyle yazılabilir.

$$\rho \frac{\partial^2 u}{\partial t^2} = G \frac{\partial^2 u}{\partial z^2} \quad (4.16)$$

ki burada  $G$ , zemin kütlesinin rijitlik modülüdür.

Bu 4.16 kısmi diferansiyel denklemin çözümü çok bilinen şekilde,

$$u = f_1(t - \frac{z}{V}) + f_2(t + \frac{z}{V}) \quad (4.17)$$

burada  $f_1$  ve  $f_2$  keyfi fonksiyonlar ve  $V$  kayma dalgasının yayılma hızı olup

$$V = \sqrt{\frac{G}{\rho}} \quad \text{olur.}$$

Denk. 4.17.  $f_1(t-z/V)$  ve  $f_2(t+z/V)$  yayılma dalgaları olup ilki ilerleyen (progressive) ikincisi gerileyen (retrogressive) dalga olarak ele alınır. Eğer zemin yüzeyi kayma gerilmesi yönünden serbest ise, öyleyse

$$G \left| \frac{\partial u}{\partial z} \right|_{z=0} = G \left| \frac{\partial f_1}{\partial z} + \frac{\partial f_2}{\partial z} \right|_{z=0} = \frac{G}{V} \left[ - \frac{df_1(t)}{dt} + \frac{df_2(t)}{dt} \right] = 0$$

Bundan dolayı

$$\frac{df_1}{dt} = \frac{df_2}{dt} \quad \text{veya } f_1 = f_2 \quad \text{elde edilir.}$$

Buradan şu yazılabilir.

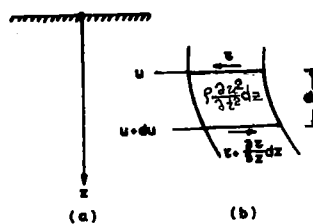
$$u = f(t - \frac{z}{V}) + f(t + \frac{z}{V})$$

Daha ilerisi, zemin yüzeyindeki deplasman  $u_s$  ise

$$u_s = |u|_{z=0} = 2f(t) \quad \text{dir.}$$

Zemin kütlesi içerisindeki herhangi bir noktadaki yerdeğiştirme,  $u_s(t)$  aracılığıyla ifade edilebilir. Yani, zemin yüzeyindeki dalga biçimini şu şekilde olabilir.

$$u(t, z) = \frac{1}{2} \left[ u_s(t - \frac{z}{V}) + u_s(t + \frac{z}{V}) \right] \quad (4.18)$$



**Şekil 4.9. Kayma Dalgası Etkisinde Sonsuz Küçük Elemanın Dengesi**

Kayma dalgalarının önemli karakteristiklerinden birisi, zemin kütlesi içerisindeindeki yayılmalar sırasında, değişik özelliklerdeki iki zemin tabakasının sınırında yansıtma ve geçmenin yer almazıdır. Varsayıyalım ki, Şekil 4.10. da gösterilen iki zemin tabakası  $z=0$  da bir düzleme sınırlanmıştır. 1 ve 2 indisleri üst ve alt tabakaları göstermektedirler. Keza üst tabakadaki kayma dalgasını şöyle ifade edelim.

$$u_2(t,z) = f_1\left(t - \frac{z}{v_2}\right) + f_2\left(t + \frac{z}{v_2}\right), \quad v_2 = \sqrt{\frac{G_2}{\rho_2}}$$

Alt tabakada ise

$$u_1(t,z) = g_1\left(t - \frac{z}{v_1}\right), \quad v_1 = \sqrt{\frac{G_1}{\rho_1}}$$

Burada  $f_2\left(t + \frac{z}{v_2}\right)$  yansıyan dalgayı,  $g_1\left(t - \frac{z}{v_1}\right)$  alt kata geçen dalgayı göstermektedir.

$z=0$  sınırında, yerdeğiştirmeler ve her iki tabakadaki kayma gerilmeleri eşit olmak zorundadır. Yani,

$$u_2(t,0) = u_1(t,0) \quad (4.19)$$

ve

$$G_2 \frac{\partial}{\partial Z} u_2(t,0) = G_1 \frac{\partial}{\partial Z} u_1(t,0) \quad (4.20)$$

(4.19) koşulundan,

$$f_1(t) + f_2(t) = g_1(t) \quad (4.21)$$

ve, (4.20) koşulundan,

$$\frac{G_2}{V_2} \left[ - \frac{d}{dt} f_1(t) + \frac{d}{dt} f_2(t) \right] = - \frac{G_1}{V_1} \cdot \frac{d}{dt} g_1(t)$$

yada integrasyonla

$$\alpha [ - f_1(t) + f_2(t) ] = - g_1(t) \quad (4.22)$$

Burada

$$\alpha = \frac{\rho_2 V_2}{\rho_1 V_1}$$

Bundan dolayı, (4.21) ve (4.22) denklemlerinden

$$g_1(t) = \frac{2\alpha}{1+\alpha} f_1(t), \quad f_2(t) = - \frac{1-\alpha}{1+\alpha} f_1(t)$$

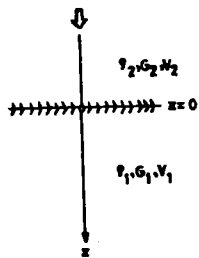
yada

$$\text{geçen dalga : } g_1(t - \frac{z}{V_1}) = \frac{2\alpha}{1+\alpha} f_1(t - \frac{z}{V_2}) \quad \left. \right\} \quad (4.23)$$

$$\text{yansıyan dalga: } f_2(t + \frac{z}{V_2}) = - \frac{1-\alpha}{1+\alpha} f_1(t - \frac{z}{V_2})$$

olur.

Burada dikkat edilecek nokta üst tabakadan alt tabakaya geçişin  $\alpha$ nın artı-şıyla daha fazla olduğu, diğer bir deyişle alt tabakanın daha fazla yumuşak olduğunda bunun söz konusu olduğunu.



Şekil 4.10, İki Zemin Tabakasının Sınırı

Bundan sonra Şekil 4.11, deki değişik özelliklerdeki alt tabakanın üstündeki  $H$  yüksekliğindeki üst tabaka durumunu düşünelim. Yine aşağıda 1 ve 2 indisleri üst ve alt tabakaları sırasıyla göstermiş olmaktadır. Denk. 4.18.'e göre üst tabakadaki yer-değiştirme şöyle ifade edilebilir,

$$u_1(t, z) = \frac{1}{2} \left[ u_s \left( t - \frac{z}{v_2} \right) + u_s \left( t + \frac{z}{v_2} \right) \right], \quad 0 \leq z \leq H$$

ve alt tabakada yerdeğiştirmenin fonksiyonel biçimini şu şekilde ifade edilebilir.

$$u_1(t, z) = g_1 \left( t - \frac{z-H}{v_1} \right) + g_2 \left( t + \frac{z-H}{v_1} \right), \quad H \leq z$$

İki tabakanın sınırlarında  $z=H$ , yerdeğiştirme ve kayma gerilmeleri sürekli olmalıdır;

$$u_2(t, H) = u_1(t, H) \tag{4.24}$$

ve

$$G_2 \frac{\partial}{\partial z} u_2(t, H) = G_1 \frac{\partial}{\partial z} u_1(t, H) \tag{4.25}$$

4.24 deki koşuldan

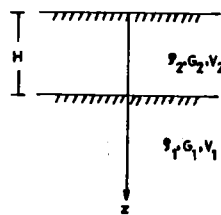
$$\frac{1}{2} \left[ u_2(t - \frac{H}{V_2}) + u_2(t + \frac{H}{V_2}) \right] = g_1(t) + g_2(t)$$

ve, 4.25 koşulundan

$$\frac{1}{2} \rho_2 V_2 \frac{d}{dt} \left[ -u_s(t - \frac{H}{V_2}) + u_s(t + \frac{H}{V_2}) \right] = \rho_1 V_1 \frac{d}{dt} \left[ -g_1(t) + g_2(t) \right]$$

Bundan dolayı,

$$g_2(t) = \frac{1}{4} \left[ (1-\alpha) u_s(t - \frac{H}{V_2}) + (1+\alpha) u_s(t + \frac{H}{V_2}) \right] \quad (4.26)$$



Sekil 4.11. İki Tabakalı Sistem

Şu belirtilmelidir ki, Denk. 4.26'daki  $g_2(t)$  gerileyen dalgası aşağıdan yukarıya doğru olan sismik dalgayı temsil etmektedir.

Şimdi, yüzey dalgası ve başlangıç sismik dalgası sırasıyla şu şekilde temsil edildiğini varsayalım.

$$u_s(t) = A_s \exp(i \frac{2\pi t}{T})$$

ve

$$g_2(t) = a \exp(i \frac{2\pi t}{T})$$

Bunların Denk. 4,26 da yerlerine konmasıyla

$$a = \frac{A_s}{4} \left[ (1-\alpha) \exp \left( i \cdot \frac{2\pi H}{TV_2} \right) + (1+\alpha) \exp \left( i \cdot \frac{2\pi H}{TV_2} \right) \right]$$

Karmaşık değişkenlerin şu bağıntılarını gözönüne alarak,

$$\frac{e^{i\theta} + e^{-i\theta}}{2} = \cos\theta \quad , \quad \frac{e^{i\theta} - e^{-i\theta}}{2} = \sin\theta$$

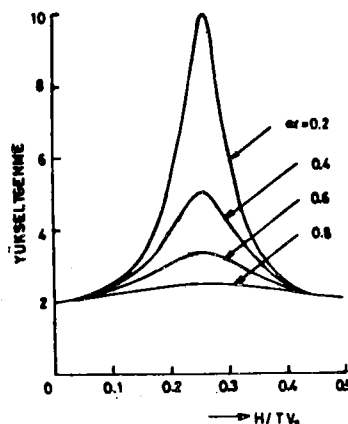
aşağıdaki ifadeler elde edilirler.

$$a = \frac{A_s}{2} \left[ \cos \left( \frac{2\pi H}{TV_2} \right) + i\alpha \sin \left( \frac{2\pi H}{TV_2} \right) \right]$$

veya

$$\left| \frac{A_s}{a} \right| = \frac{2}{\sqrt{\cos^2 \left( \frac{2\pi H}{TV_2} \right) + \alpha^2 \sin^2 \left( \frac{2\pi H}{TV_2} \right)}} \quad (4.27)$$

Böylelikle Denk. 4.27 nin yüzey dalgasının genliğinin giriş sismik dalgasının kine oranı temsil ettiği gözlenebilir. Oran, yüzey yükseltgenmesi ya da daha kesin deyişle iki tabakalı sistemde yüzey dalgasının varlığıyla titreşim genliğinin yükseltgenmesi olarak ele alınabilir. Şekil 4,12. de yükseltgenme  $H/TV_2$  değerlerine karşılık olarak  $\alpha = \rho_2 V_2 / \rho_1 V_1$  parametresinin değişik değerleri için işaretlenmiştir. Şekil 4,12, de genliğin serbest yüzeyde, zemin titreşimin periyodu  $4H/V_2$  değerine eşit olduğunda en fazla yükseltgendeki gözükmektedir. Keza şu görülebilir ki, üst tabakanın kalınlığının artması oranında hakim periyot uzar,  $\alpha$  parametre değeri küçüldüğünde yüzey yükseltgenmesi daha belirginleşir, Diğer deyişle üst tabaka daha yumuşak malzemeden oluşan zemin ise böyle olması beklenir,



Şekil 4.12. Başlangıç Dalgasının Yüzeydeki Yükseltgenmesi

#### V. Deprem Hasarını Etkileyen Faktörler

Böl. III, de deprem hasarı ile yerel zemin koşulları arasındaki ilişkilere değinen, olağanlı olduğu ölçüde nicelik olarak kısa gerçekler (amprik) özetlenmiş olup, bu ilişkiler arasında bazı yönsemeler belirtilmiştir. Bunlardan bazıları uyumakta bazıları zıtlaşmaktadır. Bu gözlem ve deneyimlerin oluşturduğu kısa gerçekleri nasıl yorumlamak gereği ile onları kuramsal yönden nasıl gerçeklemek gereği uzunca tartışılmış bulunmaktadır. Bazı tartışmalar ikna edici olarak gözükürken diğerleri halâ yeteri kadar ikna edici değildir. Yazارın düşüncesi, şimdiki durumda e yararlı olan şeyin çok daha kapsamlı çözümle bir sonucu oluşturmayı amaçlıyarak çok sayıdaki tek etmenlerin içinde zemin koşullarının etkisini gidermek şeklinde dir.

Bu durumda deprem hasarıyla ilişkide daha fazla öneme sahip oldukları gözüken bazı etmenler belirtilecek ve söylece açıklanacaklardır:

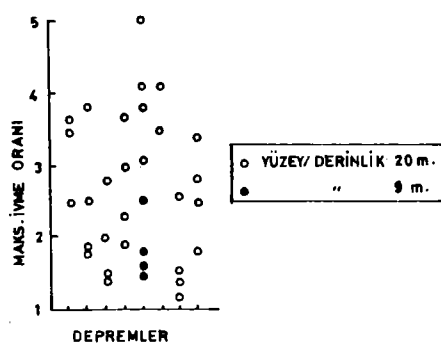
##### 1- Zemin Tabakaları Tarafından Deprem Hareketinin Yükseltgenmesi

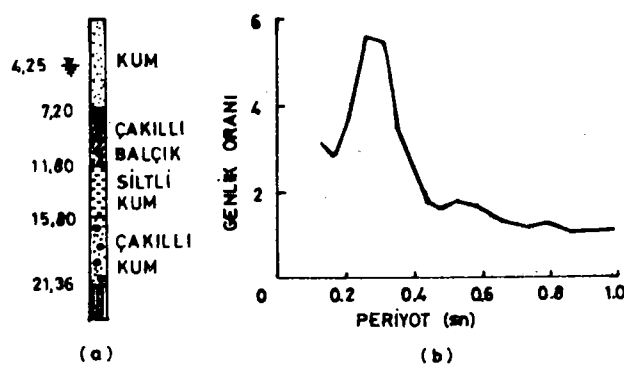
Şekil 4.12. de gösterildiği gibi, deprem dalgası yüzey tabakasına göre zemin yüzeyinde dalganın periyodunun  $4H/V_2$  değerine eşit olmasına aşırı şekilde yükseltgenmektedir. Burada  $H$  yüzey tabakasının derinliği ve  $V_2$  de tabakadan geçen kayma dalgasının hızını göstermektedir.  $4H/V_2$  terimi, tek başına yüzey tabakasının doğal periyodunu temsил etmekte olup çoğunlukla zeminin hakim periyodu olarak ele alınır. Böylelikle yükseltgenme, yüzey tabakasının özel bir periyotla gelen dalganın titreşmesiyle, rezonansı olarak açıklanabilir.

Keza Şekil 4.12, de  $\alpha$  parametresinin azalmasıyla rezonans noktasında genliklerin arttığı, bunun küçük değeri almasının yüzey tabakasının daha yumusak malzemeden oluşması anlamına geldiği görülebilir.

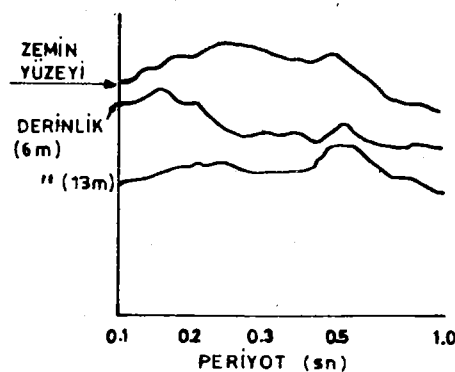
Bu esaslar çok bilinen bir kavramı gerçeklemedektedir ki o da, derin yumuşak zeminlerin birliği yerlerde, deprem hasarının, özellikle büyüğen, ahşap yapılar söz konusu ise oldukça artmaktadır. Şekil 4.12. basit harmonik sismik dalgaının varsayımlıyla elde edilmiştir ki, gerçek deprem çeşitli periyotlarda sayısız dalgadan ibaret olmaktadır. Herseye karşın yukarıdaki tartışma haklı olabilmektedir. Bir rezonans periyoda sahip olan dalgalar sürekli titreşim sırasında zemin tabakası tarafından seçilecektir,

Şekil 5.1. den 5.4 e kadar bazı ölçüm sonuçları deprem hareketinin yükseltgenmesini açıklamak üzere gösterilmişlerdir. Şekil 5.1. de maksimum ivmelerin oranları zemin yüzeyinde ve 9-20m arasındaki derinliklerde Tokyo Marunichi de sekiz deprem için işaretlenmiş olup burada, zemin altında sert, çakılı bir tabakanın üstünde 20m kalınlıkta siltli ve killi yüzey tabakası oluşturmaktadır. (Saita ve Suzuki, 1934). Şekil 5.2.(b) ise zemin yüzeyindeki genliklerin 21,1m derinlikte olana göre esas dalgaların verdiği oranı her periyoda karşılık temsil etmektedir. (Kanai 1961). Üçlüen yerdeki zemin koşulu Şekil 5.2. (a) da gösterilmiştir. Gerçeklenmiş bulunmaktadır ki, en büyük yükseltgenme oranı 25m lik yeraltı su düzeyine kadar varan nemli-kumlu en üst tabaka zeminin titreşimle, 0,3 sn dolayında olmuştur. Şekil 5.3. ise yüzeyde ve 36mx42m boyutundaki kazı tabanında gözlenen genlik spektrumunu derinliğin sırasıyla 6 m ve 13m olması durumlardır. (Toriumi 1968)

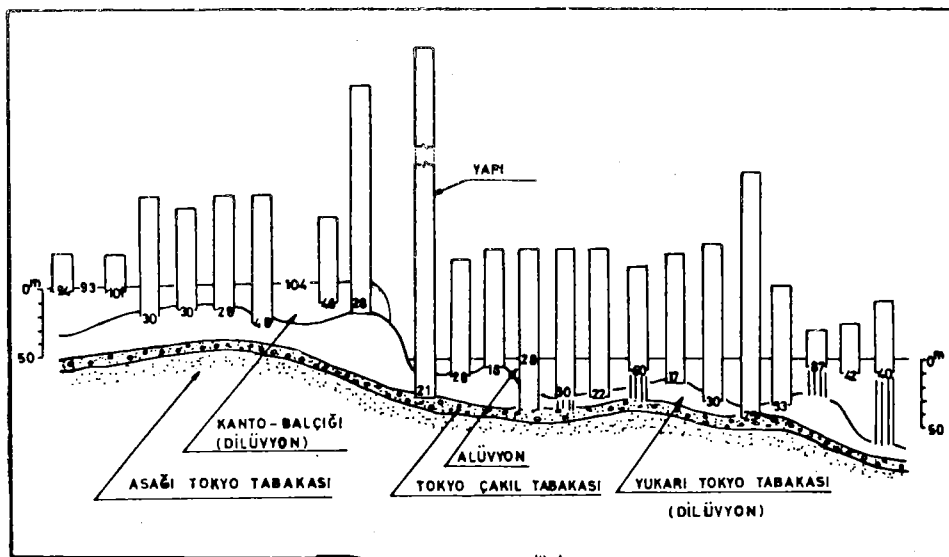




Şekil 5.2. Yüzey Tabakalarında Genliklerin Yükseltgenmesi  
(Kanai, 1961)



Şekil 5.3. Kazı Dibinde ve Zemin Yüzeyinde Gözlenen  
Genlik Spektrumu (Töriumi, 1968)

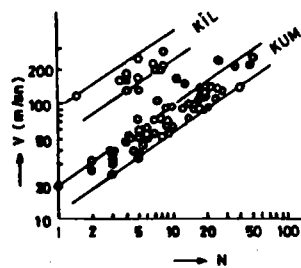


**Şekil 5.4. 1968 Higashi-Matsuyama Depremi Sırasında Çeşitli Yerlerde Gal Cinsinden Kaydedilmiş Enbüyük İvmeler**

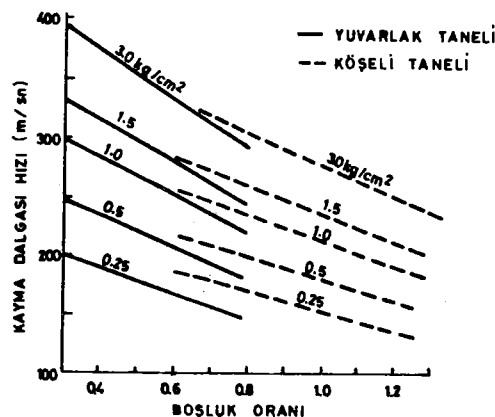
Şekil 4.12. ye ilişik önceki belirtilmiş tartışmalarda, kayma dalgasının hızının yüzey tabakaları boyunca önemli bir rol oynadığı dikkat çekicidir. Elde var olan sayısız kayma dalgası hızının arazi ölçümlerinden yalnızca burada birkaç örnek alınmış olup, Şekil 5.5. kayma dalgası hızlarıyla standart penetrasyon testlerinin N değerleri arasındaki ilişkiyi (Kanai, 1961) ve Şekil 5.6.laboratuuardaki ölçümlerin sonuçlarını vermektedir. (Hardin ve Richart, 1963)

## 2- Zeminlerin ve Yapıların Rezonansı

Önceki pragrafta yüzeydeki zemin tabakasının rezonans tartışılmış bulunmaktadır. Benzer olarak zemin ile yapılar arasında rezonans olasıdır ve gerçekten bu, her zaman yapıların hasarıyla sonuçlanmaktadır. Şekil 4,2,de analitik olarak gösterilmiş olduğu gibi titreşen bir sistem üzerine etkilenen ivme, sistemin doğal periyodunun titresimin periyoduyla çakışması sonucunda aşırı derecede artar. Gerçek depremlerde böyle bir durum olasılığı yapının doğal periyodunda veya onun çevresinde bulunmasıyla oluşacaktır.



Şekil 5.5. Kayma Dalgası Hızı ve Standart Penetrasyon Deneyi (Kanai, 1961)



Şekil 5.6. Kayma Dalgası Hızının, Boşluk Oranı ve Normal Gerilme ile Kuru Yuvarlak ve Köşeli Daneli Kumlarda Değişimi (Hardin ve Richart, 1963)

Gerçek şu ki, Şekil 3.19 da gösterildiği gibi betonarme yapıların, hasar oranlarının sağlam zemin üzerindeki yukarı Tokyo'da daha yüksek oluşu, bu yapıların daha yüksek rıjilikte bulunması ve sonuçta kısa periyotlarıyla aşağı kesimdeki yumuşak zemin yıığını üzerindeki yapılarından daha fazla rezonans oluşturma şanslarının bulunması yönünden açıklanabilir. Sonuç olarak da ahşap yapıların düşük rıjilikleriyle Tokyonun aşağı kesimlerinde daha çok hasar gördüğü ve buna benzer

örneklerde diğer derin alüyyon birikimlerde de karşılaşıldığı söylenebilir.

Bununla birlikte şu anımsanmalıdır ki, Şekil 4.2. deki eğriler kararlı durum titreşimleri varsayımlıyla çıkarılmıştır ki burada gerçek deprem kararlı olmayıp daha çok rastgele dalgaların üst üste gelmesinden oluşur. Bundan dolayı, yükseltgenme oranıörneğin, sönüüm etmeni  $h = 0,1$  için 5 yöresinde oluşу gerçekçi olamaz ve Şekil 4.4. veya Şekil 4.7. de aynı sönüüm oranları için gerçek oranların 3 civarında olduğunu görmüş bulunmaktayız. Kesin bir söyleyişle şu bilinir ki sonuncu durum yarı rezonans olarak ele alınmalıdır. Buna karşılık halâ, yapının büyük yükseltgenmiş ivmelerle, onun doğal periyodunun davranış spektrumundaki piklerin yöresine düşmesiyle karşılaşacağı durum vardır.

### 3- Titreşim Enerjisinin Salınması

Yapıya kadar gönderilmiş olan deprem dalgaları onun içinden yukarı doğru çıkışarak yapının tepesine varırlar. Orada yansıyarak aşağıya dönerler. Yapının tabanına vardığında dalgın enerjisinin bir kısmı zemine asla geri dönmemesine gönderilir. Bu gerçek Şekil 4.10 da daha üst tabakanın bir yapı olarak alt tabaka Üstüne oturduğu şeklinde ele alınırsa daha iyi anlaşılabılır. Böylelikle yapıdaki titreşim enerjisi zemin içeresine salınır ve sonuçta yapının enerjisi derece derece azalmaya başlar. Bundan dolayı enerji salınmasının etkisi iç sönüümün etkisiyle özdeştir.

Bu gerçek belki başka bir yolla açıklanabilir. Şöyle ki, A alanına sahip bir yapı tabanında zemine verilen yatay hareket  $u=u(t)$  olduğu varsayılsa, öyleyse ilerleyen kayma dalgası

$$u=u(t-\frac{z}{v_s})$$

zeminde üretilir ki burada  $v_s$ , kayma dalgasının yayılma hızıdır ve  $\sqrt{G/\rho}$  ya eşittir.  $Q$  kesme kuvveti, yapı tabanına uygulanan şekliyle

$$Q = GA \left| \frac{\partial u}{\partial z} \right|_{z=0}$$

olar.

$$\frac{\partial u}{\partial z} = -\frac{1}{v_s} \frac{\partial u}{\partial t}$$

ilişkisi göz önüne alarak  $Q$  şöyle yazılabilir.

$$Q = \frac{GA}{v_s} \left| \frac{\partial u}{\partial t} \right|_{z=0} \quad (5.1)$$

Denk. 5.1, Q karşı koyma kuvvetinin yüzeydeki  $(\frac{\partial u}{\partial t})_{z=0}$  hızıyla orantılı olduğunu, (4,1) denkleminde daha önce tartışılan cök sönüm terimindeki artışını katarak vermektedir.

Şurasını belirtmek ilginç olacaktır ki zemindeki rıjitleğin azalması sönümlerin artmasıyla sonuçlanarak daha fazla enerji yapıdan salınmış olmaktadır.

Bu gerçek (4.23) denkleminde daha önce belirtildiği gibi,  $\alpha$ nın büyük değerleri için üst tabakadaki kayma dalgalarının daha çok aşağı tabakaya gönderildiği anımsandığında kolayca anlaşılabılır. Bu eğilim (Tajimi 1965) analitik olarak şöyle bir denkleme ifade edilmiştir:

$$\frac{h}{h_{k=\infty}} = \sqrt{\frac{k/k_G}{1+(k/k_G)}}$$
 (5.2)

Burada:  $h$  = gözükür sönümlenmeni

$h_{k=\infty}$  = sonsuz rıjite cisim için sönümlenmeni

$k$  = yapının rıjitleğini

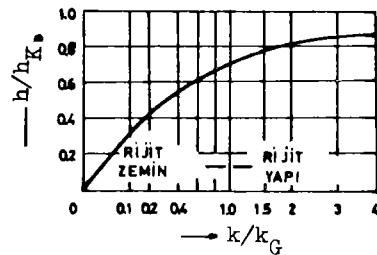
$k_G$  = zeminin rıjitleğini

Denk. 5.2. deki ilişki Şekil 5.7. deki eğriyle temsil edilebilir.

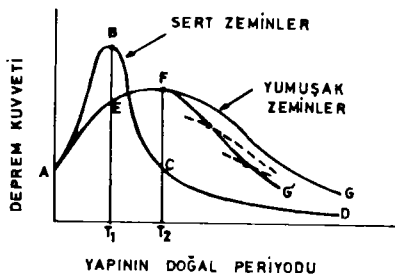
Tokyonun alt kesiminde betonarme yapılarının rıjitleğinin zemin rıjitleğine oranı yukarı kesimdekine göre daha fazladır; bundan dolayı daha büyük sönümlenmenin beklenmesi açıktır. Tablo 3.3 de karşılaştırıldığı gibi, daha küçük göçme oranının aşağı kesiminde gözlenmiş olma gerçeği, bu yönden bakıldığından açıklanması olanaksız olmayacağıdır. Özellikle tuğla yapılara olan deprem hasarı için enerji salınımının etkisi, Şek. 3.1 deki rezonans olayından oldukça fazla öneme olduğu gözükmektedir.

#### 4- Gelişen Göçme

Daha önceden kuvvetli hareketlerin ivme izlerinin analizinden, normalleştirilmiş ivme spektrumu sert ve yumuşak zemin için Şekil 5.8. deki gibi sırasıyla ABCD ve AEFG eğrileriyle şematik olarak gösterilebileceği öğrenilmiştir. Yani davranış spektrumu sert zemin için kısa periyotta belli bir pik değerine sahip olurken, yumuşak zeminlerde daha yaygın bir pik, daha yaygın bir periyot aralığında oldukça uzun bir periyoda kadar uzanmaktadır. Şimdi de depreme uğramış bir yapının periyodunun  $T_1$  civarına düşüğünü varsayıyalım. Zeminlerin sağlamlığına bakmaksızın, B ya da E noktalarıyla gösterildiği gibi, yapıya gelen dalga büyük olacaktır, olasılıkla yapıda çatlamalara ve yerel göçmelere neden olacaktır. Çok iyi bilinen bir şey de çatlama yeye yerel yıkılma olursa yapının doğal periyodu  $T_1$  den daha uzun, diyelim ki,  $T_2$  ye uzayacağıdır.



Şekil 5.7. Zemin ve Yapının Rijitlik Oranlarının Enerji Saçılması ile Sönüme Etkileri



Şekil 5.8. Ardışık Göçmenin Açıklanması

Bu durumda yapı sert bir zemin üzerinde bulunursa, gelen dalga, Ç noktasıyla gösterildiği şekilde karşılık spektrumu eğrisinin aşağı doğru dik eğimi yüzünden oldukça küçük olur, buna karşılık yumuşak zeminde hemen hemen aynı, hatta bazı özel durumlarda F noktasıyla gösterildiği gibi artabilir. Bundan dolayı sonuncu durumda çatlama ya da yerel göçme gelişmeye devam eder ve büyük olasılıkla önceki durumdaki yapının tümden göçmesine açık şekilde neden olur.

Burada şu keza belirtilmelidir ki, doğal periyodun uzamasıyla birlikte yapıda yerel yıkılma veya çatlak oluştuğunda sönüm artar, sonuç olarak davranış eğrisi göçmenin gelişmesiyle daha aşağıya inmeye yönelerek Şekil 5.8. deki kesik çizgiyle belirtilen biçimini alır. Bundan dolayı da yapıya giren dalga olasılıkla FG eğrisi yerine FG' gibi belirli bir eğriyi izler.

#### 5. Farklı Oturmalar (Differential Settlement)

Geçmişte büyük depremlerde, farklı oturmalar yüzünden ortaya çıkan yer değiştirmelerin ahşap yapılara olan hasarda önemli rol oynadığı çok sık belirtildmiştir. (Kanai, 1947, Otsuki ve Kanai 1961) Betonarme yapılar için öne sürülen diğer bir olasılık da deprem sırasında farklı oturmalarla üst yapıda oluşan ek gerilmeler, titreşim sonucu gerilmelerle birleşerek yapıyı büyük hasarlara uğratmış olabileceğidir. (Takayama, Ohsaki, 1955)

Farklı oturmaların sağlam zeminden çok, yumuşak zeminlerde meydana gelmesi daha fazla olasıdır; fakat zeminin taşıma kapasitesi gözükür şekilde yeterli olsa bile, farklı oturmanın etkisinin göz yumulmaması gereği basit hesaplamalarla aşağıda belirtilebilir.

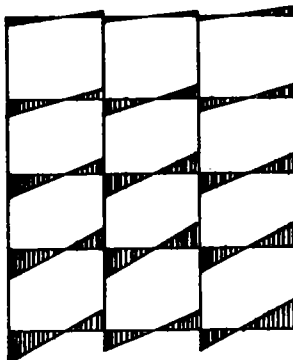
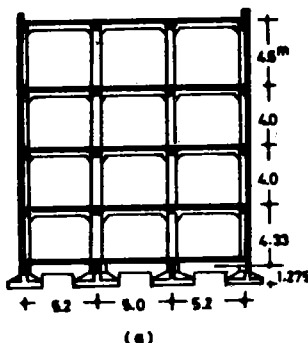
Şekil 5.9.(a) da gösterildiği gibi herzaman tipten bir betonarme yapı ve  $20 \text{ t/m}^2$  lik taşıma kapasitesine izin verecek onun altında bir zemin varsayıyalım. Alt tabaka reaksiyon katsayısının (subgrade reaktion)  $7,5 \text{ kg/cm}^3$  olduğunu varsayımak pek de kurallara aykırı olmayacağından emin oluyoruz. Üzeyse temel alanı A, her temel için şöyle saptanabilir:

$$A = \frac{P}{20}$$

burada P her temelin üzerine gelen yükü gösterir. Böylelikle temas basıncının her temel için üniform olmasıyla, statik durum için farklı oturmalarдан dolayı hemen hemen hiç güçlükle karşılaşmayıza.

Şimdi de bu yapının kat hizalarına, ölü yükle birlikte hareketli yükün yüzde 20 oranına eşit, hemen hemen tüm yönetmeliklerdeki, klasik tasarımda, deprem kuvvetlerini temsil eden yatay yükün etki ettiğini varsayıyalım. Sonra, bu yükleme altında temas basıncında yer alacak değişiklikler, binanın yapısal elemanlarında ek gerilmeleri başlatacak farklı oturmaya neden olur. Şekil 5.9(b) kirişlerdeki eğilme momenti diyagramı gösterilmiş olup gölgeli alan farklı oturmadan dolayı oluşmaktadır.

Böylesine ek gerilmelere klasik tasarım yönteminde izin verilmez. Buna karşın önemli büyülükteki bu gerilmeler belirli durumlarda önceden belirtildiği şekilde deprem hasarlarına neden olur.



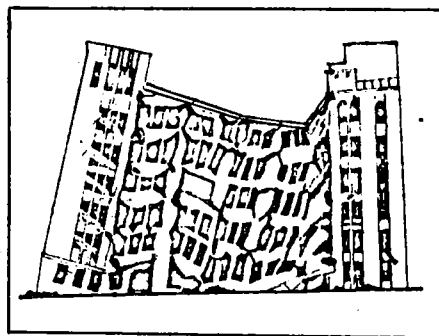
Şekil 5.9. Farklı Oturmalardan Dolayı Oluşan Ek Eğilme Momenti

Eğer yapı altındaki zemin koşullarında düzensizlikler varsa, farklı oturma daha kolaylıkla oluşur ve etkisi üstteki örnekten daha ciddi olur. 1948 deki Fukui depremi sırasında 6 katlı betonarme alışveriş merkezi ağır bir şekilde, Şekil 5.10. da görüldüğü gibi hasar gördü. Hasarın, yapının merkezi kısmında bölgesel olarak eski bir hendeği örtен dolgu zemininde, yaklaşık 65 cm lik farklı oturmadan olduğu şeklinde yorumlanmıştır. (Hausner, 1954)

#### 6. Özeti

Bu bölümde deprem hasarına ilişkin bellibaşlı öneme sahip çeşitli etmenler belirtilmiş ve tartışılmış bulunmaktadır.

- (1) Zemin tabakalarınca deprem hareketinin yükseltgenmesi
- (2) Zeminler ve yapıların rezonansı
- (3) Titresim enerjisinin yayılması
- (4) Birbirini izleyen göçmeler
- (5) Farklı oturma



**Şekil 5.10, 1948 Fukui Depreminde Daiwa Alışveriş Merkezindeki Göçme**

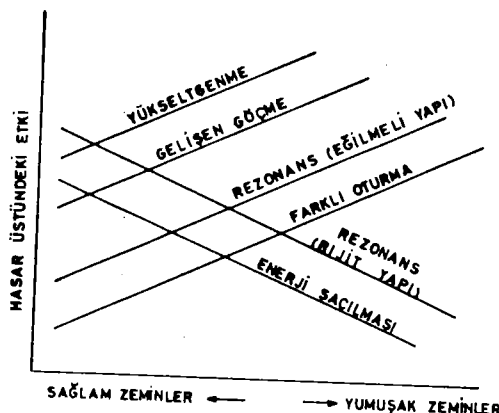
Zemin koşullarına ilişik olarak bu etmenlerden bazıları yararlı etkiler yönünde çalışırken diğerleri zararlı olmakta ve bileşik etkimeyi oldukça karmaşık şekilde getirmektedir. Şekil 5.11 de her etmenin eğilimi şematik olarak sağlam zemin için belirtilmiş bulunmaktadır.

#### IV. Depreme Dayanıklı Tasarım

Çeşitli görüşler yönünden daha önceki paragraflarda tanımlandığı gibi yerel zemin koşulları yapılara olan deprem hasarı üzerinde önemli etkiler şampiyon. Buna karşın, pratik tasarımda bu etkilerin nasıl alınacağı sorunu halen yetersiz bilgi ile deneme safhasında olurken hiçbir belirli sonucu da getirememektedir. Bu bölümde, bundan dolayı yalnızca günümüzde, probleme ilişkin uygulamaların özétini önerme ve daha ileri araştırma gereksinimini belirtmek amaçlanacaktır.

##### 1- Zemin Koşullarına İlişkin Tasarım Kuralları

Bazı Ülkelerde, iyileştirilmiş (modified) sismik katsayı yöntemlerinde zemin koşullarının sismik katsayıyı saptamada hesaba katılması yönetmelik koşulu olmuştur. Tablo 6.1. de bunlar listelenmiş bulunmaktadır. (Yeterli bilgi noksantılığı ve dil güçlükleri nedeniyle tablonun içeriği bir parça doğru olmayabilir; düzeltme takdirle karşılanacaktır) Tabloda bazı Ülkelerde yalnızca zeminin sağlamlığı değil keza üst yapının tipi gözönüne alınmıştır. Bunda hem deprem hasarındaki deneyim hem de yapısal rıjitliğin etkilerinden bilgi sahibi olunması olasıdır. Tablo 6.1. de listelenmemiş 6 ülkede zemin koşullarına ilişkin terimler deprem tasarımını hesaplarında içermemiştir.



Şekil 5.11. Zeminlerin Sağlamlığı ile Deprem Hasarının Etkisi Arasındaki İlişki

ZEMİN CİNSİ	T <sub>0</sub> ZEMİN HAK. PER	T <sub>0</sub> ORTALAMA (sn)	DÜŞÜNCELER	
I	a 0,20	0,25	$S = \frac{1}{10,8 + T - T_0}$	
	b 0,25			
	c 0,30			
II	a 0,35	0,42	T = YAPININ PERİYODU	
	b 0,40			
	c 0,50			
III	a 0,55	0,60	S = SPEKTRAL KATSAYI	
	b 0,60			
	c 0,65			
IV	a 0,70	0,80		
	b 0,80			
	c 0,90			

Tablo 6.1a. Zemin Koşullarının Etkisinin Yer Aldığı Bugünkü (1975) Deprem Yönetmeliğinde Spektral Katsayı ve Zemin Periyodları (Çeviren Notu)

ÜLKЕ	ZEMİN KOŞULLARI VE DEPREM KATSAYILARI								SÜUNCELER
ARJANTIN	SERT 0,75 ORTA 1,00 YUMUSAK 1,25 ÇOK YUMUSAK 1,50								
KANADA	GENEL 1,0 YUMUSAK 1,5								
BILI			RİJIT YAPILAR TSR4	YARI RİJIT YAPILAR $0.5 \leq T \leq 0.75$					
FRANSА	KAYA		0,8	0,8					
	SERT		1,2	1,0					
	KUMLU VE DOLGU		1,2 (1,8)	1,5 (1,2)					
T=DOĞAL PERİYOT (s)		( ) GENEL RADYE							
YUNANİSTAN		IVİ KÖTÜ ÇOK KÖTÜ	1,0 1,5 2,0						
YALNIZCA ÖZEL BÖLGELER İÇİN									
HINDİSTAN	DÖLGE	0	I	II	III	IV	V	VI	
	SERT	0	0	0,2	0,4	0,5	0,5	0,8	
	ORTA	0	0,1	0,3	0,6	0,6	0,8	1,0	
YUMUSAK		0	0,2	0,4	0,6	0,8	1,0	1,2	
JAPONİA		FİYI	AMBAP	ÇELİK	BETONARMED				
MEKSİKA		KAYA	0,6	0,6	0,6				
ROMANYA		DİLÜYİYÖMLÜ	0,6	0,6	0,6				
TURKIYE*		ALUVİYÖMLÜ	1,0	1,0	1,0				
YUGOSLAVİA		ÇOK YUMUSAK	1,5	1,0	1,0				
TURKİZE			A TİPİ	B TİPİ					
MEKSİKA		GENEL	1,0	1,8					
ROMANYA		TUMUŞAK	1,5	3,0					
TURKİZE*		SAŞLAN	1,00						
YUGOSLAVİA		ORTA	1,15						
TURKİZE*		YUMUSAK	1,50						
TURKİZE*		DİĞER	2,0	1,5					
BATI ALMANYA		BOLGE	I	II					
YUGOSLAVİA		KAYA	1,0	0,8					
YUGOSLAVİA		YUMUSAK	1,5	1,0					
YUGOSLAVİA		DIĞER	2,0	1,5					
YALNIZCA ÖZEL BÖLGELER İÇİN									

Tablo 6.1b. Çeşitli Ülkelerdeki Deprem Yönetmelikleri ve Zeminle İlgili Koşullar

## 2- Tasarım Pratikleri için Bazı Öneriler

Üzel bir yapı için depreme dayanıklı tasarım hesabında zemin koşullarının etkisini alırken önceden bazı yöntemler önerilmiş ve kullanılmış olup bunlar aşağıda şekilde özetleneceklereidir.

### a- Alt Tabaka Reaksiyon Katsayısı:

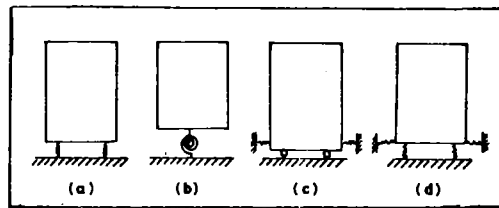
Çok iyi bilinen bir durum, zemin basıncı  $p$  ile  $w$  çökmesi arasında bir orantı varsayıılır,

$$p = kw$$

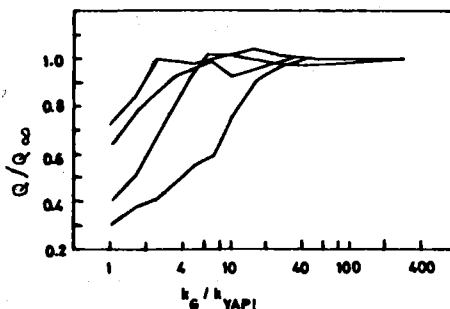
yazılırsa k sabiti yatak katsayısı olarak ele alınır (Terzaghi, 1955) ki, bunlar yapı altındaki fiktif yayların yay sabitlerine karşı gelir. Şekil 6.1(a) da gösterildiği şekilde deprem sırasında zeminin mesnetlenme özelliğini temsil ederler. Bunlar Şekil 6.1(b), (c), (d) de gösterildiği gibi sırasıyla dönme (rocking), ötelenme (swaying), dönme-ötelenmeye karşı gelecek şekilde diğer yatak katsayıları da içerir.

Yatak katsayılarının kullanımı, depreme dayanıklı tasarımda zemin koşullarının etkisinin analitik ugrasımlına oylanak verir; hiç kuşkusuz bu, katsayıların zeminin gerçek davranışına karşılık olarak uygun şekilde tahmin edilebilmesi koşuluyla geçerlidir.

Yataklanma katsayısının kullanılmasına bir örnek olarak, yapıya gelen deprem dalgasının, zemin rijitliğinin yapının kine olan oraniyla nasıl değiştiğini gösteren inceleme sonuçları Şekil 6.2. de verilmiştir (Meritt ve Hausner 1954). Incelemede yay tipi (veya yataklarının şekli) Şekil 6.1(b) de varsayılmıştır ve  $Q/Q_{\infty}$ , Şekil 6.2. de maksimum taban kesme kuvvetinin çok rijit zemine oranını göstermektedir. Şekil 6.2. den görüleceği üzere yumuşak zemin için dönme hareketinden dolayı deprem dalgası küçüktür.



6.1. Bina Yapım Kuralları Olarak Zemin Koşulları ve Deprem Tasarım Katsayıları



Şekil 6.2. Taban Kesme Kuvveti Katsayı ile Zeminin Yapıya Göre Rijitlik Oranı İlişkisi

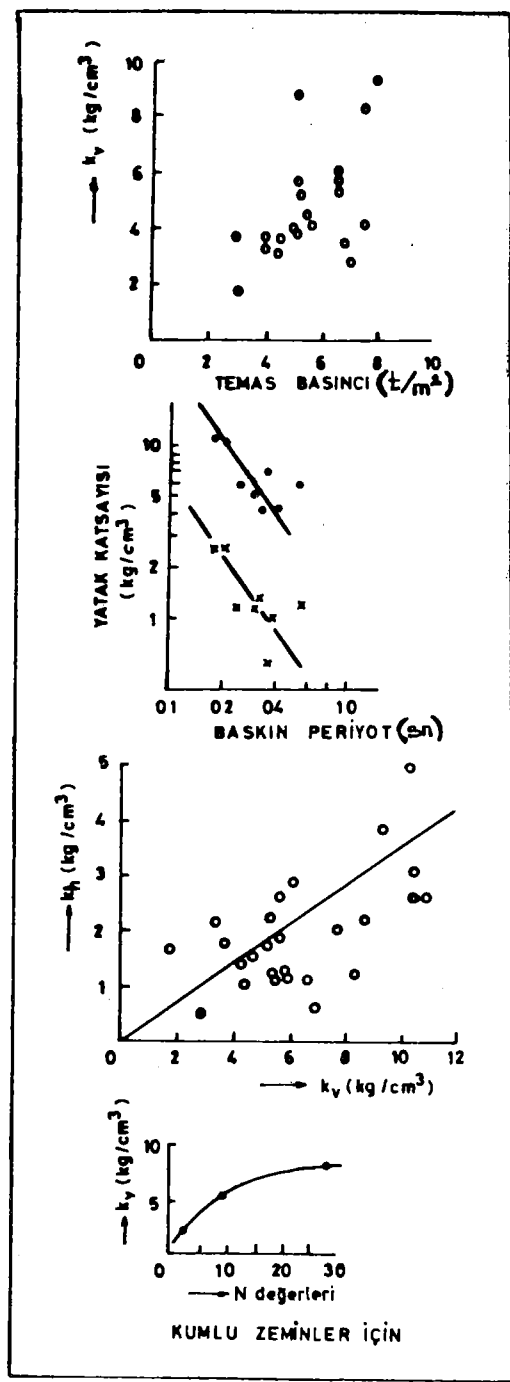
Titreşen yapıdan alttaki zemine enerjinin saçılmasına dair Böl. 5 de tartışmalar zaten yapılmıştı. Enerji yayılımının etkisi ya yaylara birer söndürücü (dashpot) eklenerek ya da yapıdaki viskoz sönümü arttırarak Şekil 6.1. deki modellerde incelenmiştir. Keza gerektiğinde, bir geçici kütleyi yaya ekleyerek, titreşen yapının hareketine onunla birlikte bulunan zeminin etkisini katma olanağı da vardır.

Titreşim "Yatak katsayısı"ının değeri gerçek veya model yapıların titreşim sırasındaki testleri aracılığıyla saptanabilir (Hisada v.d. 1953, Nakagawa, 1961). Şekil 6.3, de  $k_y$  düşey katsayı ve  $k_h$  yatay katsayı için test sonuçlarının bazıları özetlenmiştir. Keza yatak katsayısını zemini, elastik ve yarı-onsuz ortamlar varsayıarak analitik olarak hesaplamaya çalışılmış bulunmaktadır. (Sung, 1953; Tajimi, 1959; Kobori, 1962)

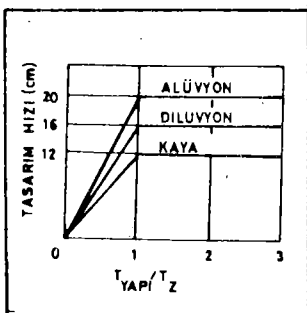
#### b) Tasarım Spektrumu ve Benzetilmiş Deprem Dalgası:

Davranış spektrumunun önemi ve yararı zaten daha önce belirtilmiş bulunmaktadır. Son yıllarda dünya çapında eğilim, sismik kuvvetin, hesabında tasarım katsayılarından uzaklaşarak davranış spektrumu kavramına doğru depreme dayanıklı tasarım yönteminin yönelmesidir. Diğer taraftan davranış spektrumunun özelliklerinin, önemli bir dereceye kadar zemin koşulları tarafından etkilendiği belirtilmiş bulunmaktadır.

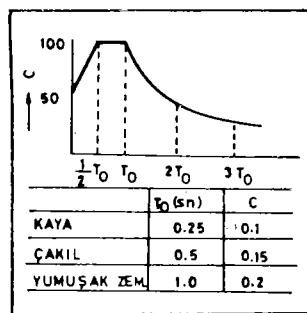
Bundan dolayı eğer tasarım spektrumu çeşitli zemin koşulları için geliştirilebilseydi, binaların depreme dayanıklı tasarımını için bu ideal bir ölçüt, en azından tasarım yönteminde yeni bir dönem olurdu. Bu belirli gidisin yanısıra son zamanlarda öneriler iletmiş bulunmaktadır. Şekil 6.4, de tasarım hızları, zemin tiplerine ve yapının doğal periyodunun  $T_s$ , zemin hakim periyoduna  $T_G$  oranına göre belirlenmiş bulunmaktadır. (Otsuki ve Kanai, 1961) Tasarım iymesi eğer hız Denk. 4.10. daki  $2\pi/T_s$  ile çarpılırsa kolaylıkla saptanabilir. Şekil 6.5.



Şekil 6.3. Yatak Katsayılarının Ölçülmüş Değerleri



Şekil 6.4. Tasarım Hızı



Şekil 6.5. Tasarımda Taban Kesme Kuvveti Katsayıısı

Hem zemin tipleri ile hem de periyot ekseniyle uyuşacak şekilde taban kesme kuvveti katsayıısını veren eğri, çelik yapıların tasarımında önerilmiştir. (Muto 1963)

Bir diğer, belki de daha mantıklı dinamik tasarım yöntemi, Şekil 4.1. de gösterilen cinstekinden daha gerçekçi ve daha dikkatle hazırlanmış yapıları kullanarak ilgilenilen her yapı için davranışını saptamaktadır. Bu yöntemde, bununla birlikte giriş ivme izlerinin arasındaki zemin koşullarına uyumaması durumunda davranış incelemesinin sonuçları çok daha yanlış yöne götürecek cinste olacaktır. Ne yazık ki bugüne kadar kaydedilmiş ivme izlerinin sayısı, yapı tasarımcısının her istediginde emrine hazır, kullanmaya yeteceğin kadar değildir.

Bunun ötesinde en az iki yada üç ivme izi bir yapının tasarımında her ivme izinde bulunan yüzeysel dalgaların etkisinden kaçınmak üzere kullanılmalıdır.

Bütün bu koşullar altında ilgilenilen bölgedeki depremselliğe olduğu kadar zemin koşullarına da uyan sayısal hesaplayıcılar yardımıyla yapay deprem dalgalarını geliştirmek en ümit verici çalışma olacaktır.

Bazı öneriler bu çizgiden olarak sunulmuş bulunmaktadır, (Hausner ve Jennings, 1964; Goto v.d. 1968) Bununla birlikte zemin koşullarının etkisini gözönüne alınması henüz gerekli doyuruculukta değildir.

### c) Zemin - Temel - Yapı Sistemi

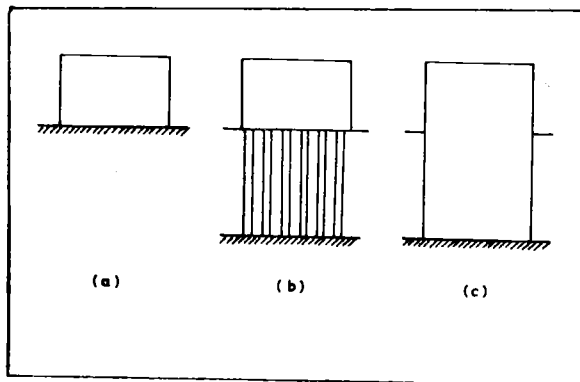
Bölüm IV de deprem hasarını etkileyen etmenlerle, zemin yapı etkileşim problemi olarak bilinen şekliyle daha kapsamlı uğraşılabilir. Yatak katsayıısı kavramı bu sorunu belli bir dereceye kadar Şekil 6.6.(a) da gösterilen sig temeller için çözme olanağı verir. Keza Şekil 6.6.(b) de gösterilen kazıklı temeller için kazıklı temelin dinamik davranışını uygun şekilde temsil edecek biçimde yapı tabanına gerçek-

dışı (ımaginary) yayları kazıkların yerine yerleştirmek suretiyle üst yapının davranışını etkin şekilde incelemeye yatak katsayısı kayramını uygulamak olanaklıdır, (Hayashi v.d. 1966)

Bununla birlikte, bu yöntemin deprem sırasında çoğu kere depreme dayanıklı tasarımlı yapılacak olan kazıklardaki gerilmeleri saptamada geçersiz olacağının açıkltır.

Bunun ötesinde Şekil 6.6(c) de gösterildiği gibi çok derin bodrumlu bir yapı durumunda zemin ve yapının etkileşimi yalnızca temel tabanda olmayıp, bodrum duvarlarının üzerine de olduğundan taban katsayısı kavramıyla uğraşmak oldukça karmaşık bir durum olur.

Böylesine karmaşık ve önemli problemleri çözebilmek için zemin-temel-yapı sistemi kullanılması ve incelenmesinin gerekligi ayrılmalıdır. Yazarın görüşü bu kapsamlı sistem aracılığı ile yapılacak çözümün kabul edilen gerçege en uygun (ortodoks) ve en üst düzeyde olacağı şeklinde dir. Bununla birlikte yaklaşım usullerinin, zemin cinsindeki farklılıklara göre tekil kütleli (Parmelee v.d., 1964) çok tabakalı (Kanai, 1964) ve sonlu elemanlı (Muto, 1966) gibi türlü türlü olabileceği kabul edilmelidir.



Şekil 6.6. Temel Tipleri

## VII- SONUÇ

Yerel zemin koşullarının deprem hasarı üzerinde etkilerine ait bu bilim-durumu (state-of-the art) makalesinde, deneyimler, konuya ilişkin kuramlar, kuramsal bakış açısından deneyimin yorumlanması ve bazı tasarım önerileri özetlemiştir bulunmaktadır.

Bu makalenin Zemin Mekaniği Temel İnşaatı Mühendisliği Uluslararası Konferansında sunulmuş olması gerektiğini düşünerek, bu makalede zemin mühendislerinin altışık olduğu etkin gerilme, boşluk suyu basıncı ve hacim artışı y.b. terimlerin eksik olusunu farketmek bir dereceye kadar sıkıcı olmaktadır. Yazının görüşü, bu gerçek zemin mekanığı ve temel mühendisliği açısından deprem problemlerinin çözümündeki amaca işbirliğinin yokluğunu ifade etmektedir. Mühendisliğin bu alanından gelecek yaklaşımın gerekliliği asla aşırı şekilde büyütülmemelidir.

## KAYNAKLAR

- Alford, J.L., Housner, G.W., and Martel, R.R (1951). "Spectrum Analyses of Strong-Motion Earthquakes," Earthquake Engineering Research Laboratory, California Institute of Technology, August.
- Duke, C.M. (1958). "Effects of Ground on Destructiveness of Large Earthquakes," Journal of the Soil Mechanics and Foundations Division, ASCE, Vol. 84, August.
- Goto, H., Toki, K. and Akiyoshi, T. (1966). "Generation of Artificial Earthquakes on Digital Computer for Aseismic Design of Structures," Proceedings. Japan National Symposium on Earthquake Engineering (japonca).
- Hardin, B.O. and Richart, F.E., Jr. (1963). "Elastic Wave Velocities in Granular Soils, Journal of the Soil Mechanics and Foundations Division, ASCE, Vol. 89, February.
- Hayashi, S., Yamashita, I., and Ogura, K. (1966). "Dynamic Response of Steel Piles to Lateral Excitation," Proceedings, Japan National Symposium on Earthquake Engineering.
- Hisada, T., Nakagawa, K., and Izumi, M. (1965). "Normalized Acceleration Spectra for Earthquakes Recorded by Strong Motions Accelerographs and their Characteristics Related with Subsoil Conditions," BRI Occasional Report No. 23, Building Research Institute, Ministry of Construction, Tokyo, Japan.
- Hisada, T., Nakagawa, K., and Kimura, E. (1953). "Studies of Dynamic Characteristics of the Ground," Transactions, Architectural Institute of Japan, Vol. 22 (japonca)
- Housner, G.W. (1954). "Geotechnical Problems of Destructive Earthquake," Geotechnique, December.
- Housner, G.W. and Jennings, P. C. (1962). "Generation of Artificial Earthquakes," Journal of the Engineering Mechanics Division, ASCE, February.
- Idriss, I.M. and Seed, H. B. (1967). "Response of Earth Banks during Earthquakes," Journal of the Soil Mechanics and Foundations Division, ASCE, May.
- Kanai, K. (1947). "On the Damages to Buildings due to Earthquakes," Bulletin of the Earthquake Research Institute, Tokyo University, Vol. 25.
- Kanai, K. (1949). "Relation between the Earthquake Damage of Non-Wooden Buildings and the Nature of the Ground," Bulletin of the Earthquake Research Institute, Tokyo University, Vol. 27, November.
- Kanai, K. and Yoshizawa, S. (1951). "Relation between the Earthquake Damage of Non-Wooden Buildings and the Nature of the Ground, II," Bulletin of the Earthquake Research Institute, Tokyo University, Vol. 29.

- Kanai, K. (1964). "Some New Problems of Seismic Vibrations of a Structure, Part 3, Application to Design," Bulletin of the Earthquake Research Institute, Tokyo University, Vol. 42.
- Kanai, K. (1968). "Earthquake Motion and Ground Vibration," Earthquake Engineering, Shokokusha Publishing Co., November (japonca).
- Kawasumi, H. (1951). "Measures of Earthquake Danger and Expectancy of Maximum Intensity Throughout Japan as Inferred from the Seismic Activity in Historical Times," Bulletin of the Earthquake Research Institute, Tokyo University, Vol. 26, Part 3.
- Kawasumi, H. (1952). "Distribution of Earthquake Damage and Subsoils in Cities of Tokyo and Osaka," Natural Resources Association (japonca).
- Kishida, H., Koyama, K., Sakamoto, I., Ueno, C., Yashiro, T., Hara, A., and Tanaka, S. (1967). "On Soil Conditions and Earthquake Damage to Godowns in Matsushiro Town," 38th Research Meeting, Kanto Branch, Architectural Institute of Japan (japonca).
- Kitazawa, G. (1950). "On the Ground of Tokyo," Transactions, Architectural Institute of Japan, No. 40, February (Japonca).
- Kitazawa, G. (1950). "Distribution of Seismic Intensity in Downtown Tokyo," Journal of Seismic Society of Japan, Vol. 3, No. 1 (japonca)
- Kobori, T. (1962). "Dynamical Response of Rectangular Foundations on an Elastic Space," Proceedings, Japan National Symposium on Earthquake Engineering.
- Merritt, R. G. and Housner, G. W. (1954). "Effect of Foundation Compliance on Earthquake Stresses in Multistory Buildings," Bulletin of the Seismological Society of America, Vol. 44, No. 4. October,
- Minakami, T. (1945). "Distribution of Damage by Tonankai Earthquake," Interim Report on Nankaido Earthquake, Central Meteorological Observatory, May (japonca).
- Miyamura, S. (1945). "Report of Earthquake Damage in Tokai District on December 7, 1944," Interim Report of the Earthquake Research Institute, Tokyo Imperial University, No. 4, January (japonca)
- Miyamura, S. (1946). "Problems on Earthquake Damage and Ground Conditions," Science, Vol. 16, No. 6, Iwanami Publishing Co., October (japonca).
- Muto, K. (1963). "An Opinion Concerning Earthquake Resistant Design Regulations for High-Rise Buildings," December (japonca).

- Muto Institute (1966). "Effects of the Ground on Vibration of Buildings - An Approach to Seismic Response Analyses," September (japonica).
- Nakagawa, K. (1961). "Coefficients of Subgrade Reaction Determine by Vibration Tests of Buildings and Model Footings," Transactions, Architectural Institute of Japan, No. 67, October (Japanese).
- Ohsaki, Y. (1951). "Ground Conditions and Damage Rates of Wooden Buildings," Report of Earthquake Damage by Fukui Earthquake (japonica).
- Ohsaki, Y. (1962). "Earthquake Damage of Wooden Buildings and Depth of Alluvial Deposits," Transactions, Architectural Institute of Japan, No. 72, May.
- Ohsaki, Y. and Kuniyasu, K. (1968). "Earthquake Damage to Reinforced Concrete Buildings and Subsoil Conditions," Transactions, Architectural Institute of Japan, No. 148, June (japonica)
- Ohsaki, Y. (1968). "Report of Earthquake Damage by Ebino Earthquake," Building Research Institute, April (japonica).
- Omote, S. (1946). "Comparison of the Vulnerability Rates of the Ground Revealed in Tonankai and Mikawa Earthquakes," Bulletin of the Earthquake Research Institute Tokyo University, No. 19-7, March (japonica)
- Omote, S. (1949). "The Relation between the Earthquake Damges and the Structure of Ground in Yokohama," Bulletin of the Earthquake Research Institute, Tokyo University, XXVII, November.
- Omote, S. and Miyamura, S. (1951). "Relations between the Earthquake Damage and the Structure of Ground in Nagoya City," Bulletin of the Earthquake Research Institute, Tokyo University, XXIX.
- Otsuki, Y. and Kanai, K. (1961). "Earthquake Resistant Design, Building Structures Series," Vol. 12, Corona Publishing Co., March (japonica).
- Parmelee, R. A., Penzien, J., Scheffey, C. F., Seed, H. B., and Thiers, G. R. (1964). "Seismic Effects on Structures Supported on Piles Extending Through Deep Sensitive Clays," SESM 64-2, Institute of Engineering Research, University of California, August,
- Saita, T. (1935). "Earthquake and Wind Resistant Buildings, Disaster Prevention Science," Twanami Publishing Co., Vol. 2, April (japonica)
- Saita, T. and Suzuki, M. (1934). "On the Upper Surface and Underground Seismic Disturbances in Downtown Tokyo," Bulletin of the Earthquake Research Institute, Tokyo University, Vol. 12, No. 3, September.

- Shimizu, R. and Suehiro, S. (1947). "Report of Survey in Nakamura Town," Interim Report on Nankaido Earthquake, Central Meteorological Observatory, May (japonica)
- Sung, T. Y. (1953). "Vibration in Semi-Infinite Solids due to Periodic Surface Loading," Symposium on Dynamic Testing of Soils, ASTM Special Technical Publication, No. 156, July.
- Suzuki, M. (1961). "Study on Earthquake Resistant Characteristics of Wooden Structures," February (japonica)
- Tota, F., Oba, S., and Otani, S. (1951). "The Relation between the Percentage of Houses Destroyed by the Tokai Earthquake in Each Village Section and the Small Configuration of the Ground," Miscellaneous Reports of the Research Institute for Natural Resources, Nos. 19-21 (Japonica)
- Tajimi, H. (1959). "Basic Theories on Aseismic Design of Structures," Report of the Institute of Industrial Science, Tokyo University, Vol. 8, No. 4, March (Japonica)
- Tajimi, H. (1965). "Theories of Vibration of Buildings," Building Structures Series, Vol. 17, Corona Publishing Co., May (Japonica)
- Tajimi, H. (1968). "Interaction of Building and Ground," Earthquake Engineering, Shokokusha Publishing Co., November (Japonica).
- Takahashi, R. (1951). "General Report of Fukui Earthquake," Report of Earthquake Damage by Fukui Earthquake (Japonica)
- Takayama, K. and Ohsaki, Y. (1955). "A Few Problems Relating to Design Computations and Safety of Building Structures," Transactions, Architectural Institute of Japan, No. 31, May (japonica)
- Tanabashi, R. and Ishizaki, H. (1953). "Earthquake Damages and Elastic Properties of the Ground," Bulletin of Disaster Prevention Research Institute, Kyoto University, No. 4, May
- Thornley, J. H. and Albin, Pedro, Jr. (1957). "Earthquake Resistant Construction in Mexico City," Civil Engineering, November.
- Terzaghi, K. (1955). "Evaluation of Coefficients of Subgrade Reaction," Geotechnique, Vol. 5, No. 4, December.
- Toriumi, I. (1966). "Vibration Character of the Ground near the Foundation," Proceedings, Japan National Symposium on Earthquake Engineering, October (japonica).
- Yokoo, Y., Kuwabara, T., and Horiuchi, T. (1965). "Studies of Soil Conditions and Earthquake Damage in Nagoya, Part 2," Proceedings, Architectural Institute of Japan, September (japonica).

DEPREM ARAŞTIRMA BÜLTENİ  
YAYIN KOŞULLARI

1. Bültene gönderilecek telif ve tercüme yazılarının :

- a) Depremle doğrudan doğruya, ya da dolaylı yoldan ilgili olması,
- b) Bilimsel ve teknik bir değer taşıması,
- c) Yurt içinde daha önce başka bir yerde yayınlanmamış olması,
- d) Daktilo ile ve kağıdın yalnız bir yüzüne en az iki nüsha olarak yazılmış bulunması,
- e) Şekillerin aydinger kağıdına çini mürekkebi ile çizilmiş olması,
- f) Fotoğrafların net ve klişe alınmasına müsait bulunması gerekmektedir.

2. Telif araştırma yazılarının baş tarafına araştırmancın genel çerçevesini belirten en az 200 kelimelik İngilizce, Fransızca ya da Almanca bir özet konulmalıdır.

3. Bayındırılık ve İskan Bakanlığı mensubu elemanlar tarafından hazırlanan ve telif ya da tercüme ücreti ödenerek yayınlanacak olan yazıların, mesai saatleri dışında hazırlanmış olduğu yazar derleyen, ya da çevirenin bağlı bulunduğu birim amiri tarafından (genel müdürlüklerde daire başkanı, müstakil birimlerde birim amiri) verilecek bir belge ile belgelendirilmesi zorunludur. Bu belge ile birlikte verilmeyen yazılar için ücret ödenmez.

4. Telif ve tercüme ücretleri ancak yazı bültende yayınlandıktan sonra tahakkuka bağlanır.

5. Bültende yayımlanacak yazılarla, "Kamu Kurum ve Kuruluşlarında Ödenen Telif ve İşlenme Ücretleri Hakkında Yönetmelik", esaslarına göre ücret ödenir.

6. Yazılarda bulunan şekiller için, gerekli olan asgari alan içinde bulunabilecek kelime sayısına göre ücret taktir edilir.

7. Yazıların bültende yayınlanması Genel Müdürlüğüümüz bünyesinde teşekkür eden Uzmanlar Kurulu'nun kararı ile olur.

8. Seçmeyi yapacak Uzmanlar Kurulu 5. maddede sözü edilen asgari alanları hesaplamaya, yazı sahiplerine gereksiz uzatmaların kısısaltılmasını teklif etmeye, verilecek ücrette esas teşkil edecek kelime sayısını tesbit etmeye ve yazıların yayın sırasını tayıne yetkilidir.

9. Kurulca incelenen yazıların bültende yayınlanıp yayınlanmayacağı yazı sahiplerine yazı ile duyurulur.

10. Yayınlanmayacak yazılar bu duyuru sonrası en geç bir ay içinde sahipleri tarafından geri alınabilir. Bu süre içinde alınmayan yazıların korunmasından Genel Müdürlüğümüz sorumlu değildir.
11. Yayımlanan yazılardaki fikir, görüş ve öneriler tamamen yazarlarına ait olup, Teknik Araştırma ve Uygulama Genel Müdürlüğü'ni bağlamaz ve Genel Müdürlüğümüz resmi görüşünü yansıtmaz.
12. Diğer kuruluşlar ve Bakanlık mensupları tarafından bilgi, haber tanıtma vb. gibi nedenlerle gönderilecek not ve açıklamalar, ya da bu nitelikteki yazılar için ücret ödenmez.
13. Genel Müdürlüğümüz mensupları Genel Müdürlükçe kendilerine verilen görevlere ait çalışmalarдан ötürü herhangi bir telif ya da tercüme ücreti talep edemezler.